

ISSN 0002-3078

АЗӘРБАЙЧАН ССР ЕЛМЛӘРАКАДЕМИЯСЫ

АКАДЕМИЯ НАУК АЗЕРБАЙДЖАНСКОЙ ССР

МӘРУЗӘЛӘР ДОКЛАДЫ

том XXXVII чијлд

1981 • 7

ДАН Азерб. ССР публикует краткие сообщения об оригинальных, нигде не печатанных ранее, результатах научных исследований, представленные академиками АН Азерб. ССР, которые тем самым берут на себя ответственность за научные достоинства представляющейся статьи.

В «Докладах» не публикуются крупные статьи, механически разделенные на ряд отдельных сообщений, статьи полемического характера, без новых фактических сообщений, статьи полемического характера, без новых фактических данных, статьи с описанием промежуточных опытов, без определенных выводов и обобщений, чисто методические статьи, если предлагаемый метод не является принципиально новым, а также статьи по систематике растений и животных (за исключением описания особо интересных для науки находок).

Будучи органом срочной информации, журнал «ДАН Азерб. ССР» принимает и отбирает к печати статьи, объем которых допускает их публикацию в установленные решением Президиума АН Азерб. ССР сроки.

В связи со всеми перечисленными ограничениями отклонение статьи редакцией «Доклады АН Азерб. ССР» означает только, что она не согласуется с требованиями и возможностями этого журнала и не исключает ее публикации в других изданиях.

ПРАВИЛА ДЛЯ АВТОРОВ

Редакция журнала «Доклады АН Азерб. ССР» просит авторов руководствуясь приведенными правилами и надеется, что авторы ознакомятся с ними прежде, чем пришлют статью в редакцию.

Статьи, присланные без соблюдения этих правил, к рассмотрению не принимаются.

1. Статьи, направляемые в редакцию, должны иметь представление члена АН СССР или академика АН Азерб. ССР, если оно требуется (см. выше).

Статьи с просьбой направить их на представление редакцией не принимаются.

2. Статья публикуется по мере поступления. Единственным поводом для внеочередной публикации является исключительная важность сообщения и соображения приоритета. Для этого необходимо специальное решение редколлегии.

3. Как правило, редакция направляет представленные статьи на рецензию.

4. «Доклады» помещают не более трех статей одного автора в год. Это правило не распространяется на членов АН СССР, академиков Академии наук Азерб. ССР.

5. Авторы должны определить раздел, в который следует поместить статью, а также дать индекс статьи по Универсальной десятичной классификации (УДК). К статье прилагается отпечатанный на машинке реферат в двух экземплярах, предназначенный для передачи в один из реферативных журналов ВИНИТИ.

6. В конце статьи нужно указать полное название учреждения, в котором выполнено исследование, фамилии всех авторов, а также полный почтовый адрес и номер телефона (служебный и домашний) каждого соавтора.

Кроме того, авторский коллектив должен указать лицо, с которым редакция будет вести переговоры и переписку.

7. Возвращение рукописи автору на доработку не означает, что статья принята к печати. После получения доработанного текста рукопись вновь рассматривается редколлегией. Доработанный текст автор должен вернуть вместе с первоначальным экземпляром статьи, а также ответом на все замечания. Датой поступления считается день получения редакцией окончательного варианта статьи.

8. В «Докладах» публикуются статьи, занимающие не более $\frac{1}{4}$ авторского листа (6 страниц машинописи). В этот объем входят текст, таблицы, библиография (не больше 15 источников) и рисунки, число которых не должно превышать четырех, включая и обозначения «а», «б» и т. д. в том числе вклейки на мелованной бумаге. Вклейки даются только для микрофотографий большого увеличения. Штриховые рисунки (карты, схемы и т. п.) на вклейках не печатаются, а даются на кальке. Текст и графический материал представляются в двух экземплярах. Повторение одних и тех же данных в тексте, таблицах и графиках недопустимо. Рисунки должны быть выполнены четко, в формате, обеспечивающем ясность передачи всех деталей. Фотографии представляются на глянцевой бумаге. Подписи к рисункам должны быть напечатаны в 2-х экземплярах через два интервала на отдельной странице. На обороте рисунков мягким карандашом указываются фамилии авторов, название статьи и номер рисунка.

АЗЭРБАЙЧАН ССР ЕЛМЛЭР АКАДЕМИЈАСЫ
АКАДЕМИЯ НАУК АЗЕРБАЙДЖАНСКОЙ ССР

МЭРҮЗЭЛЭР ДОКЛАДЫ

ТОМ ХХ

«ЕЛМ» №

УДК 517.9

МАТЕМАТИКА

Акад. АН Азерб. ССР Ф. Г. МАКСУДОВ, М. БАЙРАМОГЛЫ

ФУНКЦИЯ ГРИНА ОПЕРАТОРНОГО УРАВНЕНИЯ ШРЕДИНГЕРА

Пусть H —сепарабельное гильбертово пространство. Обозначим через $L_2(E_3, H)$ гильбертово пространство сильно измеримых функций $f(x)$ со значениями из H таких, что

$$\int_{E_3} \|f(x)\|^2 dx < \infty,$$

где E_3 —трехмерное евклидово пространство. Скалярное произведение элементов $f(x)$ и $g(x)$ из $L_2(E_3, H)$ определяется формулой

$$(f, g) = \int_{E_3} (f(x), g(x)) dx$$

Пусть операторнозначная функция $q(x)$ удовлетворяет следующим условиям:

- 1) $D(q(x)) = D$ и D всюду плотно в H , $q(x) = q^*(x) \geq E$ при каждом x из E_3 , E —единичный оператор в H .
- 2) $q(x)$ сильно непрерывна на множестве D
- 3) При $|x - \xi| \leq 1$

$$\|[q(x) - q(\xi)] q^{-\alpha}(\xi)\| \leq C, \quad 0 < \alpha < 1, \quad C = \text{const}$$

$$\|[q(x) - q(\xi)] \exp(-q(\xi)t)\| \leq Ct^{-\alpha} \exp\left(C' \frac{|x - \xi|^2}{t}\right),$$

$$0 < C' < \frac{1}{4}, \quad t > 0.$$

Обозначим через L' оператор в $L_2(E_3, H)$, порожденный дифференциальным выражением

$$-\Delta + q(x)$$

на гладких финитных функциях со значениями в D . Учитывая условия 1), 2), легко видеть, что L' определен на всюду плотном множестве из $L_2(E_3, H)$, является симметрическим и полуограниченным снизу оператором. Поэтому L' допускает замыкание. Предположим также, что замыкание L оператора L' является самосопряженным. В этой заметке мы показываем, что резольвента оператора L является интегральным оператором с ядром типа Карлемана. Заметим, что функция Грина операторного уравнения Шредингера, когда $E_3 = (-\infty, \infty)$ при иных предположениях на $q(x)$ изучена в работе Б. М. Левитана [1]. Последнему случаю также посвящены работы [2—4].

РЕДАКЦИОННАЯ КОЛЛЕГИЯ:

Г. Б. Абдуллаев (главный редактор), М. Т. Абасов,
Ал. А. Ализаде (зам. главного редактора), В. С. Алиев, Г. А. Алиев,
Дж. А. Алиев, И. Г. Алиев, Дж. Б. Гулиев, Н. А. Гулиев,
М. З. Джафаров, Ф. Г. Максудов, А. А. Надиров,
Ю. М. Сейдов (зам. главного редактора), М. А. Топчибашев,
М. А. Усейнов, Г. Г. Зейналов (ответств. секретарь).

© Издательство „Элм”, 1981 г.

§ 1. Функция Грина параболического уравнения, соответствующего оператору L .

Сперва изучим функцию Грина задачи

$$\begin{cases} \frac{\partial u}{\partial t} = \Delta u - q(x)u \\ u(0, x) = \psi(x) \end{cases} \quad (1)$$

Обозначим через $G(t, x, \xi)$ функцию Грина задачи (1). Существование и свойства этой функции будем устанавливать в этом параграфе. Функцию $G(t, x, \xi)$ ищем по методу Э. Леви в виде

$$G(t, x, \xi) = G_0(t, x - \xi, \xi) + \int_0^t d\tau \int_{E_3} G_0(t - \tau, x - y, y) \varphi(\tau, y, \xi) dy, \quad (2)$$

где

$$G(t, x - \xi, \xi) = \frac{1}{8(V\pi t)^3} \exp\left(-tq(\xi) - \frac{|x - \xi|^2}{4t}\right), \quad (2')$$

$\varphi(t, x, \xi)$ подлежащая определению операторно-значная функция в H . Требуем, чтобы $G(t, x, \xi)$ удовлетворяла уравнению

$$\frac{\partial G}{\partial t} = \Delta G - q(x)G \quad (3)$$

Тогда, производя дифференцирование в (2), получаем (формально) интегральное уравнение для функции $\varphi(t, x, \xi)$:

$$\varphi(t, x, \xi) = K(t, x, \xi) + \int_0^t d\tau \int_{E_3} K(t - \tau, x, y) \varphi(\tau, y, \xi) dy \quad (4)$$

Здесь

$$K(t, x, \xi) = (q(x) - q(\xi))(2V\pi t)^{-3} \exp\left(-\frac{|x - \xi|^2}{4t} - q(\xi)t\right).$$

Уравнение (4) будем решать методом итераций. Заметим, что в дальнейшем иногда одними и теми же буквами мы будем обозначать различные постоянные. Сперва оценим ядро $K(t, x, \xi)$.

Пусть $|x - \xi| \ll 1$. Тогда, используя условие 3) имеем:

$$\|[q(x) - q(\xi)]e^{-tq(\xi)}\| = \frac{1}{t^\alpha} \|[q(x) - q(\xi)]q^{-\alpha}(\xi)t^\alpha q^\alpha(\xi)e^{-tq(\xi)}\| \leq \frac{C}{t^\alpha}$$

Отсюда, учитывая условие (4) для любых $t > 0$, x, ξ , можно писать:

$$\|K(t, x, \xi)\| \leq Ct^{-\alpha-\frac{3}{2}} \exp\left(-C' \frac{|x - \xi|^2}{t}\right), \quad C' < \frac{1}{4} \quad (5)$$

Примем, $\varphi_1(t, x, \xi) = K(t, x, \xi)$ — первое приближение для уравнения (4). Тогда

$$\varphi_2(t, x, \xi) = \varphi_1(t, x, \xi) + \int_0^t d\tau \int_{E_3} K(t - \tau, x, y) \varphi_1(\tau, y, \xi) dy$$

Отсюда (см. также [5]).

$$\|\varphi_2 - \varphi_1\| \leq C^2 \int_0^t d\tau \int_{E_3} \frac{1}{(t - \tau)^{\frac{3}{2}+\alpha}} \cdot \frac{1}{\tau^{\frac{3}{2}+\alpha}} e^{-C' \frac{|x-y|^2}{t-\tau}} e^{-C' \frac{|y-\xi|^2}{\tau}} dy =$$

$$\begin{aligned} &= C^2 \int_0^t \frac{d\tau}{(t - \tau)^\alpha \tau^\alpha} \int_{E_3} \frac{e^{-C' \frac{|x-y|^2}{t-\tau}}}{(t - \tau)^{\frac{3}{2}}} \cdot \frac{e^{-C' \frac{|y-\xi|^2}{\tau}}}{\tau^{\frac{3}{2}}} dy = \\ &= C^2 B(1 - \alpha, 1 - \alpha) \left(\sqrt{\frac{\pi}{C'}} \right)^{3(1-\alpha)-5} t^{\frac{3(1-\alpha)-5}{2}} e^{-C' \frac{|x-\xi|^2}{t}} \end{aligned} \quad (5)$$

Аналогично оценивается $\|\varphi_3 - \varphi_2\|$, $\|\varphi_4 - \varphi_3\|$ и т. д. С помощью индукции можно показать, что

$$\|\varphi_n - \varphi_{n-1}\| \leq C^n \left(\frac{\pi}{C'} \right)^{\frac{3(n-1)}{2}} \frac{\Gamma(1 - \alpha)}{\Gamma(n(1 - \alpha))} t^{\frac{2n(1-\alpha)-5}{2}} e^{-C' \frac{|x-\xi|^2}{t}} \quad (5_{n-1})$$

Из оценок (5_{n-1}) следует, равномерная сходимость ряда

$$\sum_{n=1}^{\infty} (\varphi_{n+1} - \varphi_n) \quad (6)$$

при $t \geq \delta > 0$.

Сумма $\varphi(t, x, \xi)$ ряда (6) дает решение уравнения (4) и для $\|\varphi(t, x, \xi)\|$ справедлива оценка

$$\|\varphi(t, x, \xi)\| \leq Ct^{-\alpha-\frac{3}{2}} e^{-C' \frac{|x-\xi|^2}{t}}, \quad C' < \frac{1}{4} \quad (7)$$

Дословно, повторяя рассуждения из [5] (стр. 31—32), получаем

$$\begin{aligned} \|\varphi(t, x, \xi) - \varphi(t, x', \xi)\| &\leq C|x - x'|^\alpha t^{-\alpha-\frac{3}{2}} \times \\ &\times \max \left\{ \exp\left(-C' \frac{|x - \xi|^2}{t}, -C' \frac{|x' - \xi|^2}{t}\right) \right\} \end{aligned} \quad (8)$$

$$0 < \alpha_1 < \alpha, \quad \alpha_2 = \alpha - \alpha_1$$

Из оценок (7), (8) мы получаем законность дифференцирования в (2). Тем самым мы получаем, что $G(t, x, \xi)$ является решением уравнения (3). Из оценки (8), из представления (2) и из (4) получаем, что

$$\|G_x^{(j)}(t, x, \xi)\| \leq Ct^{-\frac{3}{2}-\frac{j}{2}} e^{-C' \frac{|x-\xi|^2}{t}}, \quad j = 0, 1, 2. \quad (9)$$

Из этой оценки и из (3) следует, что

$$u(t, x) = \int_{E_3} G(t, x, \xi) \psi(\xi) d\xi \quad (10)$$

является решением уравнения $\frac{\partial u}{\partial t} = \Delta u - q(x)u$ при любой функции $\psi(x) \in L_2(E_3, H)$. Теперь покажем, что так определенная функция $u(t, x)$ удовлетворяет условию $\lim_{t \rightarrow +0} u(t, x) = \psi(x)$ в смысле нормы пространства $L_2(E_3, H)$, т. е. $u(t, x)$ является решением задачи (1). Сперва покажем, что

$$\lim_{t \rightarrow +0} \int_{E_3} G(t, x, \xi) \psi(\xi) d\xi = \lim_{t \rightarrow +0} \int_{E_3} G_0(t, x - \xi, \xi) \psi(\xi) d\xi \quad (11)$$

Чтобы имело место (11), должно быть

$$\lim_{t \rightarrow +0} \int_{E_3} W(t, x, \xi) \psi(\xi) d\xi = 0$$

в смысле нормы $L_2(E_3, H)$. Здесь через $W(t, x, \xi)$ обозначено второе слагаемое в (2). Положим $-\alpha - \frac{3}{2} = -\frac{5-\delta}{2}$, поскольку $0 < \alpha < 1$, поэтому $0 < \delta < 1$.

Из выражения (2') и из оценки (7) имеем:

$$\begin{aligned} \|W(t, x, \xi)\| &\leq \int_0^t d\tau \int_{E_3} \|G_0(t-\tau, x-y, y)\| \|\varphi(\tau, y, \xi)\| dy \leq \\ &\leq C \int_0^t d\tau \int_{E_3} \frac{1}{(t-\tau)^{\frac{3}{2}}} \tau^{-\frac{5-\delta}{2}} e^{-C\frac{|x-y|^2}{t-\tau}} e^{-C\frac{|y-\xi|^2}{\tau}} dy \leq \\ &\leq Ct^{\frac{2-\delta}{2}} \int_0^t \frac{d\tau}{(t-\tau)^{\frac{2-\delta}{2}}} \int_{E_3} \frac{1}{\tau^{\frac{3}{2}}} \frac{1}{(t-\tau)^{\frac{3}{2}}} e^{-C\frac{|x-y|^2}{t-\tau}} e^{-C\frac{|y-\xi|^2}{\tau}} dy = \\ &= C_1 t^{\frac{2-\delta}{2}} e^{-C\frac{|x-\xi|^2}{t}}, \end{aligned}$$

здесь $C_1 = \text{const}$.

Таким образом,

$$\|W(t, x, \xi)\| \leq C_1 t^{\frac{2-\delta}{2}} e^{-C\frac{|x-\xi|^2}{t}} \quad (12)$$

Учитывая (12), имеем

$$\left\| \int_{E_3} W(t, x, \xi) \psi(\xi) d\xi \right\| \leq C_2 t^{\frac{\delta}{2}} e^{-i\lambda} \|\varphi(\xi)\| \quad (13)$$

здесь A — самосопряженный оператор, порожденный дифференциальным выражением $-\Delta$ в функциональном пространстве $L_2(E_3)$. Легко видеть, что $e^{-i\lambda} \|\varphi(\xi)\| \in L_2(E_3)$ и стремится к $\|\varphi(\xi)\|$ при $t \rightarrow +0$ в смысле

$L_2(E_3)$. Следовательно, $t^{\frac{\delta}{2}} e^{-i\lambda} \|\varphi(\xi)\| \rightarrow 0$ при $t \rightarrow +0$ и по неравенству (13) получаем, что имеет место (11) при любом $\psi(x) \in L_2(E_3, H)$. Таким образом (11), установлено.

Легко можно показать, что

$$\lim_{t \rightarrow +0} \int_{E_3} G_0(t, x-\xi, \xi) \psi(\xi) d\xi = \psi(x) \quad (14)$$

для любого $\psi(x) \in L_2(E_3, H)$ в смысле $L_2(E_3, H)$. Тем самым мы установили существование функции Грина задачи (1).

§ 2. Функция Грина оператора L .

Поскольку L положительно определенный самосопряженный оператор и $e^{-i\lambda L}$ является интегральным оператором, поэтому [3] резольвента оператора $L-i\lambda$, $i\lambda < 0$ является интегральным оператором и ядро $K(x, \xi; i\lambda)$ резольвенты $(L-i\lambda E)^{-1}$ связано с ядром $G(t, x, \xi)$ оператора $e^{-i\lambda L}$ соотношением

$$K(x, \xi; i\lambda) = \int_0^\infty e^{-i\lambda t} G(t, x, \xi) dt \quad (1)$$

Покажем, что $K(x, \xi; \lambda)$ является ядром типа Карлемана, т. е.

$$\int_{E_3} \|K(t, x, \xi)\|^2 d\xi < \infty \quad (2)$$

Для этого напишем (9) из § 1 при $j = 0$

$$\|G(t, x, \xi)\| \leq Ct^{-\frac{3}{2}} \exp\left(-C\frac{|x-\xi|^2}{t}\right) \quad (3)$$

Поскольку

$G_1(t, x, \xi) = (2\sqrt{\pi t})^{-3} \exp\left(-\frac{|x-\xi|^2}{4t}\right)$ является ядром оператора $e^{-i\lambda L}$ (A — оператор из § 1), а сама резольвента оператора A есть

$$K_0(x, \xi; \lambda) = \frac{1}{4\pi} \frac{e^{-i\lambda|x-\xi|}}{|x-\xi|}$$

поэтому из (1) имеем

$$\|K(x, \xi; \lambda)\| \leq \int_0^\infty e^{-i\lambda t} \|G_1(t, x, \xi)\| dt = K_0(x, \xi; \lambda)$$

Отсюда и из того, что $K_0(x, \xi; \lambda)$ является ядром типа Карлемана, получаем, что $K(x, \xi; \lambda)$ также обладает этим свойством. Тем самым мы установили следующую теорему.

Теорема. При условиях 1)–4) на операторный потенциал $q(x)$ резольвента оператора L , порожденного операторным выражением Шредингера в пространстве $L_2(E_3, H)$ является интегральным оператором с ядром типа Карлемана.

Замечание. Вышеизложенное справедливо и в случае, если вместо $-\Delta$ взять положительно определенное выражение $\sum_{i=1}^n \frac{\partial}{\partial x_i} \times$

$\times (a_{ij}(x)) \frac{\partial}{\partial x_j}$ с ограниченными операторнозначными коэффициентами $a_{ij}(x)$, удовлетворяющими некоторым условиям гладкости.

Литература

1. Лейтан Б. М. Матем. сб., т. 76, 118, № 2, 1982. 2. Беговатов Е. А. ДАН СССР, 1970, № 191, 6, 1970. 3. Клейман Е. Г. Вестник МГУ, матем. мех., № 5, 1974. 4. Максудов Ф. Г., Гусейнов В. Г. ДАН Азерб. ССР, № 4, 1978. 5. Эйдельман С. Д. Параболические системы. М., 1964. 6. Красносельский М. А. и др. Интегральные операторы в пространстве суммируемых функций. М., 1966. Институт математики и механики

Поступило 29. VI 1980

Ф. Г. Максудов, М. Бајрамоглу

ШРЕДИНГЕР ОПЕРАТОР ТӘНЛИЖИННИҢ ГРИН ФУНКСИЯСЫ

Мәғаләдә үчөлүлүү фәзада верилмиш оператор эмсаллы өз-өзүнә гошма Шредингер тәнлижинниң резольвентинин Карлеман типли интеграл оператор олдугу көстәрлилір.

F. G. Maksudov, M. Bairamogly

GREEN FUNCTION OF SCHRODINGER OPERATOR EQUATION

It is shown that a resolvent of Schrödinger self-adjoint operator equation given in all three-dimensional space is an integral operator with a kernel of Carleman type.

М. А. ВЕЛИЕВ

**УСТОЙЧИВОСТЬ МЕТОДА БУБНОВА—ГАЛЕРКИНА ДЛЯ
ЛИНЕЙНЫХ УРАВНЕНИЙ ВТОРОГО ПОРЯДКА
С ПЕРЕМЕННЫМИ КОЭФФИЦИЕНТАМИ**

(Представлено академиком АН Азербайджанской ССР А. И. Гусейновым)

В настоящей заметке рассмотрен вопрос об устойчивости метода Бубнова—Галеркина (в смысле определения, данного в [1, 2]), для линейных уравнений второго порядка с переменными коэффициентами в гильбертовом пространстве.

1. Рассмотрим задачу Коши

$$A_0(t)u'' + A_1(t)u' + A_2(t)u = f(t), \quad (1)$$

$$u(0) = u_0, \quad u'(0) = u, \quad (2)$$

где переменные операторы $A_i(t)$ самосопряженные, положительно определенные в H , имеют независящие от t области определения $D(A_i(t)) = D(A_i)$, ($i = 0, 1, 2$); $f(t)$ при $\forall t \in [0, T]$ заданный элемент из H , а u_0, u_1 заданные элементы из H . Однозначная разрешимость задачи (1), (2) исследована в [3, 4].

Возможны три случая: 1) области определения $D(A_i)$ удовлетворяют условиям $D(A_2) \subseteq D(A_1) \subseteq D(A_0)$; 2) области определения $D(A_i)$ удовлетворяют соотношениям $D(A_2) \subseteq D(A_0) \subseteq D(A_1)$; 3) области определения $D(A_i)$ ($i = 0, 1, 2$) удовлетворяют условиям $D(A_0) \subseteq D(A_1), D(A_1) \subseteq D(A_2)$.

Случай 1)—2) обозначают, что самым "сильным" оператором является оператор $A_2(t)$, а в случае 3) исходная задача сводится к задаче с ограниченными операторами.

Рассмотрим первый случай. Предположим, что операторы $A_i(t) \times (i = 0, 1, 2)$ удовлетворяют неравенствам

$$(A_i(t)u, u) \geq \gamma_i(u, u), \quad \forall u \in D(A_i), \quad \forall t \in [0, T], \quad (3)$$

где

$$\gamma_i = \text{const} > 0, \quad i = 0, 1, 2,$$

и

$$u_0 \in D(A_2^{1/2}(0)), \quad u_1 \in L(A_0^{1/2}(0)).$$

Для приближенного решения задачи (1), (2) выберем систему $\{\varphi_k\}$ из $D(A_2^{1/2})$ и приближенное решение ищем в виде $u_n(t) = \sum_{k=1}^n C_k^{(n)}(t) \varphi_k$. Согласно методу Бубнова—Галеркина, скалярные функции $c_k^{(n)}(t)$ ($k = 1, 2, \dots, n$) определяются из системы обыкновенных дифференциальных уравнений

$$R_{n0}(t)C_n'(t) + R_{n1}(t)C_n(t) + R_{n2}(t)C_n(t) = f_n(t) \quad (4)$$

при условиях

$$C_n(t)|_{t=0} = C_n(0), \quad C_n'(t)|_{t=0} = C_n'(0), \quad (4')$$

где

$$R_{n1}(t) = \|[\varphi_k, \varphi_j]_{A_1(t)}\|_{E_n}^n, \quad k, j = 1, \dots, n, \quad t = 0, 1, 2,$$

$f_n(t) = ((f(t), \varphi_1), \dots, (f(t), \varphi_n))$, $C_n(t)$ n -мерный искомый вектор из n -мерного евклидова пространства E_n .

Постоянные векторы $C_n(0)$, $C_n'(0)$ определяются из требования, что $u_n(0)$ и $u_n'(0)$ являются проекциями элементов u_0 и u_1 , соответственно в пространствах $H_{A_0(0)}$ и $H_{A_1(0)}$ на подпространство, индуцируемое на координатные элементы $\varphi_1, \varphi_2, \dots, \varphi_n$. Это требование сводит нахождение $C_n(0)$, $C_n'(0)$ к решению следующих систем

$$R_{n2}(0)C_n(0) = T_{n2}, \quad R_{n0}(0)C_n'(0) = T_{n0}, \quad (5)$$

где $T_{n2} = ([u_0, \varphi_1]_{A_2(0)}, \dots, [u_0, \varphi_n]_{A_2(0)})$,

$$T_{n0} = ([u_1, \varphi_1]_{A_0(0)}, \dots, [u_1, \varphi_n]_{A_0(0)}).$$

Очевидно, системы (5) однозначно разрешимы.

Лемма 1. Справедливы оценки

$$\|R_{n2}'(0)C_n(0)\|_{E_n} \leq \|u_0\|_{A_2(0)},$$

$$\|R_{n0}'(0)C_n'(0)\|_{E_n} \leq \|u_1\|_{A_0(0)}.$$

Лемма 2. Пусть 1) операторы $A_i(t)$ ($i = 0, 1, 2$) самосопряженные и удовлетворяются условия (3); 2) операторы $A_0(t), A_2(t)$ сильно дифференцируемы и выполнены условия

$$(A_0(t)u, u) \leq 0, \quad \forall u \in D(A_0), \quad \forall t \in [0, T],$$

$$(A_2(t)u, u) \leq 0, \quad \forall u \in D(A_2), \quad \forall t \in [0, T];$$

$$3) u_0 \in D(A_2^{1/2}(0)), \quad u_1 \in D(A_0^{1/2}(0)); \quad 4) f \in L_2((0, T); H).$$

Тогда при $\forall t \in [0, T]$ справедлива оценка

$$\|R_{n2}'(t)C_n(t)\|_{E_n}^2 + \|R_{n0}'(t)C_n(t)\|_{E_n}^2 \leq M_0, \quad (6)$$

где $M_0 = \left[\|u_0\|_{A_2(0)}^2 + \|u_1\|_{A_0(0)}^2 + \frac{1}{\gamma_0} \|f\|_{L_2((0, T); H)}^2 \right] e^T$.

Для доказательства оценки (6) достаточно умножить уравнение (4) на вектор $C_n'(t)$ и свести к дифференциальному неравенству. С помощью теорем с дифференциальными неравенствами получается оценка (6).

Обозначим через $\Gamma_{n0}(0), \Gamma_{n2}(0)$ погрешности матриц $R_{n0}(0), R_{n2}(0)$, а через Δ_{n0}, Δ_{n2} соответственно погрешности векторов T_{n0}, T_{n2} .

Лемма 3. Пусть 1) погрешности $\Gamma_{n0}(0), \Gamma_{n2}(0)$ самосопряженные в E_n и удовлетворяют условиям

$$\|\Gamma_{n0}(0)\|_{E_n} \leq \Lambda_0, \quad \|\Gamma_{n2}(0)\|_{E_n} \leq \Lambda_2,$$

где Λ_0, Λ_2 — положительные постоянные, независящие от n ;

2) координатная система $\{\varphi_k\} \subset D(A_2^{1/2})$ сильно минимальна в пространстве $H_{A_2(0)}$.

Тогда справедливы оценки

$$\|R_{n2}'(0)(\tilde{C}_n(0) - C_n(0))\|_{E_n} \leq C_1 \|\Gamma_{n0}(0)\|_{E_n} + C_2 \|\Delta_{n0}\|_{E_n},$$

$$\|R_{n0}'(0)(\tilde{C}_n(0) - C_n(0))\|_{E_n} \leq C_3 \|\Gamma_{n2}(0)\|_{E_n} + C_4 \|\Delta_{n2}\|_{E_n},$$

где $C_1 (i = 1, 2, 3, 4)$ положительные постоянные, независящие от n , а $C_n(0)$ решение возмущенной системы для начальных данных.

Обозначим через $\Gamma_{nl}(t) (l = 0, 1, 2)$ погрешности матриц $R_{nl}(t) \times \times (l = 0, 1, 2)$ соответственно. Предположим, что матрицы $\Gamma_{nl}(t) \times \times (l = 0, 1, 2)$ определены в пространстве $C[0, T]$ и удовлетворяют условиям

$$\|\Gamma_{nl}\|_{C([0,T]; E_n)} \leq \Lambda_l, \quad (7)$$

где $\Lambda_l (l = 0, 1, 2)$ — положительные постоянные, независящие от n .

Теорема 1. Пусть 1) выполнены условия леммы 2; 2) координатная система $\{\varphi_k\} \subset D(A_2^{\frac{1}{2}})$ сильно минимальна в пространстве H_{A_2} ; 3) $\Gamma_{n0}(t) \equiv 0$, матрица $\Gamma_{nl}(t)$ самосопряженная в E_n и матрицы $\Gamma_{n1}(t), \Gamma_{n2}(t)$ удовлетворяют условиям (7).

Тогда процесс определения приближенных решений и первых производных по методу Бубнова—Галеркина устойчив соответственно в пространствах $L_2((0, T); H_{A_2})$, $C([0, T]; H_{A_2})$ и $L_2((0, T); H_{A_0})$, $C([0, T]; H_{A_0})$.

Аналогичные результаты справедливы и во втором случае. Однако теперь следует координатную систему $\{\varphi_k\} \subset D(A_2^{\frac{1}{2}})$ брать сильно минимальной в пространстве H_{A_1} .

2. Рассмотрим задачу

$$A_0(t)u'' + A_1(t)u' + A_2(t)u + A_3(t)u = f(t), \quad (8)$$

$$u(0) = u_0, \quad u'(0) = u_1, \quad (8')$$

где операторы $A_i(t) (i = 0, 1, 2)$ и правая часть та же, что и в первом пункте, а оператор $A_3(t)$, действующий в пространстве H , вообще говоря, несамосопряженный в H , область, определения $D(A_3)$ оператора $A_3(t)$ не зависит от t и удовлетворяет условию $D(A_2^{\frac{1}{2}}) \subset D(A_3)$.

Теорема 2. Пусть 1) выполнены условия 1; 2) операторы $A_2(t), A_3(t)$ удовлетворяют неравенству

$$\|A_3(t)u\| \leq \alpha \|A_2^{\frac{1}{2}}(t)u\|, \quad \forall u \in D(A_2^{\frac{1}{2}}), \quad \forall t \in [0, T],$$

где $\alpha = \text{const} > 0$.

Тогда справедливы утверждения теоремы 1.

3. Рассмотрим задачу Коши для более общих уравнений

$$A_0(t)u'' + A_1(t)u' + A_2(t)u + A_3(t)u +$$

$$+ A_4(t)u + A_5(t)u = f(t), \quad (9)$$

$$u(0) = u_0, \quad u'(0) = u_1, \quad (9')$$

где операторы $A_i(t) (i = 0, 1, 2, 3)$ те же, что и во втором случае, а операторы $A_4(t), A_5(t)$ принадлежат соответственно пространствам $L(L^\infty((0, T); V), L^\infty((0, T); H)), L(L^\infty((0, T); H), L^\infty((0, T); H))$, где V — сепарабельное пространство, плотно в H и имеет место вложение $V \subset H$ (компактио).

Теорема 3. Пусть 1) выполнены условия теоремы 2; 2) операторы $A_4(t), A_5(t)$ являются операторами локального типа.

Тогда справедливы утверждения теоремы 1.

Примеры на операторы $A_4(t), A_5(t)$ локального типа приведены в [5, 6].

Замечание 1. Результаты справедливы, если $\alpha = \alpha(t)$ и

$$(A'_i(t)u, u) \leq p_i(t) \|A_1^{\frac{1}{2}}(t)u\|^2, \quad \forall u \in D(A_1), \quad \forall t \in [0, T], \quad i = 0, 2,$$

где $\alpha(t), p_i(t) (i = 0, 2)$ определены и непрерывны на отрезке $[0, T]$.

Замечание 2. Так как операторы $A_0(t), A_2(t)$ самосопряженные, положительно определенные, то из утверждения сформулированных теорем вытекает устойчивость процесса определения коэффициентов $c_k^{(n)}(t) (k = 1, 2, \dots, n)$ по методу Бубнова—Галеркина.

Наконец, заметим, что если $\Gamma_{n0}(t) \neq 0$ координатную систему $\{\varphi_k\} \subset D(A_2^{\frac{1}{2}})$ следует брать сильно минимальной в пространстве H_{A_2} и почти ортонормированной в одном из пространств H_{A_1} ($i = 0, 1, 2$).

В заключение отметим, что аналогичная задача, т. е. устойчивость, решена для метода сеток, а также для стационарных операторных уравнений в [7, 8].

Литература

1. Велиев М. А. ДАН СССР, 157, № 1, 16–19, 1964.
2. Михлин С. Г. Численная реализация вариационных методов. «Наука». М., 1966.
3. Ладыженская О. А. Матем. сб., 39, № 4, 491–514, 1956.
4. Ладыженская О. А. Матем. сб., 45, № 2, 123–148, 1958.
5. Artof M. Ann. Sci. Ecole norm. supér., 2, № 2, 137–253, 1969.
6. Алиев Ф. А., Велиев М. А. ДАН Азерб. ССР, 35, № 8, 16–20, 1979.
7. Тихонов А. Н., Самарский А. А. Ж. вычисл. матем. и матем. физ., 1, № 1, 5–63, 1951.
8. Самарский А. А. Теория разностных схем. «Наука». М., 1977.
9. Велиев М. А. Уч. зап. АГУ, серия физ.-матем. наук, № 3, 17–24, 1972.

АГУ им. С. М. Кирова

М. А. Велиев

ИКИНЧИ ТЭРТИБ ДЭЖИШЭН ЭМСАЛЛЫ ХЭТТИ
ТЭНЛИКЛЭР ҮЧҮН БУБНОВ-ГАЛОРКИН ҮСҮЛҮНҮН
ДАЈАНЫГЛЫҒЫ

Мэгэлэдэ II тэргиб хэтти дэжишэн эмсаллы оператор дифференциал тэнликлэр үчүн Коши мэсэлэсийн Бубнов-Галоркин илэ тэргиби һэлл ёдилр вэ үсүли дајаныглығы үчүн кафи шартлэр тапылсыр. Көстэрилир ки, јүсөк төрөм эмсалындакы хэта сыйфыра бэрэбэр оларса, онда үсүл күчлүү минимал системлэр үчүн дајаныглыдыр. Хэта сыйфырдан фэргли олдугда дајаныглыг үчүн кафи шартлэр тапылсыр. Нэтичэлэр өз-өзүн гошма болжаан вэ локал тип операторлара малик II тэргиб оператор дифференциал тэнликлэр көнишлэндирлир.

М. А. Велиев

THE STABILITY OF THE BUBNOV-GALERKIN METHOD FOR SECOND ORDER LINEAR EQUATIONS WITH VARIABLE COEFFICIENTS

This paper investigates the stability of the Bubnov-Galerkin method of Cauchy problem for the linear differential equations of second order with a selfadjoint coefficients.

It is proved that this method is stable for the strongly minimal coordinate systems, if the perturbation in a high derivative equals to zero. Sufficient conditions for the stability method, if the perturbation in a high derivative differs from zero, are obtained.

The results spread on the linear equations, containing non-selfadjoint operators and also linear operators in a locality type.

А. А. НЕРСИСЯН

НЕРАВЕНСТВА ТИПА С. Н. МЕРГЕЛЯНА И В. К. ДЗЯДЫКА
В МЕТРИКЕ $L(\Gamma)$

(Представлено академиком АН Азербайджанской ССР И. И. Ибрагимовым)

Неравенства, связывающие нормы производных многочленов с нормой самого многочлена с помощью характеристической функции $d\left(z, \frac{1}{n}\right)$ мы будем называть неравенствами типа Мергеляна—Дзядыка^{*}.

Подобного типа неравенства в метрике C в комплексной плоскости были широко освещены, в частности, в работах С. Н. Мергеляна [1], В. К. Дзядыка [2], П. М. Тамразова [3] и др. Эти же вопросы были мало изучены в метрике L_p в комплексной плоскости. В этой связи следует отметить работы С. Я. Альпера [4], который рассмотрел аналогичную задачу в метрике L_p , при $p > 1$ на подклассах гладких кривых, М. М. Андрашко [5] при L_p ($p \geq 1$) на узком подклассе кусочно-гладких кривых, а также результаты Дж. И. Мамедханова [6], имеющие место в метрике L_p ($p > 1$) на произвольных кусочно-гладких замкнутых и разомкнутых кривых.

В этой статье нами получены оценки типа Мергеляна—Дзядыка в метрике пространства $L(\Gamma)$ на кривых, содержащих в себе самые широкие кривые, на которых на сегодняшний день имеется конструктивная характеристика функций класса $H^a(\Gamma)$ (класс Гельдера порядка a), в метрике пространства C , в терминах величины наилучшего полиномиального приближения.

В дальнейшем нам понадобятся следующие понятия и определения. Рассмотрим известный класс кривых $B_0^{(0)}$, определяемый следующим образом:

Пусть $\Gamma_\delta(t) = \{z \in \Gamma / |t - z| < \delta\}$, а $\theta_\delta(\delta) = \text{mes } \Gamma_\delta(t)$ (mes—мера Лебега). Через $B_0^{(0)}$ будем обозначать класс кривых, для которых

* Через $d\left(z, \frac{1}{n}\right)$ обозначается расстояние от точки $z \in \Gamma$ до линии

$$\Gamma_{1+\frac{1}{n}} \cdot d\left(z, \frac{1}{n}\right) = \inf_{t \in \Gamma} f|z - t|, z \in \Gamma$$

** Как известно, подобного типа неравенства широко применяются в теории наилучшего приближения при получении конструктивных характеристик различных классов функций в комплексной плоскости, в частности, в областях с кусочно-гладкими границами.

$\theta_1(\delta) \leq \delta$. Отметим, что класс кривых $B_0^{(0)}$ был рассмотрен В. В. Салаевым [7] и содержит в себе класс произвольных кусочно-кривых*.

Будем говорить, что замкнутая кривая $\Gamma \in B_k$, если $\Gamma \in B_0^{(0)}$ и для величин

$$\begin{aligned} \xi = \tilde{\xi}\left(\frac{1}{n}\right) &= \Psi\left[\left(1 + \frac{1}{n}\right)\Phi(\xi)\right], \tilde{\xi}_t = \tilde{\xi}_t\left(\frac{1}{n}\right) = \\ &= \Psi\left[\left(1 + \frac{1}{n}\right)\varphi(\xi)e^{-it}\right], \end{aligned}$$

где функция $W = \Phi(z)$ отображает внешность Γ конформно и однолистно, на внешность единичного круга и, $0 < \lim_{z \rightarrow \infty} \frac{\varphi(z)}{z} < \infty, a = z\Psi(W)$

обратная к $\Phi(z)$, выполняются соотношения:

$$a) |\tilde{z} - z| \leq d\left(z, \frac{1}{n}\right), \forall z \in \Gamma$$

$$b) |\tilde{\xi} - z| \leq A_1(1 + n|t|^k)|\tilde{\xi}_t - z|, \forall \xi, \Gamma \in \Gamma \text{ и значит, также}$$

$$b') |\tilde{\xi}_t - z| \leq A_1(1 + n|t|^k)|\tilde{\xi} - z|,$$

v') $|\tilde{\xi} - \xi|^k \leq A_2 |\tilde{\xi} - z|^{k-1} |\tilde{z} - z|, \forall \xi, z \in \Gamma, K$ —натуральное число. Отметим, что класс кривых B_k был введен В. К. Дзядыком [2], причем, в частности, конструктивная характеристика класса H^a в метрике C была получена в подклассе кривых B_k .

Кроме того, будем говорить, что плоская кривая является квазиконформной, если она при каком-нибудь квазиконформном отображении расширенной плоскости на себя служит образом окружности или прямой. Дж. И. Мамедхановым^{**} был введен в рассмотрение класс кривых N_0 , определяемый следующим образом:

$$N_0 = \begin{cases} 1^\circ. \Gamma \in B_0^{(0)} \\ \Gamma: 2^\circ. |\tilde{\xi} - \xi|^2 \leq |\tilde{\xi} - z||z' - z|, \text{ где } \forall \xi, z \in \Gamma, \\ a) \tilde{\xi} = \Psi\left[\left(1 + \frac{1}{n}\right)\varphi(\xi)\right] \\ 3^\circ. |\tilde{z} - z| \leq d\left(z, \frac{1}{n}\right) \end{cases}$$

Заметим, что класс кривых N_0 содержит в себе самый широкий класс кривых B_k , рассмотренный Дзядыком. Кроме того, следует заметить, что условиям 2°, 3° будут удовлетворять и произвольные квазиконформные кривые (см. напр., [8]).

Имеет место следующая теорема.

Теорема. Пусть $\Gamma \in N_0$. Тогда для $\forall P_n(t)$ степени $\leq n$ справедливо следующее соотношение:

$$\left\| d\left(z, \frac{1}{n}\right) P_n'(t) \right\|_{L(\Gamma)} \leq \|P_n(z)\|_{L(\Gamma)} \quad (1)$$

* Кривая Γ называется K -кривой, т. е. $\Gamma \in K$, если для $\forall t_1, t_2 \in \Gamma$ $S(t_1, t_2) \leq K|t_1 - t_2|$, где постоянная K от t_1, t_2 не зависит, а $S(t_1, t_2)$ —длина наименьшей дуги Γ , соединяющей точки t_1 и t_2 .

** В случае $P > 1$ неравенства типа Мергеляна—Дзядыка на кривых из более широкого класса, чем N_0 , доказаны Дж. И. Мамедхановым.

Доказательство. В силу формулы Коши, будем иметь

$$|P_n'(z)| \leq \frac{1}{2\pi} \int_{\Gamma_{1+\frac{1}{n}}} \frac{|P_n(t)|}{|t-z|^2} |dt|, z \in \Gamma, t \in \Gamma_{1+\frac{1}{n}}$$

Отсюда, умножив обе части неравенства на величину $d(z, -\frac{1}{n})$ и проинтегрировав по кривой Γ , получаем

$$\int_{\Gamma} d\left(z, \frac{1}{n}\right) |P_n'(z)| |dz| \leq \frac{1}{2\pi} \int_{\Gamma_{1+\frac{1}{n}}} \left[d\left(z, \frac{1}{n}\right) \int_{\Gamma_{1+\frac{1}{n}}} \frac{|P_n(t)|}{|t-z|^2} |dt| \right] |dz|$$

Теперь, меняя порядок интегрирования в правой части последнего соотношения, находим

$$\int_{\Gamma} d\left(z, \frac{1}{n}\right) |P_n'(z)| |dz| \leq \frac{1}{2\pi} \int_{\Gamma_{1+\frac{1}{n}}} |P_n(t)| |dt| \int_{\Gamma} \frac{d\left(z, \frac{1}{n}\right)}{|t-t|^2} |dz| \quad (2)$$

Далее, покажем справедливость следующего соотношения:

$$\int_{\Gamma} \frac{d\left(z, \frac{1}{n}\right)}{|t-z|^2} |dz| \leq 1 \quad (3)$$

В самом деле, пусть $t_0 = \varphi \left[\frac{1}{1+\frac{1}{n}} \varphi(t) \right]$, где $t \in \Gamma_{1+\frac{1}{n}}$, а $t_0 \in \Gamma$

$$\text{Тогда } \tilde{t}_0 = \varphi \left[\left(1 + \frac{1}{n}\right) \varphi(t_0) \right] = t, \text{ т. к. } \varphi(t_0) = \frac{1}{1+\frac{1}{n}} \varphi(t)$$

В силу свойств 2° и 3° класса N_0 будем иметь

$$\begin{aligned} d^2\left(z, \frac{1}{n}\right) &\asymp |\tilde{z}-z|^2 \leq |\tilde{z}-t_0||\tilde{t}_0-t_0| \text{ или} \\ d\left(z, \frac{1}{n}\right) &\leq |\tilde{z}-t_0|^{\frac{1}{2}} |\tilde{t}_0-t_0|^{\frac{1}{2}} \end{aligned} \quad (4)$$

Кроме того, из свойства 2°, 3° класса

$$|\tilde{t}_0-t_0| \leq \tilde{d}\left(\tilde{t}_0, \frac{1}{n}\right) \quad (5)$$

В самом деле, пусть t_0^* есть та точка на Γ , на которой достигается равенство

$$|\tilde{t}_0-t_0^*| = \tilde{d}\left(\tilde{t}_0, \frac{1}{n}\right)$$

Далее, в силу свойства 2° и 3° класса N_0 , находим

$$|\tilde{t}_0-t_0|^2 \leq \text{const} |\tilde{t}_0-t_0^*| |\tilde{t}_0-t_0^*|$$

$$\begin{aligned} \text{и} \quad |\tilde{t}_0-t_0| &\geq d\left(t_0^*, \frac{1}{n}\right) \geq \text{const} |\tilde{t}_0-t_0^*| \geq \text{const} \frac{|\tilde{t}_0-t_0|^2}{|\tilde{t}_0-t_0|} \\ \text{или} \quad \tilde{d}\left(\tilde{t}_0, \frac{1}{n}\right) &= |\tilde{t}_0-t_0^*| \geq \text{const} |\tilde{t}_0-t_0|, \end{aligned}$$

т. е. соотношение (5) доказано. Теперь, в силу (4) из (5), получим

$$\begin{aligned} d\left(z, \frac{1}{n}\right) &\leq |\tilde{z}-t_0|^{\frac{1}{2}} \left[\tilde{d}\left(t, \frac{1}{n}\right) \right]^{\frac{1}{2}}, t = \tilde{t}_0, \text{ отсюда будем иметь} \\ \int_{\Gamma} \frac{d\left(z, \frac{1}{n}\right)}{|z-t|^2} |dt| &\leq \int_{\Gamma} \frac{|\tilde{z}-t_0| \left[d\left(t, \frac{1}{n}\right) \right]^{\frac{1}{2}}}{|z-t|} |dt| = \\ &= \left[\tilde{d}\left(t, \frac{1}{n}\right) \right]^{\frac{1}{2}} \int_{\Gamma} \frac{|\tilde{z}-t_0|^{\frac{1}{2}}}{|z-t_0|^2} |dz| \end{aligned}$$

Применяя к правой части последнего выражения легко доказуемое соотношение (см. напр., [9])

$$(\sigma_1 + \sigma_2)^{\mu} \asymp \sigma_1^{\mu} + \sigma_2^{\mu},$$

где $\mu \in]0, 1]$, а σ_1, σ_2 — любые положительные числа, будем иметь

$$\begin{aligned} \int_{\Gamma} \frac{d\left(z, \frac{1}{n}\right)}{|z-t|^2} |dt| &\leq \left[\tilde{d}\left(t, \frac{1}{n}\right) \right]^{\frac{1}{2}} \int_{\Gamma} \frac{|\tilde{z}-z+z-\tilde{t}_0+\tilde{t}_0-t_0|^{\frac{1}{2}}}{|z-\tilde{t}_0|^2} |dz| \leq \\ &\leq \left[\tilde{d}\left(t, \frac{1}{n}\right) \right]^{\frac{1}{2}} \int_{\Gamma} \frac{|\tilde{z}-z|^{\frac{1}{2}} + |z-\tilde{t}_0|^{\frac{1}{2}} + |\tilde{t}_0-t_0|^{\frac{1}{2}}}{|z-\tilde{t}_0|^2} |dz| \quad (6) \end{aligned}$$

Замечая, что

$$\tilde{t}_0 = t, d\left(z, \frac{1}{n}\right) = \inf_{t \in \Gamma_{1+\frac{1}{n}}} |z-t|, z \in \Gamma \text{ и } \tilde{d}\left(t, \frac{1}{n}\right) = \inf_{z \in \Gamma} |z-t|$$

и используя свойство 3° класса, а также соотношение (4), будем иметь:

$$|\tilde{z}-z| \asymp d\left(z, \frac{1}{n}\right) = \inf_{t \in \Gamma_{1+\frac{1}{n}}} |z-t| \Rightarrow |\tilde{z}-z| \geq |z-t| = |z-\tilde{t}_0| \quad (7)$$

$$|\tilde{t}_0-t_0| \leq \tilde{d}\left(t_0, \frac{1}{n}\right), \text{ но } \tilde{d}\left(\tilde{t}_0, \frac{1}{n}\right) = \inf_{z \in \Gamma} |z-\tilde{t}_0| \leq |\tilde{t}_0-t_0|, \tilde{t}_0 \in \Gamma_{1+\frac{1}{n}} \quad (8)$$

откуда следует, что

$$|\tilde{t}_0-t_0| \leq |z-\tilde{t}_0|$$

Учитывая (7), и (8), из (6), получим

$$\begin{aligned} \int_{\Gamma} \frac{d\left(z, \frac{1}{n}\right)}{|z-t|^2} |dt| &\leq \left[\tilde{d}\left(t, \frac{1}{n}\right) \right]^{\frac{1}{2}} \left\{ \int_{\Gamma} \frac{|dz|}{|z-\tilde{t}_0|^{\frac{3}{2}}} + \int_{\Gamma} \frac{|dz|}{|z-\tilde{t}_0|^{\frac{3}{2}}} + \right. \\ &\quad \left. + \int_{\Gamma} \frac{|dz|}{|z-\tilde{t}_0|^{\frac{3}{2}}} \right\} \leq \left[\tilde{d}\left(t, \frac{1}{n}\right) \right]^{\frac{1}{2}} \int_{\Gamma} \frac{|dz|}{|z-t|^{\frac{3}{2}}} \quad (9) \end{aligned}$$

Для завершения доказательства справедливости соотношения (3) покажем, что из условия $0_1(\delta) \leq \delta$ следует

$$\int_{\Gamma} \frac{|dz|}{|z-t|^{\frac{1}{p}}} \leq \left[\tilde{d} \left(t, \frac{1}{n} \right) \right]^{\frac{1}{2}}, \quad t \in \Gamma_{1+\frac{1}{n}} \quad (10)$$

В самом деле, пусть $\tilde{d} \left(t, \frac{1}{n} \right) = p$. Очевидно, что

$$\begin{aligned} &= \sum_{m=-1}^{\infty} (\Gamma_{2^{m+1}}(t) \setminus \Gamma_{2^m}(t)), \text{ тогда } \int_{\Gamma} \frac{|dz|}{|z-t|^{\frac{1}{p}}} = \\ &= \sum_{n=1}^{\infty} \int_{\Gamma_{2^{n+1}}(t) \setminus \Gamma_{2^n}(t)} \frac{|dz|}{|z-t|^{\frac{1}{p}}} \end{aligned} \quad (11)$$

В случае, когда $z \in \Gamma_{2^{n+1}}(t) \setminus \Gamma_{2^n}(t)$, $|t-z| \geq 2^n p$. Учитывая это, получим следующую оценку:

$$\begin{aligned} \int_{\Gamma_{2^{n+1}}(t) \setminus \Gamma_{2^n}(t)} \frac{|dz|}{|z-t|^{\frac{1}{p}}} &\leq \int_{\Gamma_{2^{n+1}}(t) \setminus \Gamma_{2^n}(t)} \frac{|dz|}{2^{2^n} \cdot p^2} = \frac{1}{2^{2^n} \cdot p^2} \times \\ &\times \text{mes}(\Gamma_{2^{n+1}}(t) \setminus \Gamma_{2^n}(t)) \leq \frac{1}{2^{2^n} \cdot p^2} \text{mes}(\Gamma_{2^{n+1}}(t)) = \frac{\theta_1(2^{n+1})}{2^{2^n} \cdot p^2} \leq \\ &\leq \frac{2^{n+1}}{2^{2^n} \cdot p^2} = \frac{1}{2^{n-1}} \cdot \frac{1}{p^2} \end{aligned} \quad (12)$$

Теперь из (11) и (12) заключаем, что

$$\int_{\Gamma} \frac{|dz|}{|z-t|^{\frac{1}{p}}} \leq \sum_{n=-1}^{\infty} \frac{1}{2^{n-1}} \cdot \frac{1}{p^2} = \frac{1}{p^2} \sum_{n=-1}^{\infty} \frac{1}{2^{n-1}} \leq \frac{1}{p^2},$$

т. е. соотношение (10) имеет место.

Далее, нетрудно заметить, что из (9) и (10) будет следовать соотношение (3). Учитывая это, из (2) получим:

$$\int_{\Gamma} d \left(z, \frac{1}{n} \right) |P_n'(z)| |dz| \leq \int_{\Gamma_{1+\frac{1}{n}}} |P_n(t)| |dt| \quad (13)$$

Теперь дело сводится к применению следующего результата.

Лемма (Д. Вестерна [10]). Если Γ есть граница континуума E и

$$f(z) \in A_{p,n} \left(E_{1+\frac{1}{n}} \right) (p > 0); \text{ то } \|f\|_{L_p \left(\Gamma_{1+\frac{1}{n}} \right)} \leq e \left(1 + \frac{1}{n} \right)^{\frac{1}{p}} \|f\|_{L_p(E)}$$

где $A_{p,n} \left(E_{1+\frac{1}{n}} \right)$ класс функций, удовлетворяющих условиям

$$1, f(z) \in L_p(z)$$

2. $f(z)$ аналитична в области $E_{1+\frac{1}{n}}$, ограниченной линией уровня $\Gamma_{1+\frac{1}{n}}$, и непрерывна вплоть до границы

3. ∞ является полюсом порядка n для $f(z)$. Так как $P_n \subset A_{p,n} \left(E_{1+\frac{1}{n}} \right)$, где P_n — множество всех алгебраических многочленов степени n , то, применяя в правой части (13) указанную лемму, получим неравенство (1).

Литература

1. Мергелян С. Н. Труды матем. ин-та В. А. Стеклова, т. 37, 1951.
2. Дзядык В. К. Введение в теорию равномерного приближения функций полиномами. М., 1977.
3. Тамразов П. М. «Гладкости и полиномиальные приближения». «Наукова думка». Киев, 1975.
4. Альпер С. Я. Исследование по современным проблемам теории функций комплексного переменного. М., 1960.
5. Аидашко М. И. «Укр. матем. журн.», т. 16, № 4, 1964.
6. Мамедханов Дж. И. «ДАН СССР», т. 217, № 3, 1974.
7. Саладе В. В. Деп. в ВИНИТИ 1943—74, 1974.
8. Белый В. И. Матем. сб., т. 102, 144, № 3.
9. Мусхелишвили Н. И. Сингулярные интегральные уравнения. М., 1968.
10. Western D. W. Duke math. J. U. 15, № 3, 839, 1948.

Степанакертский педагогический институт

Поступило 19. III 1980

А. А. Нерсесян
L (Г) ФАЗАСЫНЫН МЕТРИКАСЫНДА С. Н. МЕРГЕЛЯН

ВӘ В. К. ДЗЈАДЫК ТИПЛИ БӘРАБӘРСИЗЛИК

Мәгәләдә $L(\Gamma)$ фазасы метрикасында һиссә-һиссә һамар әүріләр сипиғиң өзүндә саҳлајан әүріләр сипиғи үчүн $d(z, \frac{1}{n})$ характеристик функциясы дилинде С. Н. Мергелян — В. К. Дзядык типли бәрабәрсизлик алынышдыр.

А. А. Nercician

S. N. MERGELIAN-Z. K. DZIADIK TYPE INEQUALITIES IN A METRIC OF SPACE $L(\Gamma)$

The paper, in a wide class of curves containing in particular a class of piecewise smooth curves, considers Mergelian-Dziadik type inequality, i. e. an estimate connecting a norm of polynomial derivative with a norm of polynomial itself in terms of characteristic function $d(z, \frac{1}{n})$ in a metric of space $L(\Gamma)$.

3. Ф. СЕИДОВ

ОБОБЩЕННАЯ МОДЕЛЬ РОША

(Представлено академиком АН Азербайджанской ССР Г. Ф. Султановым)

1. Классическая модель Роша [1] описывает форму вращающейся невесомой жидкости (газа) в поле точечной массы. Она широко используется при исследовании равновесной фигуры вращающейся звезды при большом эффективном значении показателя политропии, когда имеет место сильная концентрация вещества к центру и тяготением внешних слоев звезды можно пренебречь по сравнению с тяготением центрального ядра звезды.

Следующим естественным приближением было бы принятие во внимание слабой несферичности поля тяготения ядра звезды. Один из подходов к этой проблеме излагается в настоящем сообщении. Речь идет об обобщенной задаче двух центров. Известно, что слабонесферическое поле тяготения можно представить в виде потенциала двух неподвижных точечных масс, причем значения масс и координат—суть комплексные величины. Такая задача называется обобщенной задачей двух неподвижных центров [2]. Мы ограничимся симметричным вариантом, когда массы центров равны.

2. Итак, пусть две фиксированные точки имеют равные массы $m_1 = m_2 = M/2$ и расположены на оси аппликат из точек $z_1 = ci$ и $z_2 = -ci$, где c —произвольная постоянная и $i^2 = -1$. Тогда потенциал имеет ось симметрии—ось аппликат и плоскость симметрии—плоскость $z = 0$. Достаточно рассмотреть потенциал в плоскости (x, z) :

$$V(x, z) = \frac{fM}{2} \left(\frac{1}{r_1} + \frac{1}{r_2} \right); r_1^2 = x^2 + (z - ci)^2, \\ r_2^2 = x^2 + (z + ci)^2; \quad (1)$$

здесь f —ньютонаовская постоянная тяготения, r_1 и r_2 —расстояния текущей точки от неподвижных центров.

Потенциал имеет, конечно, действительные значения, что видно, если ввести вещественные переменные λ и μ вместо x и z по формулам

$$r_1 = c(\lambda - \mu i), \quad r_2 = c(\lambda + \mu i); \quad (2)$$

или

$$x^2 = c^2(1 + \lambda^2)(1 - \mu^2), \quad z^2 = c^2\lambda^2\mu^2. \quad (3)$$

В результате получим действительное выражение для потенциала:

$$V = \frac{fM}{c} \frac{\lambda}{\lambda^2 + \mu^2} \quad (4)$$

3. Рассмотрим невесомую оболочку (атмосферу звезды), вращающуюся с постоянной угловой скоростью ω вокруг оси аппликат. По-

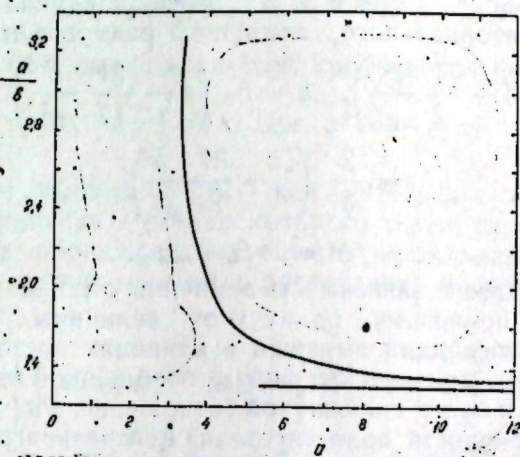
тенциал центробежных сил равен

$$U = \frac{1}{2} \omega^2 x^2. \quad (5)$$

Равновесная форма оболочки определяется условием постоянства суммы гравитационного потенциала V и потенциала центробежных сил U :

$$\Phi = V + U = \Phi_s = \text{const} \quad (6)$$

Форма эквипотенциальных поверхностей $\Phi_s = \text{const}$ (иначе, уровневых поверхностей) существенно зависит от значения Φ_s . При больших значениях Φ_s (точнее, при малых значениях угловой скорости ω) уровневые поверхности для случая Земли получил Е. П. Аксенов [3]. С уменьшением значения Φ_s замкнутые поверхности превращаются в разомкнутые, причем критическая поверхность определяется условием равенства центробежных сил и гравитационных сил на экваторе.



Запишем выражение для гравитационного потенциала на экваторе

$$V = fM, (x^2 - c^2)^{1/2}. \quad (7)$$

Экваториальный радиус $x = a$ критической поверхности определяется из условия

$$-fMa, (a^2 - c^2)^{1/2} + \omega^2 a = 0, \quad (8)$$

или

$$a^2 = (fM/\omega^2)^{1/2} + c^2. \quad (9)$$

Критическое значение суммарного потенциала Φ_0 равно:

$$\Phi_0 = \frac{fM}{2} \frac{3a^2 - 2c^2}{(a^2 - c^2)^{1/2}} = \frac{\omega^2}{2} (3a^2 - 2c^2). \quad (10)$$

На оси аппликат потенциал центробежных сил равен нулю, а гравитационный потенциал равен:

$$V = fM \frac{z}{z^2 + c^2}. \quad (11)$$

Приравнивая Φ_0 из (10) и V из (11), получим следующее выражение для полярного радиуса критической фигуры в:

$$b = A \pm \sqrt{A^2 - c^2}, A = (a^2 - c^2)^{1/2} \setminus (3a^2 - 2c^2). \quad (12)$$

Мы выберем знак плюс, так что $b > c$, заметим, что обычно величина постоянной c намного меньше размеров тела.

Из выражения (7) для потенциала в экваториальной плоскости следует, что должно выполняться неравенство $a > c$. Из (12) требуется вещественность b приводит к дальнейшему ограничению на величину a :

$$a \geq a_1 = 3,260919 \text{ с} \quad (13)$$

Выпишем также асимптотику при значениях экваториального радиуса, близких к a_1 :

$$\frac{a}{c} = \frac{a_1}{c} + \delta, 0 < \delta \ll \frac{a_1}{c}, \frac{b}{c} = 1 + \left[\frac{6a_1^3 \delta c}{(a_1^2 - c^2)(3a_1^2 - 2c^2)} \right]^{1/2} \quad (14)$$

В другом пределе, $a \gg c$ и $\delta \gg c$, имеем следующие соотношения, причем выражения для $r_0(x)$, a_0 , a и b даются, соответственно, для значений экваториального, полярного радиусов и их отношения: мулами (19) и (15).

$$a = a_0 \left(1 + \frac{1}{2} \frac{c^2}{a_0^2} \right), b = b_0 \left(1 - \frac{31}{12} \frac{c^2}{a_0^2} \right), \frac{b}{a} = \frac{2}{3} \left(1 - \frac{37}{12} \frac{c^2}{a_0^2} \right), \quad (15)$$

$$a_0^3 = fM/\omega^2, b_0 = 2a_0/3.$$

На рисунке показана зависимость величины отношения экваториального радиуса к полярному радиусу от величины экваториального радиуса, причем последний выражен в единицах постоянной c .

Таким образом, критическая фигура обобщенной модели Роша становится все более и более сплюснутой (отношение b/a уменьшается) с увеличением несферичности поля тяготения центрального тела (увеличением отношения постоянной c к размерам фигуры Роша). В приближении, когда несферичность аппроксимируется симметричным вариантом обобщенной задачи двух неподвижных центров, предельная величина отношения полярного к экваториальному радиусу равна

$$b/a = ca_1 = 1/3,2609192 = 0,30666199.$$

4. Перейдем к исследованию критической фигуры в обобщенной модели Роша. В общем виде уравнение для критической поверхности записывается в следующем виде в переменных λ и μ :

$$\frac{fM}{c} \frac{\lambda}{\lambda^2 + \mu^2} + \frac{1}{2} \omega^2 c^2 (1 + \lambda^2)(1 - \mu^2) = \Phi_0, \quad (17)$$

где для Φ_0 и ω следует подставить их выражения из (9) и (10).

Из (17) следует уравнение критической поверхности (в плоскости λ, μ -линий) в виде биквадратного уравнения для μ в зависимости от λ . В переменных x, z в соответствии с соотношениями (3) в свою очередь получаем параметрическое соотношение сложного вида между x и z , причем параметром служит λ .

Более простым становится анализ в предельном случае $x \gg c$, $z \gg c$ (точнее, $r \gg c$). В этом случае гравитационный потенциал можно записать в следующем виде в переменных r, z , где r — радиус теку-

щей точки, $r^2 = x^2 + z^2$:

$$V = \frac{fM}{r} \left[1 + \frac{c^2}{r^2} \left(\frac{3}{2} \frac{z^2}{r^2} - \frac{1}{2} \right) \right]. \quad (18)$$

При постоянной c , равной нулю, из (6), (10) и (18) получаем уравнение для критической фигуры классической модели Роша, см., например, [1]:

$$r_0(x) = 2a_0/(3 - x^2/a_0^2), 0 \leq x \leq a_0, \quad (19)$$

$$b_0 \leq r_0 \leq a_0.$$

С учетом поправки первого порядка относительно отношения c^2/a_0^2 уравнение критической поверхности имеет вид:

$$r(x) = r_0(x)(1 + \beta c^2/a_0^2), 0 \leq x \leq a,$$

$$\beta = -\frac{1}{2} \frac{r_0}{a_0} + \frac{9}{2} \left(\frac{a_0}{r_0} \right)^4 - 3 \left(\frac{a_0}{r_0} \right)^5 - \left(\frac{a_0}{r_0} \right)^2, b \leq r \leq a, \quad (20)$$

С помощью (20) вычислим объем критической фигуры Роша:

$$W = 4\pi \int_0^a z(x) dx, z^2 = r^2 - x^2 \quad (21)$$

Рассматривая выражение (21) как интеграл с переменным пределом, подинтегральная функция которого также зависит от параметра (параметром в обоих случаях служит постоянная c) и рассматривая c как малую величину, можно представить интеграл в следующем виде:

$$W = 4\pi \left[\int_0^{a_0} z_0 x dx + z(a_0) \cdot a_0 (a - a_0) + \int_0^{a_0} z_1 x dx \right],$$

$$z_0^2 = r_0^2 - x^2, z = z_0 + z_1 c^2/a_0^2, z_1 = \beta r_0^2/z_0. \quad (20)$$

В этой формуле первый член представляет собой объем критической фигуры классической модели Роша, второй член, как можно показать, имеет порядок c^3/a_0^3 и ввиду его малости, не рассматривается здесь, а третий член есть искомая поправка к объему критической фигуры порядка c^2/a_0^2 . Оба интеграла в формуле (22) выражаются через элементарные функции и их численные значения равны:

$$\int_0^{a_0} z_0 x dx = a_0^3 \int_0^{1-x^2/a_0^2} \frac{1-x^2}{3-x^2} x dx = a_0^3 \left\{ \frac{1}{3} (8 - 3^{1/2}) - 2(2 - 3^{1/2}) + \ln \left[3 \frac{3^{1/2} - 1}{3^{1/2} + 1} \right] \right\} = 0,1803719 a_0^3. \quad (23)$$

$$\int_0^{a_0} z_1 x dx = \frac{c^2/a_0^2}{70} a_0^3 \frac{t^{1/2} (2+r)^{1/2}}{t^4} (35t^4 - 26t^3 - 9t^2 - 39t + 30) \Big|_{t=3} = -0,1465017 a_0^3 (c^2/a_0^2). \quad (24)$$

$$W = 4\pi a_0^3 (0,1803719 - 0,1465017 c^2/a_0^2) \quad (25)$$

ВЛИЯНИЕ ПРИМЕСНОЙ ЗОНЫ НА ОДНОРОДНЫЙ РЕЗОНАНС
В ОДНООСНЫХ СЛАБЫХ ФЕРРОМАГНЕТИКАХ

Наконец, обозначая через $\bar{\rho}$ среднюю плотность критической фигуры, получаем для важного параметра в теории вращающихся конфигураций следующее выражение:

$$\omega^2 \cdot 2\pi f \cdot \bar{\rho} = W/2\pi a_0^3 = 0,3607438 - 0,2930034 c^2/a_0^2. \quad (26)$$

Таким образом, мы получили все основные параметры критической фигуры модели Роша с учетом слабой несферичности центрального тела.

Литература

1. Крат В. А. Фигуры равновесия небесных тел. М.—Л., ГИТТЛ, 1950. 2. Дубошин Г. Н. Небесная механика. „Наука“, М., 1975. 3. Аксанов Е. П. В сб. „Современные проблемы небесной механики и астродинамики“, стр. 79, „Наука“ 1973.

Шемахинская астрофизическая
обсерватория

Поступило 29. XII 1980

З. Ф. Сейдов

УМУМИЛЭШДИРИЛМИШ РОШ МОДЕЛИ

Мэглэдэ мэркээн чицмийн саһесинде газ вэ ја маједэн ибарэл олон сабит сурэлти фырланал өртүүн таразылыг формасынын тэдгиги аппарыллыр. Мэркээн чицмийн потенциалы, ики фиксэ едилмиш мэркээн үмумилэшдирлилмиш мэсэлэлэриний симметрик вириантынын потенциалы илэл аппроксимасија едилмишдир. Критик фигурууц экватор өгүүт радиусу учун ифадэлэр алышмыш, вэ хүсүн наалда мэркээлэр арасындакы мэсаф тэбэгэнийн олчусундээн чох-чох чиник олан наалда—критик сэтгийн тээлийн вэ фигуру нэччи тапылмышидьр. Умуми наалда исэ һөмийн критик сэтгийн тэнлижиний мүрэкка параметрик формада ифадэ олуумасы көстэрилмишдир.

Z. F. Seidov

GENERALIZED ROCHE MODEL

The paper deals with the investigation of the equilibrium form of the uniform rotating envelope of the liquid or gas in the gravitational field of a central body.

Central body potential is approximated by the potential of the symmetrical generalized problem of two fixed centres. Expressions for the equatorial and polar radii of critical Roche figure have been found. Also the equation of critical surface and the volume of the critical figure have been found in the case when the distance between two fixed centres is small enough comparing with envelope size. In general case the equation of the critical surface is shown to be of complex parametric form.

В некоторых экспериментах по антиферромагнитному резонансу были обнаружены дополнительные спин-волновые моды [1, 2]. Боровик-Романов предположил, что обнаруженная ими в CoCO_3 дополнительная мода может быть связана с наличием неконтролируемой примеси.

Недавно в работе [3] найдено условие, при котором локальные примесные магнитные уровни перестраиваются в зону. Кроме того было показано, что в случае легкоосного антиферромагнетика примесная спин-волновая ветвь уменьшается с ростом внешнего статического магнитного поля и может пересекаться (или расщепляться) с "идеальной" модой при определенном значении поля.

В работе [4] экспериментально установлено, что в кристалле CoF_2 с контролируемой примесью Mn^{+2} действительно образуется примесная зона и характер полевой зависимости примесной моды совпадает с предсказанием теории [3].

Однако наличие примесной моды и характер ее полевой зависимости в легкоплоскостных слабоферромагнитных кристаллах до сих пор теоретически не рассматривался.

В настоящей работе делается попытка феноменологически рассмотреть примесные моды слабого ферромагнетика типа CoCO_3 . Будем исходить из гамильтонiana

$$H = \lambda M_1 M_2 - KM_{1z} M_{2z} + d(M_{1x} M_{2y} - M_{2x} M_{1y}) + \lambda_1 (M_1 m_2 + M_2 m_1) - H(M_{1x} + M_{-x} + m_{1x} + m_{2x}), \quad (1)$$

$$\text{где } \lambda = \frac{2JzS}{g\mu_B M}, \quad \lambda_1 = \frac{2J_1 z_1 S_1}{g\mu_B m}$$

J и J_1 —параметры обменного взаимодействия между атомами матрицы, матрицы и примеси соответственно, M и $m = c Ng\mu_B S_1$ —намагниченности матрицы и примеси соответственно, c —относительная концентрация примесей, K —коэффициент магнитокристаллической анизотропии второго порядка, d —параметр слабого ферромагнетизма, H извне ше статическое магнитное поле, направленное вдоль одной осей второго порядка кристалла.

Считаем, что внутриподрешеточное обменное взаимодействие значительно сильнее, чем межподрешеточное, и поэтому при не очень сильных полях можно считать, что $M_1 \parallel m_1$ и $M_2 \parallel m_2$.

Минимизируя [1] по φ легко найти основное состояние системы

$$\cos \varphi \approx \frac{dM_0 + H_x (M_0 + m_0)}{2M_0 (dM_0 + 2\lambda_1 m_0)},$$

где M_0 и m_0 —модули магнитных моментов матричной и примесной подрешеток, φ —угол между направлением внешнего статического магнитного поля и векторами магнитных моментов подрешеток. Уравнения движения матричного и примесного магнитных моментов имеют вид:

$$\dot{M}_{1,2} = \gamma [M_{1,2} H_{1,2}^e]; \dot{m}_{1,2} = \gamma_1 [m_{1,2} h_{1,2}^e], \quad (2)$$

здесь $H_{1,2}^e = -\frac{\partial H}{\partial M_{1,2}}$ и $h_{1,2}^e = -\frac{\partial H}{\partial m_{1,2}}$ —эффективные поля, действующие на матричный и примесный моменты соответственно. После линеаризации уравнений (2) по малому отклонению магнитных моментов (ΔM , Δm), получаем систему уравнений, определитель которой имеет размеры 12×12 . Из условия разрешимости данной системы, после громоздких, но несложных вычислений получаем следующие выражения для частот собственных колебаний системы:

$$\begin{aligned} \omega_1 &= \sqrt{H_x(H_x + dM_0)} \\ \omega_2 &= \sqrt{2\lambda KM_0^2 + 2\lambda_1 M_0 m_0 + \lambda_1 (M_0 - m_0)^2 + dM_0(H_x + dM_0)} \\ \omega_3 &= \sqrt{2\lambda_1 M_0 m_0 + \lambda_1^2 (M_0 - m_0)^2 + H_x^2 - \frac{\lambda_1 m_0 d^2 M_0}{2\lambda M_0}} \end{aligned} \quad (3)$$

При вычислении ω_3 ради простоты предполагалось, что $\lambda_1 \ll \lambda$ и γ_1 ω_1 —обычная мягкая (акустическая) спин-волновая мода, на которую примесные параметры не оказывают влияния, ω_2 —жесткая (оптическая) спин-волновая мода, на которую может существенно влиять примесный параметр λ_1 . Действительно, входящие в ω_2 примесные члены $2\lambda_1 \lambda M_0 m_0$ и $\lambda_1^2 (M_0 - m_0)^2$ могут быть сравнимы с основными членами $2\lambda K M_0^2$ и $dM_0(H_x + dM_0)$ идеального кристалла.

Возможно, что расхождение наблюдаемых значений $H_d = dM_0$, полученных из статических и резонансных измерений [5], связано с этим. ω_3 —дополнительная мода, цель которой связана только с примесным параметром λ_1 . Как видно из [3], зависимость ω_3 от внешнего магнитного поля такая же, как на эксперименте [5]. К сожалению, из-за неконтролируемости концентрации и неизвестности сорта примеси, мы не могли произвести количественного сравнения с экспериментом, проведенным для слабоферромагнитного CoCO_3 [1].

Нами была вычислена также динамическая восприимчивость. Для простоты приводим ее значение при $H_x = 0$.

$$\chi_{zz} \equiv \chi_{xx} = \frac{\Delta(M_{1x} + M_{2x} + m_{1x} + m_{2x})}{h_{\omega x}} = \frac{2K M_0^2}{\omega^2 - \omega_2^2} \quad (4)$$

В данном случае ($H_x = 0$)—вид восприимчивости подобен восприимчивости идеального кристалла, т. е. влияние примеси на восприимчивость входит только через частоту ω_3 .

Литература

- Боровик-Романов А. С., Мещеряков В. Ф. Письма в ЖЭТФ, 28, 425, 1964.
- Прохоров А. С., Рудашевский Е. Г. Письма в ЖЭТФ, 22, 214, 1975.
- Иванов М. А., Rudaševskiy E. G. Solid State Comm., 33, 623, 1980.
- Науменко В. М., Еременко В. В., Бандура В. М., Пимко В. В. Письма в ЖЭТФ, 32, 6, 1980.
- Боровик-Романов А. С. „Проблемы магнетизма“. Наука, М., 1972.

Ю. М. Сейдов, Н. Г. Гусейнов, Р. Э. Мамедов

БИРОХЛУ ЗЭИФ ФЕРРОМАГНИТЛЭРДЭ АШГАР ЗОНАСЫНЫН БИРЧИНСЛИ РЕЗОНАНСА ТЭСИРИ

Мэгэлэдээ нэээри олараг зэиф ферромагнитлээрдэ ашгар зонасынын бирчинсли резонанса тэсирэ ёжонилмийшидир, Ашгар тэсирин нэээрэ алмагла бирчинсли резонанс тезлийн учун ифадэ алынмышдыр. Бу ифадэ эсасында точрубы иэтничэлэр изэн олуимушдур.

Yu. M. Seidov, N. G. Guseinov, R. A. Mamedov

THE EFFECT OF IMPURITY BAND ON HOMOGENEOUS RESONANCE IN WEAK UNIAXIAL FERROMAGNETICS

The paper deals with the theoretical study of the effect of the impurity bands on homogeneous resonance in uniaxial weak ferromagnetics. The expressions for homogeneous resonance frequencies with the account of the Impurity influence which qualitatively explains the experimentally obtained results have been derived

УДК 621.315.592

ФИЗИКА ПОЛУПРОВОДНИКОВ

Чл.-корр. АН СССР Г. Б. АБДУЛЛАЕВ, акад. Ч. М. ДЖУВАРЛЫ,
Б. Г. ТАГИЕВ, П. В. ЛЕОНОВ, И. А. ГАСАНОВ, Г. М. НИФТИЕВ,
Б. А. ГУСЕЙНОВ.

ФОРМИРОВАНИЕ ОБЪЕМНОГО ЗАРЯДА В МОНОКРИСТАЛЛАХ GaSe В ПЕРЕМЕННОМ ЭЛЕКТРИЧЕСКОМ ПОЛЕ

Как известно [1—4], в результате различных физических процессов в полупроводниках и диэлектриках может иметь место образование объемного заряда. Как правило, заряд при этом бывает сосредоточен в приэлектродных слоях и оказывается ответственным за многие физические явления, происходящие в полупроводниках. Это вопрос достаточно хорошо освещен в мировой литературе. Явление образования объемного заряда широко используется для определения параметров ловушек в сложных полупроводниках. При этом используется метод термостимулированного тока (ТСТ). Величина заряда может быть оценена графическим интегрированием кривой термостимулированного тока.

Ниже рассматриваются теоретические предпосылки предлагаемого метода формирования монополярного объемного заряда в полупроводниках и обсуждаются экспериментальные результаты исследования параметров ловушек в монокристаллах GaSe:Sn.

Рассмотрим процесс формирования объемного заряда. Для простоты возьмем симметричную систему электродов, между которым расположен образец (рис. 1). Воздушные зазоры предназначены для зажигания в них газового разряда. После зажигания разряда в зазор появляются свободные носители заряда: положительные ионы и электроны. Поскольку к зазору приложено переменное напряжение то в положительный полупериод на поверхность образца оседают положительные ионы, а в отрицательный — происходит оседание электронов. В результате статистического характера распределения и пульсовой разряды по поверхности образца, через некоторое время обеих сторон (поскольку физические условия с обеих сторон одинаковые), будет иметь место равномерное поверхностное распределение зарядов обоего знака. В связи с тем, что коэффициенты диффузии положительных ионов и электронов существенно различны (а именно $D_e \gg D_i$), а также с другой стороны, благодаря наличию градиента концентрации, будет иметь место преимущественный диффузионный ток зарядов одного знака, направленный от поверхности в толщу образца, равный:

$$j_D = eD \frac{dn}{dx},$$

где e — заряд электрона, D — коэффициент диффузии электронов, n — концентрация носителей заряда. Следует отметить, что такой же

величине диффузионный ток будет иметь место через другую поверхность образца, но направление его будет противоположным. Следовательно, суммарный диффузионный ток в системе будет равен нулю. Этого и следовало ожидать из-за симметрии рассматриваемой задачи.

В то же время, с появлением и захватом носителей в объеме образца будет возникать электрическое поле, выталкивающее заряды из образца. Таким образом создается дрейфовый ток, направленный против диффузионного. Опять же, из-за симметрии, суммарный дрейфовый ток в системе равен нулю. Величина дрейфового тока через одну из границ равна

$$j_c = n \cdot e \cdot v,$$

где v — дрейфовая скорость носителя.

Если учесть, что: $v = \mu \cdot E$, то:

$$j_c = ne \mu E,$$

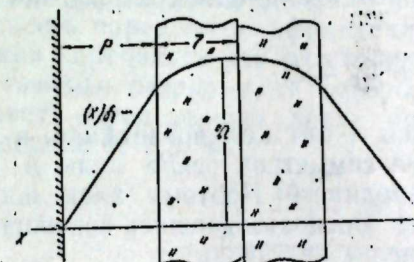


Рис. 1. Схема ячейки, в которой производилась обработка образцов частичными разрядами.

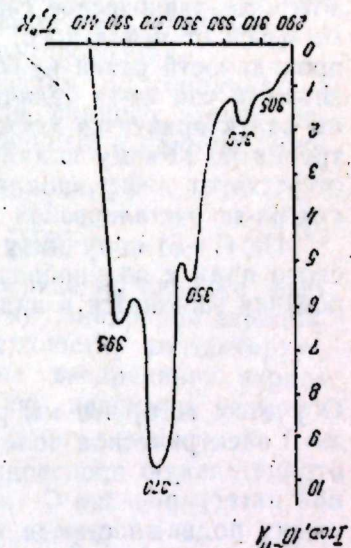


Рис. 2. Типичная термостимулированного тока для образцов из GaSe:Sn

где μ — подвижность носителей, E — напряженность поля, созданная как свободными, так и захваченными на глубокие уровни носителями. Для определенности рассматриваем полупроводник n -типа, в котором носители, захваченные на глубокие уровни, считаем донорной примесью. При этом в области объемного заряда,

$$\frac{dE}{dx} = \frac{e}{\epsilon \epsilon_0} (n + N_D),$$

где N_D — концентрация захваченных носителей. Известно, что для полупроводника с примесями, в области температур, когда носители вымораживаются на доноры (в нашем случае это определяется глубиной ловушек) и считая акцепторными уровнями уровни мелких ловушек, в окрестности квантурования Ферми [5]

$$\frac{n}{N_D} = \frac{1}{z} \left(\frac{2\pi m k T_e}{h^2} \right)^{1/4} e^{-\frac{E}{k T_e}},$$

Здесь z —число мелких ловушек в единице объема, T_e —характерная температура для носителей зарядов на ловушки, ε_0 —положение квазиуровня Ферми, отсчитанное от дна зоны проводимости. Вообще говоря, приведенное соотношение зависит от количества носителей на ловушках, уже хотя бы вследствие того, что с изменением их концентрации меняется положение квазиуровня Ферми, однако если мы рассмотрим состояние системы в достаточно удаленный от момента зажигания разряда в промежутках момент времени, то в объеме полупроводника будет некоторое квазиравновесное состояние, которое характеризуется некоторым постоянным соотношением между концентрациями носителей в зоне и на ловушках, хотя бы и несколько зависящим от координаты

$$\frac{n}{N_D} = \text{const} = 0 \quad (5)$$

Это квазиравновесное состояние характеризуется условием $j=0$ и отличается от начального, когда во всем объеме нет зарядов и ток проводимости равен нулю, но на границе существует большой диффузионный ток из-за наличия градиента концентрации. Это состояние не характеризуется также равномерной плотностью захваченных электронов по объему полупроводника, поскольку хотя в данном случае отсутствует диффузионная компонента тока, имеется ток проводимости из-за расталкивания зарядов собственным полем.

Из (1-5) получим уравнение для квазиравновесного электрического поля в полупроводнике, которое после однократного интегрирования запишется в виде:

$$\frac{dF}{dx} + \frac{\mu}{2D} E^2 = -C$$

С учетом того, что мы рассматриваем n -типа полупроводника, в точке $x=0$ электрическое поле вследствие симметрии равно нулю и имеет отрицательную производную по координате. Поэтому знак постоянной интегрирования C —положителен. Воспользовавшись соотношением между подвижностью и коэффициентом диффузии

$$\frac{\mu}{D} = \frac{e}{kT_e} \quad (7)$$

решение (6) можно представить в виде [6]

$$E(x) = -\sqrt{\frac{2kT_e C}{e}} \operatorname{tg} \sqrt{\frac{eC}{2kT_e}} \cdot x \quad (8)$$

и выражение для концентрации захваченных зарядов тогда

$$N_D = \frac{\varepsilon_0 C}{e(0+1)} \sec^2 \sqrt{\frac{eC}{2kT_e}} \cdot x \quad (9)$$

Значение постоянной C получим из экспериментального измерения наведенного потенциала, согласно рис. 1. Для ее вычисления следует с помощью (8) рассчитать разность потенциалов сначала в области $0 < x < L$, а затем, учитывая непрерывность потенциала на границах газ—полупроводник и равенство нормальных составляющих индукции на тех же границах, рассчитать падение потенциала на участках $L < x < L+d$. Взяв затем из эксперимента величину разности потенциалов между средней плоскостью системы, обычно порядка нескольких десятков вольт, и электродом, можно получить значение C из решения трансцендентного уравнения, предположив, что нуж-

ный корень находится вблизи значения $\frac{\pi}{2}$. При расчете оказывается необходимым знание температуры T_e . Вообще говоря, даже в случае стационарного объемного заряда, электроны, захваченные на ловушки, могут не находиться в термодинамическом равновесии с решеткой. Их температура будет несколько превышать решеточную ввиду непрерывного получения энергии от переменного электрического поля, поддерживающего разряд в газовом промежутке. Однако это превышение даже в случае электронов на ловушках в диэлектрике [7] очень незначительно даже для полей близких к пробивным. Поэтому считая температуру электронов близкой к комнатной и для геометрии электродов, описанной выше, вычисленное значение постоянной C составляет около $5 \cdot 10^7 \text{ в} \cdot \text{м}^2$. Тогда максимальное значение аргумента под знаками тригонометрических функций в (8) и (9) при $x=L$ составляет примерно 1,55, что дает возможность судить о характере распределения объемного заряда в полупроводнике.

Из выражения (9) путем его интегрирования по координате в пределах от $-L$ до L получим выражение для полного заряда, заключенного в объеме полупроводника, отнесенного к единице площади поверхности

$$Q = -2\varepsilon_0 \sqrt{\frac{2kT_e C}{e}} \operatorname{tg} \sqrt{\frac{eC}{2kT_e}} \cdot L \quad (10)$$

Знание формы распределения объемного заряда по глубине дает возможность определить эффективную глубину внедрения зарядов. Ее можно определить как расстояние от поверхности, контактирующей с газовым разрядом, на котором величина внедренного заряда составляет определенную долю полного. Так, например, если эта доля составляет 0,5, то

$$\Delta = \frac{\sqrt{\frac{2kT_e}{eC}} \operatorname{tg} \sqrt{\frac{eC}{2kT_e}} \cdot L}{1 + \sec^2 \sqrt{\frac{eC}{2kT_e}} \cdot L}, \Delta \ll L \quad (11)$$

Для наших условий $\Delta \approx 10^{-6} \text{ м}$. Это свидетельствует о том, что на глубине 1 мкм сосредоточена половина внедренного в полупроводник заряда.

Рассчитанное по (10) значение заряда в объеме полупроводника оказывается всегда по порядку величины сравнимым с зарядом, протекающим через измеритель термостимулированного тока, однако обычно вычисленное значение превышает полный измеренный заряд. Это может быть объяснено тем, что в методе измерения термостимулированного тока во внешней цепи ток протекает до тех пор, пока в образце не установится симметричное относительно средней плоскости распределение захваченных зарядов. Дальнейшее освобождение электронов из ловушек не приводит к регистрации тока, поскольку токи с правой и левой стороны образца компенсируют друг друга.

Из сказанного следует, что для рассматриваемого механизма формирования объемного заряда вовсе не обязательно наличие инжектирующего поля. Формирование объемного заряда может происходить просто за счет диффузии электронов из области с большой концентрацией в полупроводник или диэлектрик.

По описанному способу проводились эксперименты с формированием объемного заряда в монокристалле селенида галлия.

Исследуемые образцы изготавливались из монокристаллического GaSe. Образцы из GaSe получались сколованием слоев толщиной в 30 мкм, после чего на одну из поверхностей испарением в вакууме наносился электрод. Образцы подвергались воздействию частичных разрядов переменного напряжения. Длительность воздействия изменилась от 1 мин до 10 ч.

Характерные для исследуемых образцов GaSe с удельным сопротивлением 10^{10} ом. см. результаты измерений токов термостимулированной деполяризации (ТСД) представлены на рис. 2. При этом скорость нагрева образца выбрана равной $0,06 \frac{\text{град}}{\text{сек}}$. На кривой ТСД

отчетливо видно пять пиков, по которым определены энергии активации ловушек ($0,56; 0,68; 0,67; 0,72; 0,77$ эВ.).

Литература

1. Рывкин С. М. Фотоэлектрические явления в полупроводниках. Физматгиз, 1963. 2. Лампарт М., Марк И. Ионизацияные токи в твердых телах. Изд-во "Мир", М., 1973. 3. Тагиев Б. Г., Нифтиев Г. М., Алиев Н. А., Плиев Ф. И., Меджидов А. Б., Гасанов И. А., Изв. АН Азерб. ССР, серия физ.-техн. и матем. наук, № 4, 67, 1978. 4. Губкин А. Н. "Электреты". "Наука", М., 1978. 5. Блатт Ф. Теория подвижности электронов в твердых телах. ГИФМЛ, М.—Л., 1963. 6. Камке Э. Справочник по обыкновенным дифференциальным уравнениям. Физматгиз, 1965. 7. Сканави Г. И. Физика диэлектриков (область сильных полей). Физматгиз, 1958.

Институт физики

Поступило 24. II 1981

Б. Б. Абдуллаев, Ч. М. Чуварлы, Б. Г. Тагиев, П. В. Леонов,
И. А. Гусейнов, К. М. Нифтиев, Б. А. Гусейнов

ДЭЛИШЭН ЕЛЕКТРИК САЙЁСИНДЭ GaSe МОНОКРИСТАЛЫНДА НЭЧМИ ЙУКЛЁРИН ЙАРАНМАСЫ

Мөгаләдә дәйниән електрик саңәсинде алынан газ башалмасында фәзә нәчми йукләринин юранмасы еффектиндән истифада едәрәк юрымкечирчиләрни физики хассасләрни тәдгиг стәмәк имкәни көстәрilmишdir. Стасионар шәрәнтәдә нүмүнәдә саңәнни вә ўукый пајланмасы һесабланишыдир. Термостимуллашыш чәројан методуну комәји илә GaSe монокристалында локал сәвийәләрни дәрнилиji тәҗин едишлишdir.

G. B. Abdullaev, Ch. M. Juvarly, B. G. Tagiev, P. V. Leonov,
I. A. Gasanov, G. M. Niftiev, B. A. Guseinov

FORMATION OF SPACE CHARGE IN GaSe SINGLE CRYSTALS IN AC ELECTRIC FIELD

The possibility of semiconductors physical properties investigation by using the space charge formation effect due to electron diffusion from gaseous discharge of alternate current is showed.

Distribution of field and charge in the sample in the stationary conditions were calculated.

The depth of trap level in GaSe was determined by thermostimulated currents method.

АЗӘРБАЙЧАН ССР ЕЛМЛӘР АКАДЕМИЯСЫНЫИ МӘРҮЗӘЛӘРИ

ДОКЛАДЫ АКАДЕМИИ НАУК АЗЕРБАЙДЖАНСКОЙ ССР

ТӨМ XXXVII ЧИЛД

№ 7

1981

УДК 537.213; 537.226.5

ФИЗИКА ПОЛУПРОВОДНИКОВ

И. Ш. ВЕКИЛОВ, Р. Р. ГУСЕЙНОВ

КУЛОНОВСКОЕ ВЗАИМОДЕЙСТВИЕ ЗАРЯДОВ В АНИЗОТРОПНОЙ ПЛЕНКЕ

(Представлено академиком АН Азербайджанской ССР Г. Б. Абдуллаевым)

В последнее время заметно возрос интерес к изучению экситонных состояний в тонких полупроводниковых пленках. Было показано [1], что в случае, когда пленка окружена средой с диэлектрической проницаемостью намного меньшей диэлектрической проницаемости самой пленки, кулоновское взаимодействие заряженных частиц в пленке заметно возрастает, что приводит к существенному изменению экситонного спектра. Энергия связи экситона в пленке при этом значительно больше, чем в массивном образце и увеличивается с уменьшением толщины пленки. Экспериментально такой эффект наблюдался [2,3] на пленках ряда полупроводниковых соединений, обладающих слоистой структурой. Поэтому представляет интерес решение задачи о кулоновском взаимодействии в пленке с анизотропными свойствами.

Мы рассмотрим взаимодействие двух зарядов, находящихся в пленке, характеризуемой двумя значениями статической диэлектрической проницаемости (ϵ_{\perp} , ϵ_{\parallel}) и окруженной средой с диэлектрической проницаемостью ϵ_1 , с одной, и ϵ_2 —с другой стороны. Выберем начало координат в некоторой точке О, равноудаленной от границ пленки толщины d и найдем потенциал поля в произвольной точке (p, z) внутри пленки, создаваемого зарядом e , помещенным в точке (o, z') также внутри пленки.

Потенциал этот $\varphi(p, z)$ находится решением уравнения Пуассона с соответствующими граничными условиями:

$$\epsilon_{\perp} \frac{\partial^2 \varphi}{\partial z^2} + \epsilon_{\parallel} \left(\frac{\partial^2 \varphi}{\partial x^2} + \frac{\partial^2 \varphi}{\partial y^2} \right) = -4\pi e \delta(z-z') \delta(p) \quad (1)$$

при $-\frac{d}{2} \leq z \leq \frac{d}{2}$, и

$$\Delta \varphi = 0 \quad (2)$$

при $z < -\frac{d}{2}$ и $z > \frac{d}{2}$.

Границыми условиями при этом являются условия непрерывности самого потенциала и z -компонент вектора индукции на границах пленки.

Удобно разложить искомый потенциал $\varphi(p, z)$ в интеграл Фурье по двум переменным:

$$\varphi(p, z) = \frac{1}{(2\pi)^2} \int \varphi(\kappa, z) e^{i\kappa p} d^2 \kappa$$

и искать решение в трёх различных областях.

$$1. -\frac{d}{2} < z \leq \frac{d}{2}$$

Уравнение (1) для Фурье-компоненты потенциала выглядит следующим образом:

$$\epsilon_1 \frac{d^2 \varphi(\kappa, z)}{dz^2} - \epsilon_{\parallel} \kappa^2 \varphi(\kappa, z) = -4\pi e \delta(z - z')$$

Его общее решение есть:

$$\varphi(\kappa, z) = A e^{i\kappa z} + B e^{-i\kappa z} + \frac{2\pi e}{\epsilon \kappa} e^{-i\kappa|z-z'|},$$

где A и B — произвольные коэффициенты,

$$\gamma = \sqrt{\frac{\epsilon_{\parallel}}{\epsilon_1}}, \quad \epsilon = \sqrt{\epsilon_{\parallel} \epsilon_1}$$

$$2. z \leq -\frac{d}{2}$$

Уравнение (2) для Фурье-компоненты потенциала дает:

$$\frac{d^2 \varphi(\kappa, z)}{dz^2} - \kappa^2 \varphi(\kappa, z) = 0$$

Решение (5), убывающее на бесконечности есть:

$$\varphi(\kappa, z) = A_1 e^{i\kappa z}$$

$$3. z \geq \frac{d}{2}$$

В этой области решение убывающее на бесконечности есть:

$$\varphi(\kappa, z) = B_1 e^{-i\kappa z}$$

Границные условия при $z = -\frac{d}{2}$ и $z = \frac{d}{2}$ определяют коэффициенты A, B, A_1, B_1 . Здесь мы приведем только значения A и B :

$$A = \frac{2\pi e}{\epsilon \kappa} e^{-\eta_1 - i\kappa \frac{d}{2}} \frac{\operatorname{ch}[\eta_1 + i\kappa \left(\frac{d}{2} + z'\right)]}{\operatorname{sh}(\eta_1 + \eta_2 + i\kappa d)}$$

$$B = \frac{2\pi e}{\epsilon \kappa} e^{-\eta_1 - i\kappa \frac{d}{2}} \frac{\operatorname{ch}[\eta_2 + i\kappa \left(\frac{d}{2} - z'\right)]}{\operatorname{sh}(\eta_1 + \eta_2 + i\kappa d)},$$

где

$$\eta_{1,2} = \frac{1}{2} \ln \frac{\epsilon + \epsilon_{1,2}}{\epsilon - \epsilon_{1,2}}$$

Подставляя значения A и B в (4), найдем для Фурье-компоненты потенциала внутри пленки:

$$\varphi(\kappa, z) = \frac{4\pi e}{\epsilon \kappa} \begin{cases} \Phi(\kappa, z, z') & z > z' \\ \Phi(\kappa, z', z) & z < z' \end{cases}$$

где

$$\Phi(\kappa, z, z') = \frac{\operatorname{ch}\left[i\kappa\left(\frac{d}{2} - z\right) + \eta_2\right] \operatorname{ch}\left[i\kappa\left(\frac{d}{2} + z'\right) + \eta_1\right]}{\operatorname{sh}(\eta_1 + \eta_2 + i\kappa d)}$$

и для самого потенциала $\varphi(p, z)$ при $z > z'$:

$$\varphi(p, z) = \frac{e}{\pi \epsilon} \int_0^\infty dk \Phi(\kappa, z, z') \int_0^{2\pi} e^{ikp \cos \theta} d\theta =$$

$$= \frac{2e}{\epsilon} \int_0^\infty J_0(kp) \Phi(\kappa, z, z') dk$$

Здесь мы проинтегрировали по полярному углу θ , в результате чего под интегралом возникла функция Бесселя $J_0(kp)$. Интеграл по k вычисляется следующим образом:

$$(3) \quad \varphi(p, z) = \frac{e}{\epsilon} e^{-(\eta_1 + \eta_2)} \int_0^\infty \frac{J_0(kp) dk}{1 - e^{-2(\eta_1 + \eta_2 + i\kappa d)}} \left\{ e^{\eta_1 + \eta_2 - i\kappa d \left(\frac{z}{d} - \frac{z'}{d}\right)} + \right.$$

$$+ e^{\eta_1 - \eta_2 - i\kappa d \left(1 - \frac{z}{d} - \frac{z'}{d}\right)} + e^{-\eta_1 + \eta_2 - i\kappa d \left(1 + \frac{z}{d} + \frac{z'}{d}\right)} +$$

$$\left. + e^{-\eta_1 - \eta_2 - i\kappa d \left(2 - \frac{z}{d} + \frac{z'}{d}\right)} \right\} =$$

$$(4) \quad = \frac{e}{\epsilon} \sum_{m=0}^{\infty} \left\{ \frac{\left(\frac{\epsilon - \epsilon_1}{\epsilon + \epsilon_1} \frac{\epsilon - \epsilon_2}{\epsilon + \epsilon_2}\right)^m}{\sqrt{\gamma^2 (2md + z - z')^2 + p^2}} + \frac{\left(\frac{\epsilon - \epsilon_1}{\epsilon + \epsilon_1}\right)^m \left(\frac{\epsilon - \epsilon_2}{\epsilon + \epsilon_2}\right)^{m+1}}{\sqrt{\gamma^2 [(2m+1)d - z - z']^2 + p^2}} + \right.$$

$$+ \frac{\left(\frac{\epsilon - \epsilon_1}{\epsilon + \epsilon_1}\right)^{m+1} \left(\frac{\epsilon - \epsilon_2}{\epsilon + \epsilon_2}\right)^m}{\sqrt{\gamma^2 [(2m+1)d + z + z']^2 + p^2}} + \left. \frac{\left(\frac{\epsilon - \epsilon_1}{\epsilon + \epsilon_1}\right)^{m+1} \left(\frac{\epsilon - \epsilon_2}{\epsilon + \epsilon_2}\right)^{m+1}}{\sqrt{\gamma^2 [2(m+1)d - z + z']^2 + p^2}} \right\} \quad (5)$$

$$(6)$$

При вычислении (6) мы формально разложили подинтегральную функцию по степеням экспоненты, стоящей в знаменателе и затем проинтегрировали весь ряд почленно, воспользовавшись известной формулой:

$$\int_0^\infty J_0(x) e^{-bx} dx = \frac{1}{\sqrt{1+b^2}}, \quad b > 0$$

Условие отрицательности показателя экспоненты в нашем случае выполнено, поскольку $z > z'$, а также $|z| \leq \frac{d}{2}$ и $|z'| \leq \frac{d}{2}$. При $z < z'$ в формуле (6) нужно просто поменять местами z и z' .

Потенциал (6) имеет вид суммы потенциалов, создаваемых бесконечным рядом изображений данного заряда, отраженных от границ пленки.

Таким образом, найдена электростатическая энергия взаимодействия двух зарядов e и e' в пленке:

$$U(p, z, z') = e' \varphi(p, z)$$

Литература

- Келдыш Л. В. Письма в ЖЭТФ, т. 29, вып. 11, стр. 716. 1979.
- Consdorff F. and Frindt R. F. Phys. Rev. B., V. 2, № 12, p. 4893, 1970 г.
- Агеев Л. А., Милославский В. К., Шкляревский И. Н. ФТТ, т. 15, вып. 9, стр. 2794. 1973.

И. Ш. Вәкилов, Р. Р. Гүсейнов

АНИЗОТРОПИК НАЗИК ТӘБӘГӘЛӘРДӘ ЈЕРЛӘРИН КҮЛОН
ГАРШЫЛЫГЛЫ ТӘСИРИ

Мәгләдә бир тәрәфи диэлектрик иүфузулугу ϵ_1 олан мүнитлә, дикәр тәрәфи иң диэлектрик иүфузулугу ϵ_2 олан мүнитлә әнатә олунмуш, анизотропик диэлектрик иүфузулугу ($\epsilon_{||}$, ϵ_{\perp}) олан назик тәбәгә дәхилиндә ики юкүн гаршылыглы тәсир енержиси несабланыштыр.

I. Sh. Vekilov, R. R. Guseinov

COULOMB INTERACTION OF CHARGES IN ANISOTROPIC FILM

The energy of electrostatic interaction of two charges, located in the film with anisotropic dielectric constant ($\epsilon_{||}$, ϵ_{\perp}), placed between two media with dielectric constant ϵ_1 and ϵ_2 , is found.

АЗЭРБАЙЧАН ССР ЕЛМЛӘР АКАДЕМИЯСЫНЫН МӘРУЗӘЛӘРИ

ДОКЛАДЫ АКАДЕМИИ НАУК АЗЕРБАЙДЖАНСКОЙ ССР

ТОМ XXXVII ЧИЛД

№ 7

1981

УДК 62.50

ТЕХНИЧЕСКАЯ КИБЕРНЕТИКА

Чл.-корр. Я. Б. КАДЫМОВ, А. И. МАМЕДОВ, Б. А. АСКЕР-ЗАДЕ,
Р. М. АЛИЕВ

ЧИСЛЕННЫЙ МЕТОД РАСЧЕТА НЕСТАЦИОНАРНЫХ ПРОЦЕССОВ
В МАГИСТРАЛЬНЫХ ПРОДУКТОПРОВОДАХ ПРИ
ПОСЛЕДОВАТЕЛЬНОЙ ПЕРЕКАЧКЕ НЕФТЕПРОДУКТОВ

Вопросы расчета нестационарных процессов в магистральных продуктопроводах при последовательной перекачке нефтепродуктов имеют важное значение для целей прогнозирования хода технологических процессов и оперативного управления режимами перекачки.

Данная проблема в научной литературе разработана еще недостаточно. В работе [1] освещен вопрос последовательного движения по трубопроводу двух жидкостей с плоской границей раздела, отличающихся плотностью, вязкостью и упругостью.

Однако при эксплуатации магистральных продуктопроводов приходится сталкиваться со случаями, когда по трубопроводу движутся одновременно более двух различных нефтепродуктов. Решение такой задачи с использованием аналитических методов в связи с неоднородностью нефтепродуктов сопряжено с большими математическими трудностями. Для преодоления этих трудностей весьма эффективным является применение специализированных численных методов расчета нестационарных процессов, основанных на теории импульсных систем [3—5].

При этом в качестве математического аппарата используется дискретное преобразование Лапласа [6].

Такой метод расчета позволяет исключить из решения задачи динамики магистрального продуктопровода бесконечные ряды Бесселевых функций и свести его к достаточно простым рекуррентным соотношениям, легко реализуемым на ЦВМ.

В настоящей работе изложено дальнейшее развитие и обобщение численного метода, описанного в [3—5], для расчета нестационарных процессов в магистральном продуктопроводе при последовательной перекачке *i* нефтепродуктов, отличающихся плотностью, вязкостью и упругостью.

Движение каждого нефтепродукта описывается линеаризованными уравнениями Чарного [2], а на границе раздела между ними задаются условия непрерывности скорости и давления.

Причем, согласно [1], за время нестационарного процесса границы раздела нефтепродуктов считаются неподвижными. При такой постановке нестационарные процессы, протекающие в магистральном продуктопроводе при последовательной перекачке нефтепродуктов,

описываются следующими уравнениями в частных производных:

$$-\partial P_z / \partial x = \kappa_1^z \partial W_z / \partial t + \kappa_3^z W_z, \quad (1)$$

$$-\partial W_z / \partial x = \kappa_2^z \partial P_z / \partial t,$$

где $z = 1, i$, для $z = 1, 0 < x < L_1$
 $z = i, L_{i-1} < x < L_i, L_1 = l_1$,

$L_2 = \sum_{j=1}^2 l_j, \dots, L_i = \sum_{j=1}^i l_j; l_1, l_2, \dots, l_i$ —длина каждого подучастка, заполненного соответственно $1, 2, \dots, i$ нефтепродуктом,

$$\kappa_1^1 = p_1, \dots, \kappa_1^i = p_i, \kappa_2^i = \frac{1}{p_i c_1^2}, \dots, \kappa_2^i = \frac{1}{p_i c_1^2},$$

$$\kappa_3^i = 2a_1 p_1, \dots, \kappa_3^i = 2a_1 p_i;$$

$W_1(x, t), \dots, W_i(x, t), P_1(x, t), \dots, P_i(x, t)$ —соответственно значения средней скорости и давления для нефтепродуктов $1, 2, \dots, i$;
 p_1, \dots, p_i —значение плотности нефтепродуктов $1, 2, \dots, i$;
 c_1, \dots, c_i —значение скорости звука для нефтепродуктов $1, 2, \dots, i$;
 a_1, \dots, a_i —значение коэффициента линеаризованного трения для нефтепродуктов $1, 2, \dots, i$.

Начальные условия принимаются нулевыми [1].
Границные условия имеют вид:

$$P_1(0, t) = P_{1u}(t), \quad W_1(L_1, t) = W_{1k}(t),$$

$$\dots$$

$$P_{i-1}(L_{i-1}, t) = P_{iu}(t), \quad W_{i-1}(L_{i-1}, t) = W_{ik}(t),$$

$$P_i(L_i, t) = \rho_i W_i(L_i, t),$$

ρ_i —постоянный коэффициент, определяющий связь между давлением и скоростью в конце участка i .

Функция $P_{iu}(t)$ задает возмущение на левом конце данной системы. В граничных условиях значения функций $W_{ik}(t), \dots, P_{iu}(t), W_{ik}(t)$ являются неизвестными функциями и определяются в ходе решения задачи.

Запишем условия сопряжения в точках $x = L_1, x = L_2, \dots, x = L_{i-1}$

$$P_1(L_2, t) = P_2(L_1, t), \quad W_1(L_1, t) = W_2(L_1, t),$$

$$\dots$$

$$P_{i-1}(L_{i-1}, t) = P_i(L_{i-1}, t), \quad W_{i-1}(L_{i-1}, t) = (L_{i-1}, t).$$

Требуется найти решение системы дифференциальных уравнений (1) при заданных начальных и граничных условиях.

При указанных начальных и граничных условиях решения систем уравнений (1) определяют выражения для функций $P_1(x, t), W_1(x, t), \dots, W_i(x, t)$, которые в операторной форме принимают вид:

$$W_1(x, s) = \frac{1}{b_1(s)} \frac{\sinh \gamma_1(L_1 - x)}{\cosh \gamma_1 l_1} P_{1u}(s) + W_{1k}(s) \frac{\cosh \gamma_1 x}{\cosh \gamma_1 l_1},$$

$$P_1(x, s) = \frac{\cosh \gamma_1(L_1 - x)}{\cosh \gamma_1 l_1} P_{1u}(s) - b_1(s) W_{1k}(s) \frac{\sinh \gamma_1 x}{\cosh \gamma_1 l_1},$$

(2)

$$W_1(x, s) = \frac{1}{b_1(s)} \frac{\sinh \gamma_1(L_1 - x)}{\cosh \gamma_1 l_1} P_{1u}(s) + W_{1k}(s) \frac{\cosh \gamma_1(x - L_2)}{\cosh \gamma_1 l_1},$$

$$P_1(x, s) = \frac{\cosh \gamma_1(L_1 - x)}{\cosh \gamma_1 l_1} P_{1u}(s) - b_1(s) W_{1k}(s) \frac{\sinh \gamma_1(x - L_2)}{\cosh \gamma_1 l_1}.$$

$\gamma_1(s) = \sqrt{(sk_1^1 + \kappa_3^1)/sk_2^1}$ —операторная постоянного распространения волн на соответствующих участках $1, 2, \dots, i$;

$b_1(s) = \sqrt{(sk_1^1 + \kappa_3^1)/sk_2^1}$ —операторное волновое сопротивление продуктопровода на участках $1, 2, \dots, i$;

$P_{1u}(s), \dots, P_{iu}(s), W_{1k}(s), \dots, W_{ik}(s)$ —изображение функций $P_1(0, t), P_i(L_{i-1}, t), W_1(L_1, t), W_i(L_i, t)$;

s —оператор преобразования Лапласа.

Переход от изображений непрерывных функций к соответствующим изображениям решетчатых функций осуществляется на основе методики, представленной в [6].

Оригиналы полученных дискретных изображений находятся на основе теоремы свертки [7]. При этом связь между непрерывным временем t и дискретным n для данной системы имеет следующий вид: $t = nT/\lambda$,

где $T = 2\pi$ —абсолютный период повторения решетчатой функции, $\tau = \sum_{j=1}^i \tau_j$ —время распространения волны в один конец исходной сист-

емы, λ —любое целое число ($\lambda = 1, 2, \dots$). Выбор значения λ обуславливается необходимой точностью расчетов [3–5].

Таким образом, выражения для функций $P_1(x, s), W_1(x, s), \dots, P_i(x, s), W_i(x, s)$ в решетчатой форме при использовании теоремы свертывания [7] принимают вид:

$$W_1[n, \delta_1] = \left(\sum_{m=-1}^n \kappa_8[m] - \sum_{m=-2}^n \kappa_9[m] \right) P_{1u}[n-m] +$$

$$+ \left(\sum_{m=-3}^n \kappa_{10}[m] + \sum_{m=-4}^n \kappa_{11}[m] \right) W_{1k}[n-m] -$$

$$- \sum_{m=\tau_1 \lambda + 1}^n \kappa_1[m] W_1[n-m, \delta_1] - \sum_{m=0}^{n-1} W_1[m, \delta_1];$$

$$P_1[n, \delta_1] = \left(\sum_{m=-1}^n \kappa_2[m] + \sum_{m=-2}^n \kappa_3[m] \right) P_{1u}[n-m] -$$

$$- \left(\sum_{m=-3}^n \kappa_{44}[m] - \sum_{m=-4}^n \kappa_{46}[m] \right) W_{1k}[n-m] -$$

$$- \sum_{m=\tau_1 \lambda + 1}^n \kappa_1[m] P_1[n-m, \delta_1] - \sum_{m=0}^{n-1} P_1[m, \delta_1],$$

$$W_i[n, \delta_i] = \frac{b_1}{b_1} \left(\sum_{m=-\frac{1}{2}}^{\frac{n}{2}} \kappa_8^i[m] - \sum_{m=\frac{1}{2}}^{\frac{n}{2}} \kappa_9^i[m] \right) P_{i\mu}[n-m] +$$

$$+ \sum_{m=-\frac{1}{2}}^{\frac{n}{2}} \kappa_{10}^i[m] + \sum_{m=-\frac{1}{2}}^{\frac{n}{2}} \kappa_{11}^i[m] W_{ik}[n-m] - \\ - \sum_{m=-\frac{1}{2}+\lambda+1}^{\frac{n}{2}} \kappa_1^i[m] W_i[n-m, \delta_i] - \sum_{m=0}^{\frac{n}{2}} W_i[m, \delta_i];$$

$$P_i[n, \delta_i] = \left(\sum_{m=-\frac{1}{2}}^{\frac{n}{2}} \kappa_2^i[m] + \sum_{m=\frac{1}{2}}^{\frac{n}{2}} \kappa_3^i[m] \right) P_{i\mu}[n-m] - \\ - \frac{b_1}{b_1} \left(\sum_{m=-\frac{1}{2}}^{\frac{n}{2}} \kappa_{44}^i[m] - \sum_{m=\frac{1}{2}}^{\frac{n}{2}} \kappa_{66}^i[m] \right) W_{ik}[n-m] - \\ - \sum_{m=-\frac{1}{2}+\lambda+1}^{\frac{n}{2}} \kappa_1^i[m] P_i[n-m, \delta_i] - \sum_{m=0}^{\frac{n}{2}-1} P_i[m, \delta_i],$$

где $\delta_i = \frac{x}{2L_i}$, $\delta_i' = 1 \mp L_i \pm \bar{\delta}_i$ (4), $\bar{\delta}_i = \frac{x}{l_i}$, $L_i = \frac{L}{l_i}$,

$$\delta_i^k = 1 \mp \bar{\epsilon}_i \pm L_i$$
 (5).

$$\bar{L}_i = \frac{L_{i-1}}{l_i}, (i = 1, 2; \kappa = 3, 4);$$

$$\sigma_1 = r_1 \lambda \delta_i, \quad \sigma_2 = r_1 \lambda (1 - \delta_i), \quad \sigma_3 = 0.5 r_1 \lambda (1 - 2\delta_i),$$

$$\sigma_4 = 0.5 r_1 \lambda (1 + 2\delta_i), \quad \sigma_5 = 0.5 r_1 \lambda \delta_i, \quad \sigma_6 = 0.5 r_1 \lambda \delta_i^2, \quad \sigma_7 = 0.5 r_1 \lambda \delta_i^3,$$

$$\sigma_8 = 0.5 r_1 \lambda \delta_i^4, \quad r_i = \frac{\tau_i}{\tau}, \quad \kappa_{44}^i[n] = \kappa_4^i[n] + 2\eta_i \sum_{m=-\frac{1}{2}}^{\frac{n}{2}} \kappa_4^i[m],$$

$$\kappa_{66}^i[n] = \kappa_6^i[n] + 2\eta_i \sum_{m=-\frac{1}{2}}^{\frac{n}{2}} \kappa_6^i[m],$$

$$\kappa_c^i[n] = \begin{cases} 0 & \text{при } n < 0_c^i \\ e^{-\hat{\theta}_c^i} + \hat{\theta}_c^i \sum_{m=0_c^i+1}^{\frac{n}{2}} \frac{e^{\tau_i m} I_1(\eta_i \sqrt{m^2 - (\theta_c^i)^2})}{\sqrt{m^2 - (\theta_c^i)^2}} & \text{при } n > 0_c^i, \end{cases}$$

$$c = 1, 2, 3, 10, 11; \quad \hat{\theta}_1^i = L_i T_i, \quad \hat{\theta}_2^i = L_i T_i \delta_i, \quad \hat{\theta}_3^i = L_i T_i (1 - \delta_i),$$

$$\hat{\theta}_{10}^i = 0.5 L_i T_i (1 - 2\delta_i), \quad \hat{\theta}_{11}^i = 0.5 L_i T_i (1 + 2\delta_i), \quad \theta_1^i = r_1 \lambda, \quad \theta_2^i = r_1 \lambda \delta_i$$

$$\theta_3^i = r_1 \lambda (1 - \delta_i), \quad \theta_{10}^i = 0.5 r_1 \lambda (1 - 2\delta_i), \quad \theta_{11}^i = 0.5 r_1 \lambda (1 + 2\delta_i), \quad \eta_i = L_i \frac{T}{\lambda},$$

$$\kappa_d^i[n] = \begin{cases} 0 & \text{при } n < 0_d^i \\ e^{-\eta_i I_0} \left(\frac{\eta_i}{\eta_i \sqrt{n^2 - (\theta_d^i)^2}} \right) & \text{при } n > 0_d^i, \end{cases}$$

$$d = 4, 6, 8, 9; \quad \theta_4^i = 0.5 r_1 \lambda \delta_i^3, \quad \theta_6^i = 0.5 r_1 \lambda \delta_i, \quad \theta_8^i = r_1 \lambda \delta_i,$$

$$\theta_9^i = r_1^i \lambda (1 - \delta_i), \quad \kappa_t^i[n] = 2\eta_i \sum_{m=0_c^i}^n \kappa_k^i[m], \quad (t = 5, 7; \kappa = 4, 6)$$

$\kappa_c^i[n], \kappa_t^i[n], \kappa_k^i[n], \kappa_d^i[n]$ — оригиналы передаточных функций в решетчатой форме.

В систему уравнений (3) входят неизвестные функции $W_{ik}[n], P_{2\mu}[n], \dots, P_{i\mu}[n], W_{ik}[n]$. Определение их осуществляется на основе совместного решения выражений, полученных из системы (3) для начальных и конечных точек соответствующих участков.

Литература

- Коралев М. А.: Транспорт и хранение нефти и нефтепродуктов, № 8, стр. 18—19. ВНИИОЭНГ. М., 1978.
- Чарный И. А.: Неустановившееся движение реальной жидкости в трубах. „Недра”, 1976.
- Кадыров Я. Б., Листенгарден Б. А., Мамедов А. И.: „Изв. ВУЗов. Электромеханика”, № 6, стр. 72—73, 1976.
- Мамедов А. И., Аскерзаде А. И.: „За технический прогресс”. № 8, стр. 65—67, 1980.
- Кадыров Я. Б., Мамедов А. И., Алиев Н. Х.: „Изв. АН СССР. Энергетика и транспорт”. № 3, 1976.
- Мамедов А. И., Мусаев В. Г., Аскерзаде Б. А.: „Изв. ВУЗов. „Нефть и газ”, № 12, стр. 76—79, 1979.
- Цыпкин Я. З.: Теория линейных импульсных систем. Физматгиз. М., 1963.

АзПИ им. Ч. Ильдрыма

Поступило 11. XII 1981

Д. Б. Гадимов, А. И. Мамедов, Б. А. Эскерзаде, Р. М. Элиев

МАКИСТРАЛ НЕФТ МӘҮСУЛЛАРЫ КӘМӘРИНДЕ
НЕФТ МӘҮСУЛЛАРЫНЫҢ АРДЫЧЫЛ ВҮРУЛМАСЫ
ЗАМАНЫ БАШ ВЕРӘН КЕЧИД ПРОСЕСЛӘРИНИН
ЭДӘДИ ҺЕСАБЛАМА УСУЛУ

Мәғаләдә макистрал нефт мәңсуллары кәмәринде нефт мәңсулларының ардычыл вүрүлмасы заманы баш верән кечид просесләринин эдәди һесаблама усулу верилмишdir.

Ya. B. Cadimov, A. I. Mamedov, B. A. Asker-zadeh, R. M. Aliyev

NUMERICAL METHOD OF CALCULATION OF NONSTATIONARY PROCESSES IN MAIN PRODUCT CONDUCTORS WITH THE CONSEQUENT TRANSFER OF TWO OIL PRODUCTS

The numerical method of calculation of the transitional processes in main product conductors with the consequent transfer of two oil products is present in the work.

Ш. Т. БАБДЕВ, И. Н. ДОЛГОПОЛОВ, И. М. ЮСУФОВ, Г. К. МИХАЙЛОВ,
А. А. СТАРКОВ

ОБ ИСПОЛЬЗОВАНИИ ДИЭЛЕКТРИЧЕСКИХ ИЗМЕРЕНИЙ ДЛЯ КОНТРОЛЯ КАЧЕСТВА БЕТОНА

(Представлено академиком АН Азербайджанской ССР И. И. Ибрагимовым)

Известно [1], что диэлектрическая проницаемость позволяет производить контроль кинетики твердения бетона, оценивать прочность готовых изделий и др.

Значительный интерес представляет возможность определения несущей способности бетонных и железобетонных изделий по диэлектрическим измерениям.

Нами экспериментально установлено [2], что диэлектрическая проницаемость бетона под влиянием нагружения изменяется в широких пределах.

Обоснование установленных закономерностей, на наш взгляд, может быть осуществлено на основе анализа частотно-релаксационных характеристик ϵ и $\operatorname{tg} \delta$ твердеющего бетона (рис. 1), а также затвердевшего бетона при механическом нагружении (рис. 2). Полученные данные можно интерпретировать с точки зрения релаксационных явлений.

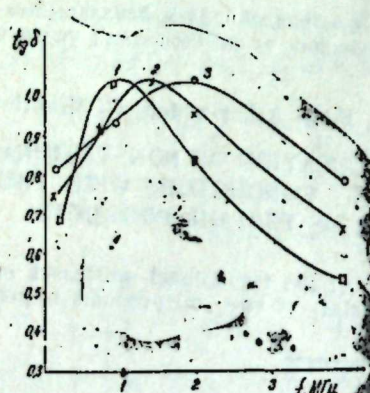


Рис. 1. Частотный ход $\operatorname{tg} \delta$ твердеющего бетона в возрасте: 1—1-3 суток; 2—3-14 суток; 3—14-28 суток.

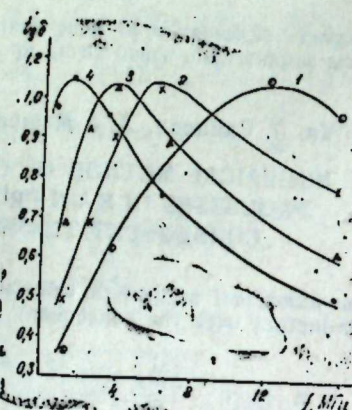


Рис. 2. Изменение $\operatorname{tg} \delta$ нагруженного бетона при нагрузках: 1—75; 2—150; 3—250 кГс/см².

Ионная или дипольная поляризация, происходящие вследствие движения слабосвязанных ионов в электрическом поле происходят за счет энергии теплового движения частиц. Поляризация имеет релаксационный характер и оказывает определяющее влияние на значение ϵ . Нами установлено, что при твердении бетона и по мере нагру-

жения затвердевшего бетона время релаксации поляризации изменяется, что подтверждается частотным ходом максимума $\operatorname{tg} \delta$ (рис. 1 и 2), соответствующим соотношению

$$\omega_p \tau = \sqrt{\frac{\epsilon_c}{\epsilon_{op}}},$$

где ω_p —угловая частота изменения электрического поля, на которой наблюдается максимум $\operatorname{tg} \delta$;

τ —время релаксации;

ϵ_{op} и ϵ_c —соответственно оптическая и статическая диэлектрические проницаемости.

Очевидно, что при твердении бетона, т. е. по мере набора прочности, время релаксации поляризации увеличивается (максимум смешается в область низких частот), а при постепенном механическом нагружении затвердевшего бетона время релаксации уменьшается.

С другой стороны, известно [3], что время релаксации зависит от энергии активации поляризации:

$$\tau = \tau_0 \exp \frac{U}{kT},$$

где τ_0 —постоянная ($\tau_0 = 10^{12} - 10^{-14}$ с);

U —энергия активации поляризации;

k —постоянная Больцмана;

T —абсолютная температура.

При анализе диэлектрических характеристик нагруженного бетона значение τ может быть определено по формуле

$$\tau = \tau_0 \exp \frac{U - \beta R_1}{kT},$$

где β —коэффициент, учитывающий степень механического нагружения;

R_1 —величина механического нагружения.

В таблице приведены значения энергии активации U для бетонов различных видов и коэффициента β при нагружении бетона до 30% от разрушающей нагрузки.

Вид бетона	Марка бетона, кгс/см ²	U , ккал/моль	$\tau \cdot 10^3$, с	β
Бетон тяжелый	500	8,2	5,8	0,46
Бетон тяжелый	300	8,2	4,6	0,71
Бетон песчаный	150	8,2	2,33	1,4
Гипсобетон	100	8,2	0,21	3,42
Бетонополимер	1000,0	9,0	—	0,06

Из таблицы видно, что для различных бетонов значения энергии активации отличаются незначительно, в то время как коэффициент β меняется в довольно широких пределах. Это позволяет полагать, что коэффициент β является показателем концентрации напряжений в теле бетона. Приложенная к бетону внешняя нагрузка вызывает напряжение в нем межатомных связей. При этом, за счет гетерогенности строения бетона внешняя нагрузка распределяется неравномерно по этим связям: возникают локальные перенапряжения. Именно в этих

местах наиболее интенсивно идут процессы термофлуктуационного разрыва напряженных связей, т. е. формируются очаги разрушения, приводящие к изменению коэффициента β .

Объективно существующая закономерность изменения в бетонов при их нагружении представляется важной, т. к. открывает новые возможности оценки нагружения материалов (изделий) и их прочностных характеристик неразрушающими методами.

Литература

1. Долгополов Н. Н., Ким Л. А., Михайлов Г. К., Старков А. А. ДАН СССР, т. 205, № 1, 1132, 1972. 2. Долгополов Н. Н., Иванов Г. С., Михайлов Г. К., Старков А. А. «Бетон и железобетон», № 8, 7, 1976. 3. Сканави Г. И. Физика диэлектриков (область слабых полей). М.—Л., 1948.]

АзИСИ

Поступило 24. XII 1979.

Ш. Т. Бабаев, Н. Н. Долгополов, И. М. Юсуфов,
Г. К. Михайлов, А. А. Старков

БЕТОННЫЙ ЦЕМЕНТНЫЙ НЕЗАРЭТДЭ ДИЕЛЕКТРИК ӨЛЧМЭЛЭРДЭН ИСТИФАДЭ ЕДИЛМЭСИ ҮАГГЫНДА

Мэгалэдэ бетон-полимерлэри тимсалында мүрэkkб мэсамэли нeterокен чисм-
лэрийн диэлектрик характеристикина кэрэ апарылмыш тэдгигатлар үаггында нээри
мулахицэлэр вэ онларын экспериментал иэтничэлэри шэрх ёдилдир. Мүрэkkб, кэркин
шэрантдэ белэ материалларын хассэлэри үаггында диэлектрик өлчмэлэрдэн истифадэ
етмэж јолу илэ, я'ни тезликли-релаксацион тэхниклэр васитасилю мүнхаким јүрүтмэний
мүмкүн олдугу көстэрлилр.

Sh. T. Babaev, N. N. Dolgopolov, I. M. Yusufov, G. K. Mikhailov,
A. A. Starkov

ABOUT EMPLOYMENT OF DIELECTRIC MEASURES FOR CHECKING OF QUALITY OF CONCRETE

The theoretical premises and experimental results of researches on dielectric characteristics of heterogeneous compound porous bodies basing on concrete polymer are stated.

The article shows the behaviour of a similar material in complex stressed conditions with the help of usage of dielectric measurements that are frequent relaxational analyses.

АЗЭРБАЙЧАН ССР ЕЛМЛЭР АКАДЕМИЯСЫНЫН МЭРҮЭЛЭРИ

ДОКЛАДЫ АКАДЕМИИ НАУК АЗЕРБАЙДЖАНСКОЙ ССР

ТОМ XXXVII ЧИЛД

№ 7

1981

УДК 546.71712-31:66—971

Ф. М. МУСТАФАЕВ, А. С. АББАСОВ, И. Я. АЛИЕВ

ТЕРМОДИНАМИЧЕСКОЕ ИССЛЕДОВАНИЕ СИСТЕМЫ Cu_2Se-Ag_2Se

(Представлено академиком АН Азербайджанской ССР Г. Б. Шахтахтинским)

Фазовое равновесие в системе Cu_2Se-Ag_2Se исследовалось в работах [1—4]. По данным [1], соединения Cu_2Se и Ag_2Se при взаимодействии в области высоких температур (973°K) образуют непрерывный ряд твердых растворов в интервале концентраций 33—35 мол. % Cu_2Se .

Авторы работы [2] при исследовании отметили, что в системе Cu_2Se-Ag_2Se эвтектический сплав соответствует составу 36 мол. % Cu_2Se с т. пл. 1028°K.

Соединение $CuAgSe$ образуется при 1033°K по перитектической реакции.

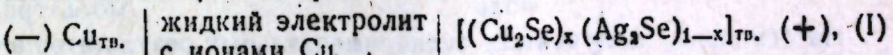
Измерение электропроводности сплавов в зависимости от состава подтвердило существование соединения $CuAgSe$ при содержании 50 мол. % Ag_2Se [2]. Электронные и ионные свойства кристаллов $CuAgSe$ исследовались в работах [3, 4].

Сведения о термодинамических свойствах указанной системы в литературе отсутствуют. Только лишь в работе [5] было измерено давление пара над сплавами системы Cu_2Se-Ag_2Se при 1098°K.

Целью настоящей работы являлось изучение термодинамических свойств твердых сплавов системы Cu_2Se-Ag_2Se методом э. д. с.

Нами были синтезированы соединения Cu_2Se , Ag_2Se , а также сплавы валового состава указанной системы. Синтез сплавов проводился сплавлением из элементов чистоты: Cu—99,99%; Ag—99,99%, Se—99,999% в эвакуированных и запаянных кварцевых ампулах. Ампулы со сплавами отжигались при 480°K в течение ~300 ч, а затем закаливались в воде.

В интервале температур 300—420°K измерялись э. д. с. электрохимических цепей (концентрационных относительно электродов) вида:



где X —мольная доля Cu_2Se в сплаве $[(Cu_2Se)_x (Ag_2Se)_{1-x}]$.

В качестве электролита был использован обезвоженный глицериновый раствор бромидов меди и калия ($CuBr$ —0,1 г, KBr —5 г).

Были изучены э. д. с. сплавов следующих составов: 35,00; 45,00; 48,00; 52,00; 65,00 и 75,00 мол. % Ag_2Se . Температурная зависимость э. д. с. элемента (I) со сплавами системы Cu_2Se-Ag_2Se представлена на рис. 1.

Экспериментальные данные э. д. с. изученных сплавов были обра-

ботаны методом наименьших квадратов [6]. Полученное уравнение зависимости э. д. с. от температуры следующее:

$$E = (0,029 + 0,767 \cdot 10^{-3} \cdot T) \pm 5 \cdot 10^{-3} \text{ в.}$$

Концентрационная зависимость э. д. с. сплавов при 373°К, представленная на рис. 2, подтверждает существование фазы CuAgSe в системе Cu₂Se—Ag₂Se.

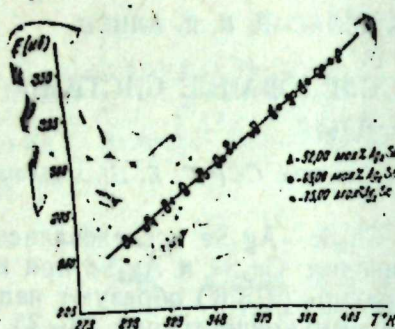


Рис. 1. Температурная зависимость эдс элемента (1) для сплавов системы Cu₂Se—Ag₂Se.

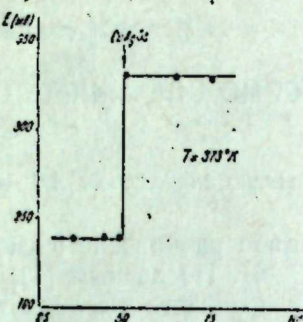


Рис. 2. Зависимость эдс от состава для сплавов системы Cu₂Se—Ag₂Se при 373°K

Использование термодинамических соотношений позволило нам определить стандартные значения термодинамических функций образования твердой фазы CuAgSe из мольных твердых компонентов (Cu₂Se и Ag₂Se):

$$\Delta H_{298}^{\circ} = (-0,6 \pm 0,2) \frac{\text{ккал}}{\text{моль}}; \quad \Delta S_{298}^{\circ} = (17,7 \pm 0,6) \frac{\text{кал}}{\text{моль} \cdot \text{град}};$$

$$\Delta C_{298}^{\circ} = (-7,0 \pm 0,1) \frac{\text{ккал}}{\text{моль}}$$

Мольные термодинамические функции образования CuAgSe из твердых элементов были рассчитаны путем использования термодинамических данных для Ag₂Se [7]. Нами также рассчитана стандартная энтропия CuAgSe.

Были получены следующие результаты:

$$\Delta H_{298}^{\circ} = (-5,4 \pm 0,4) \frac{\text{ккал}}{\text{моль}}; \quad \Delta S_{298}^{\circ} = (21,2 \pm 1,1) \frac{\text{кал}}{\text{моль} \cdot \text{град}};$$

$$\Delta G_{298}^{\circ} = (-12,8 \pm 0,2) \frac{\text{ккал}}{\text{моль}}; \quad S_{298}^{\circ} = (50,2 \pm 1,1) \frac{\text{кал}}{\text{моль} \cdot \text{град}}$$

На основании полученных экспериментальных результатов и справочных данных [8] по стандартной теплоте образования и энтропии Cu, Ag, Se в газообразном состоянии нами были рассчитаны стандартные значения термодинамических величин атомизации CuAgSe, которые приведены ниже:

$$\Delta H_{298}^{\text{ат}} = 68,3 \frac{\text{ккал}}{\text{г-атом}}; \quad \Delta S_{298}^{\text{ат}} = 34,1 \frac{\text{кал}}{\text{г-атом} \cdot \text{град}}$$

$$\Delta G_{298}^{\text{ат}} = 58,2 \frac{\text{ккал}}{\text{г-атом}}$$

Выводы

Впервые методом э. д. с. жидким электролитом проведено термодинамическое исследование системы Cu₂Se—Ag₂Se и подтверждено существование фазы CuAgSe. Определены энергия Гиббса, энталпия и энтропия образования твердой фазы CuAgSe.

Рассчитана абсолютная энтропия, а также термодинамические функции атомизации соединений CuAgSe.

Литература

1. Манделевич А. Ю., Крестовников А. Н., Глазов В. М. «Ж. физ. хим.», т. 43, № 12, 3067, 1969.
2. Агаев М. И., Алекперова Ш. М., Заргарова М. И. «ДАН Азерб. ССР», т. 27, № 6, 15, 1971.
3. Miyatani S. J. Phys. Soc. Japan, v 34, № 2, 423, 1973.
4. Finch A. J. et al. Z. Kristal., 168, 389, 1957.
5. Глазов В. М., Коренчук Н. М. Сб. «Химическая связь в кристаллах полупроводников и полуметаллов». «Наука и техника», Минск, 1973.
6. Налимов В. В. Применение математической статистики при анализе вещества. М., 1960.
7. Мустафаев Ф. М., Исмайлова Ф. И., Аббасов А. С. «Изв. АН ССР» серия «Неорг. мат-лы», т. 11, № 9, 1552, 1975.
8. Гуревич Л. В., Веденеев В. И. и др. Энергия разрыва химических связей. Потенциалы ионизации и средство к электрону. «Наука», М., 1974.

Институт физики

Поступило 28. V 1980

Ф. М. Мустафаев, А. С. Аббасов, И. Я. Элиев

Cu₂Se—Ag₂Se СИСТЕМИНИН ТЕРМОДИНАМИК ТӘДГИГИ

Илк дәфә олары E, I, Г-си методу илә Cu₂Se—Ag₂Se системи тәдгиг едилмиш вә бу системдө CuAgSe фазасының мөнчүлдүгү тәсдиғи олумышшур. CuAgSe фазасының стандарт термодинамик параметрләри: эмәләкәмә Күббес енержиси, енталпиясы ва энтропијасы тә'жин едилмишdir. CuAgSe күмәвни бирләшмәсінин стандарт мүтләг энтропијасы ва һөчминни атомлашма термодинамик функциялары несабланыштыр.

F. M. Mustafayev, A. S. Abbasov, I. Ya. Aliyev

THERMODYNAMIC STUDY OF Cu₂Se—Ag₂Se SYSTEM

The emf method is first used for thermodynamical study of the Cu₂Se—Ag₂Se system and for proving the presence of the CuAgSe phase. The Gibbs energy, enthalpy and entropy of the formation of CuAgSe phase have been determined. The absolute entropy and atomization functions of CuAgSe are also determined.

В. Г. КУЛИЕВА, Б. Д. АБДУЛЛАЕВ, Н. М. АРАКЕЛОВА

МЕХАНИЗМ РОСТА ЛИТИЙПОЛИИЗОПРЕНОВЫХ ЦЕПЕЙ
В СРЕДЕ МОНОМЕРА И КИНЕТИЧЕСКАЯ МОДЕЛЬ ПРОЦЕССА

(Представлено академиком АН Азербайджанской ССР Т. Н. Шахтахтинским)

Полимеризация изопрена в массе под действием литийорганических инициаторов не описывается кинетическими моделями простой равновесной ассоциации. Нами установлено, что в зависимости от концентрации исходного инициатора может меняться не только степень ассоциации (n), но и глубина ее (η_a), т. е. доля вступивших в ассоциацию Li-полимерных цепей [1]. Оба эти фактора существенно влияют на кинетику роста цепи, благодаря чему система характеризуется переменным порядком по инициатору [2,3].

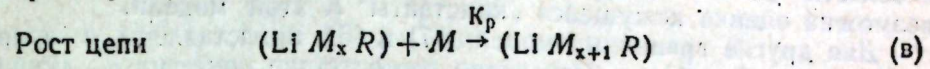
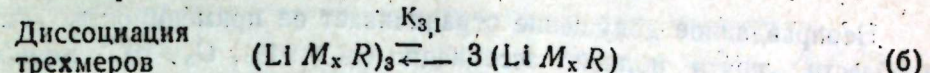
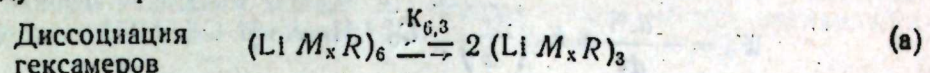
Настоящая работа посвящена моделированию кинетики полимеризации изопрена в массе, основываясь на ранее установленные нами физико-химические закономерности процесса [1—4].

Применение инициатора—олигоизопрениллития позволило характеризовать рост цепи без осложнения реакцией инициирования. Совпадение кинетической и вязкостной молекулярной масс полимера позволило сделать вывод об отсутствии стадии обрыва и передачи цепей, благодаря чему полученные полимеры характеризовались высокой степенью однородности. Этот результат свидетельствовал об участии в актах роста всех заданных в систему олигоизопрениллитиевых цепей. Вместе с тем было найдено, что порядок по инициатору не является первым [2], с кинетической точки зрения это означало лишь частичное участие инициатора в актах роста. Отсутствие первого порядка по инициатору принято объяснять наличием полимерных ассоциатов, находящихся в состоянии равновесия со свободными активными полимерными цепями [5]. Придерживаясь аналогичных взглядов, можно объяснить противоречие о полном или частичном участии инициатора в актах роста чрезвычайно подвижным равновесием свободных и ассоциированных цепей. Благодаря быстрому обмену за длительный период полимеризации все исходные цепи инициатора в равной мере успевают участвовать в актах роста, обусловливая однородность и совпадение кинетических и вязкостных ММ.

Было установлено также, что существуют три граничные области полимеризации изопрена в массе, характеризующиеся различным состоянием ассоциации растущих Li-полиизопреновых цепей [1]. При концентрациях ниже $0,06 \cdot 10^{-4}$ моль/л растущие цепи находятся в свободной форме. При концентрациях $(0,06 \div 0,75) \cdot 10^{-4}$ моль/л часть их переходит в трехмерные ассоциаты. Дальнейшее увеличение общей концентрации инициатора способствует усложнению агрегаций. В ре-

зультате, наряду со свободными формами существуют трех- и гексамерные ассоциаты. Наиболее вероятно образование последних по реакции димеризации.

Совокупность найденных закономерностей позволяет представить процесс роста Li-полиизопреновых цепей в среде мономера в виде следующей трехстадийной схемы:



Количественно эти закономерности определяются выражениями:

$$\text{Константа диссоциации} \quad K_{6,3} = \frac{[(\text{Li } M_x R)_3]^2}{[(\text{Li } M_x R)_6]} \quad (1)$$

$$\text{Константа диссоциации} \quad K_{3,1} = \frac{[\text{Li } M_x R]}{[(\text{Li } M_x R)_3]} \quad (2)$$

$$\text{Баланс лития} \quad C_0 = [\text{Li } M_x R] + 3 [(\text{Li } M_x R)_3] + 6 [(\text{Li } M_x R)_6] \quad (3)$$

$$\text{Кинетика роста цепи} \quad W_p = - \frac{dM}{dt} = K_p \cdot M \cdot [\text{Li } M_x R] \quad (4)$$

Обозначения

W_p —скорость роста цепи, моль/л. мин;

τ —продолжительность полимеризации, мин;

M —концентрация мономера в данный момент, моль/л;

C_0 —исходная концентрация инициатора, моль/л;

K_p —константа элементарной стадии роста, л. моль. мин;

$-dM/M dt = \text{tg } \tau$ —удельная скорость роста цепи, мин⁻¹.

Совместное решение системы (1—4) приводит к следующей неявной зависимости скорости роста цепи от концентраций реагирующих веществ с учетом влияния параметров ассоциации;

$$C_0 = \frac{W_p}{MK_p} + \frac{3}{K_{3,1}} \left(\frac{W_p}{MK_p} \right)^3 + \frac{6}{K_{3,1}^2 K_{6,3}} \left(\frac{W_p}{MK_p} \right)^6 \quad (5)$$

Найденные закономерности для полимеризации изопрена в массе оказались в полном соответствии с кинетической схемой полимеризации этого мономера в среде гептана [6]. В связи с этим полученные теоретическим путем модели для обоих случаев идентичны по своей структуре, являя собой общность кинетического механизма полимеризации изопрена как в среде гептана, так и в среде самого мономера. Различие заключается лишь в численном значении констант.

Придавая важное значение доказательству адекватности кинетического механизма, экспериментальным данным, рассмотрим несколько независимых вариантов оценки константы K_p .

Выражения (3) и (5) по сути своей представляют баланс лития в свободных и ассоциированных цепях, а потому включают все граничные области ассоциативных состояний. Из этих выражений могут быть

получены частные модели [6], полагая равным нулю первые, либо другие соответственные сочетания членов выражения (5).

Пренебрегая первым и третьим членами, получим общезвестную для Li-инициированной полимеризации модель простой равновесной ассоциации [7]:

$$W_p = -\frac{dM}{dt} = K_p \left(\frac{K_n}{n} \right)^{\frac{1}{n}} \cdot C_0^{\frac{1}{n}} \cdot M = K \cdot M \cdot C_0^{\frac{1}{n}} \quad (6)$$

Неоправданное допущение ограничивает ее применимость. Лишь в области "почти полной" ассоциации ($\eta_a > 94\%$, $C_0 = 10^{-1}$ моль/л) возможна оценка кажущейся "константы" K этой модели.

Две другие граничные модели (7) и (8) представлены в приводимой сводной таблице. Найденное соответствие констант K_p лучшим образом свидетельствует о едином механизме роста цепей на свобод-

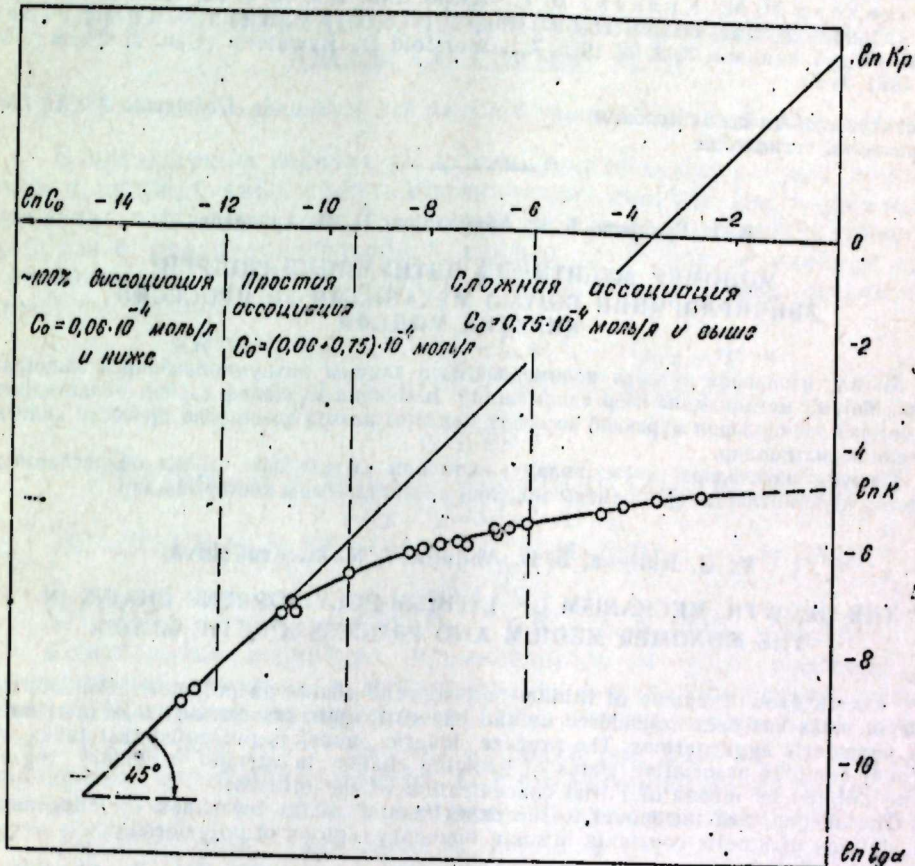
Независимая оценка констант по кинетическим данным в граничных областях. Полимеризация изопрена в массе

Эксперимент	$C_0 \cdot 10^4$	$\frac{W_p}{M} \cdot \lg \alpha$ (10 ⁻¹)	Найдено (МНК)			$\epsilon^*, \%$
			Кинетическая модель	K_p	$K_{3n1} \cdot 10^{10}$	
Область полной диссоциации ассоциатов ($n=1$, $\eta_a=0\%$)						
0,03	1,10	$\lg \alpha = K_p \cdot C_0$ (7)	37,21	—	—	0
0,04	1,51					0,66
Область простых ассоциатов ($n=3$, $\eta_a>50\%$)						
0,21	6,44	$\frac{C_0}{(\lg \alpha)^3} = \frac{3}{K_p^3 \cdot K_{3n1}}$	35,67	57	—	0,62
0,25	7,46					3,49
0,26	7,32	$\frac{1}{K_p} \cdot \frac{\lg \alpha}{(\lg \alpha)^3}$ (8)				-1,09
0,74	14,35					4,53
Область смешанных ассоциатов ($n=3$, $m=6$, $\eta_a>50\%$)						
2,49	19,99		38,30	41	0,30	-7,55
3,02	22,66					-0,62
4,43	24,57					-2,97
6,24	25,16					-9,30
6,58	24,79					-12,65
12,60	32,46					0,49
13,07	30,28	Mодель (5)				-7,33
16,45	32,30					-5,57
21,98	37,16					-2,58
102,20	44,93					-7,72
156,12	56,94					8,32
307,03	56,68					-0,20
719,80	67,53					-0,99
Все граничные области $\eta_a=0-99,75\%$						
$10^{-6}-10^{-1}$	—	$\lg \alpha = K_p \cdot [LIM_x R]$ (4) или модель (5)	37,20	50	0,35	$\pm 4,25$

* По корреляционно-связанным константам (модель 5).

ных активных центрах, независимо от промежуточных ассоциативных состояний и возможных переходов между ними.

В отличие от частных моделей общее выражение (5) позволило вычислить корреляционно-связанные значения константы роста и констант диссоциации. Используя весь массив экспериментальных данных в пределах $C_0 = 10^{-6} \div 10^{-1}$ моль/л, такие константы были найдены численным решением модели (5) с применением метода наименьших квадратов (МНК) и средств ЭВМ (см. таблицу).



Зависимость удельной скорости роста цепи от общей концентрации активных центров роста цепи от общей концентрации активных центров роста при полимеризации изопрена в массе. Границные области полимеризации

На рисунке показана теоретическая кривая скорости, характеризующая все граничные области. Расхождение расчетных и экспериментальных данных (3) составляет в среднем по всему массиву $\pm 4,25\%$.

Выводы

- Представлена кинетическая модель полимеризации изопрена в массе под действием олигоизопрениллития, учитывающая сложные ассоциативные состояния растущих цепей в различных граничных областях, определяемых исходной концентрацией инициатора.

2. Показана адекватность модели экспериментальным данным независимыми расчетами кинетических констант в нескольких граничных областях полимеризации.

Литература

1. Куллиева В. Г., Абдуллаев Б. Д., Аракелова Н. М. «Азерб. хим. ж.», № 6, 57, 1980.
2. Абдуллаев Б. Д., Аракелова Н. М., Куллиева В. Г. «Азерб. хим. ж.», № 1, 42, 1980.
3. Куллиева В. Г., Аракелова Н. М., Абдуллаев Б. Д., Ибрагимова Э. А. «Азерб. хим. ж.», № 3, 22, 1978.
4. Абдуллаев Б. Д., Аракелова Н. М., Куллиева В. Г. «Азерб. хим. ж.», № 4, 84, 1978.
5. Шварц М. Анионная полимеризация. Изд-во «Мир», 1971.
6. Куллиева В. Г., Мирзоян Н. М. «Азерб. хим. ж.», № 2, 20, 1975.
7. Worsfold D., Bywaters. Can. J. Chem., 38, 10, 1891, 1960.

Институт теоретических проблем
химической технологии

Поступило 28. XI 1980

В. Г. Гулиева, Б. Ч. Абдуллаев, Н. М. Аракелова

МОНОМЕР МҮНДИНДƏ ЛИТИУМПОЛИИЗОПРЕН ЗӘНЧИРЛӘРИНИН БӘЙҮМӘ МЕХАНИЗМИ ВӘ ПРОСЕСИН КИНЕТИК МОДЕЛИ

Мәгала изопренин күтләдә полимерләшмәси заманы литиумполиизопрен зәнчирләринин бәйүмә механизминаң һәсәр едилмишdir. Ыэмчинин мұхтәлиф сәрәд областларында бәйүjен зәнчирләрин мүреккәб ассоциат һаллары нәзәрә алымагла просесин кинетик модели верилмишdir.

Тәчрубы нәтичәләрә әсасен полимерләшмәсин мұхтәлиф сәрәд областларында кинетик константларын еңи олмасы моделин адекватлығыны көstәрмишdir.

V. G. Kulieva, B. D. Abdullaev, N. M. Arakelova

THE GROWTH MECHANISM OF LITHIUM-POLYISOPRENE CHAINS IN THE MONOMER MEDIUM AND PROCESS KINETIC MODEL

Kinetic growth scheme of lithium-polyisoprene chains on polymerization of isoprene in mass has been considered on the basis of their association ideas in trimeric and hexameric aggregations. The process kinetic model is presented that takes into account complex associative states of growing chains in various boundary regions being defined by means of initial concentration of the initiator.

The adequacy of the model to the experimental data by means of independent calculations of kinetic constants in some boundary regions of polymerization is shown.

АЗЭРБАЙЧАН ССР ЕЛМЛӘР АКАДЕМИЈАСЫНЫН МӘРУЗӘЛӘРИ

ДОКЛАДЫ АКАДЕМИИ НАУК АЗЕРБАЙДЖАНСКОЙ ССР

ТОМ XXXVII ЧИЛД

№ 7

1981

УДК 547.245

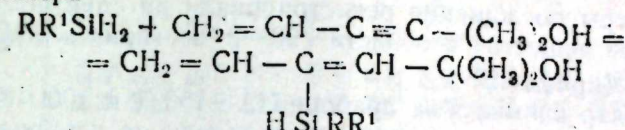
ОРГАНИЧЕСКАЯ ХИМИЯ

С. И. САДЫХ-ЗАДЕ, Р. М. МУСТАФАЕВ, Л. Г. КУЛИЕВА

ГИДРОСИЛСОДЕРЖАЩИЕ КРЕМНИЙОРГАНИЧЕСКИЕ ДИЕНЫ СО СВЯЗЬЮ Si—H

(Представлено академиком АН Азербайджанской ССР С. Д. Мехтиевым)

В предыдущих работах [1, 2] нами описан метод синтеза предельных и непредельных кремнийорганических спиртов. Настоящее исследование посвящено синтезу диенсодержащих кремнийорганических спиртов с реакционноспособной связью Si—H присоединением диорганосилианов к диметилвинилацетилкарбинолу в присутствии катализатора Спайера



R = CH₃, R' = C₆H₅ (I), CH₂C₆H₅ (II), CH₂CH₂C₆H₅ (III),
CH₂CH₂CH₂C₆H₅ (IV),

CH₂CH(CH₃)C₆H₅ (V), C₆H₁₃ (VI), C₇H₁₅ (VII), i-C₇H₁₅ (VIII),
C₈H₁₇ (IX),

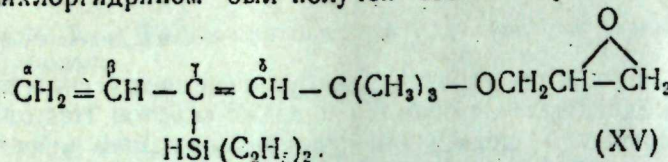
CH₂Cl (X), CH₂CH₂CH₂Cl (XI), R = R' = C₂H₅ (XII), C₆H₅ (XIII).

Приведенная структура кремнеспиртов (I—XIII) подтверждена физическими методами и изучением некоторых химических свойств. Так, в ИК-спектре кремнеспирта (XII, чистота которого по данным ГЖХ, составляла 98,9%, имеется широкий пик 3415 cm⁻¹, присущий валентным колебаниям группы OH с межмолекулярной водородной связью [3], а также полосы сопряженной диеновой связи 1610 и 1570 cm⁻¹ [4], а частоты, характеризующие связь C≡C, в спектре отсутствовали. В ИК-спектре соединения (XII) имеются частоты 2300—2100 cm⁻¹, которые используются для идентификации связи C≡C [4], однако интенсивный пик при 2120 cm⁻¹ в спектре кремнеспирта (XII) не может быть отнесен к ацетilenовой связи в силу наличия в молекуле связи Si—H, абсорбционная полоса которой также проявляется в указанной области. Показано, что присоединение аллилацитата к соединению (XII) приводит к исчезновению частоты 2120 cm⁻¹ в спектре полученного соединения (XIV), в котором появляется частота 1740 cm⁻¹, обусловленная колебанием C—O в фрагменте OCOC₂H₅ [3, 4].

В спектре ЯМР соединения (I—VII—VIII) имеются характерные сигналы для β (CH) протона в области 5,96 м. д.; сигналы δ (CH) протона в области 7,18 м. д.; винильные протоны γ (CH₂) при 5,25

м. д.; сигналы протонов гем-диметильной группы проявляются в об. области 1,38 м. д.; сигналы OH группы при 2,52 м. д. Протоны радикала C_7H_{15} проявляются в области 3,4—3,62 м. д. Из ЯМР-спектра видно, что атом Si связан с γ -углеродным атомом, т. к. протоны β и δ атомов углерода резко отличаются друг от друга. Следовательно, в принятых нами условиях реакция диораносилианов с диметилвинилацетиленилкарбонолом протекает по ацетиленовой связи с образованием гидроксилсодержащих кремнийорганических диенов с реакционноспособной связью Si—H, выход которых достигает 55%.

Полученные кремнеспирты оказались весьма реакционноспособными соединениями, в частности, при взаимодействии кремнеспирта (XII) с эпихлоргидрином был получен соответствующий эпоксилиан



ЭКСПЕРИМЕНТАЛЬНАЯ ЧАСТЬ

ИК-спектры поглощения регистрировали на спектрометре IR-20, в тонком слое вещества в области 700—2400 (призма NaCl) и 2400—3600 cm^{-1} (призма LF).

ЯМР-спектр снимался на приборе НА-100Д в 100 мгг, в 5%-ном р-ре CCl_4 . Хроматографирование осуществляли на приборе ЛХМ-8МД, карбовакс-600, температура колонки—170°, газа-носитель—гелий, скорость газа—50 мл/мин.

5,5-диметил-5-окси-3-(метилфенилсилан) пентадиен-1,3 (I). К 16,5 г свежеперегнанного диметилвинилацетиленилкарбонола, 50 мл безводного бензола, содержащего 0,05 мл раствора платинохлористоводородной кислоты в изопропиловом спирте при 80° и интенсивном перемешивании медленно приливают 18,3 г метилфенилсилана и кипятят 12 ч. После отгонки растворителя и не вошедших в реакцию компонентов из остатка вакуумной фракционированной перегонкой выделяют 13,9 г кремнеспирта (I), выход—40%, т. кип. 109—110° (0,5 мм), n_D^{20} 1,5425, d_4^{20} 0,9744, M_F 75,13, выч. 74,12, найд., %: C 72,22; 72,51; H 8,79; 8,51; Si 12,30; 12,42; $C_{14}H_{20}OSi$. Выч., %: C 72,35; H 8,68; Si 12,08.

Аналогичным способом получены соединения (II—XIII), свойства которых приведены в таблице*.

Взаимодействие кремнеспирта (XII) с аллилацетатом. Смесь, состоящую из 19,8 г свежеперегнанного соединения (XII), 40 мл безводного бензола, 15 г аллилацетата и 0,05 мл раствора платинохлористоводородной кислоты в изопропиловом спирте, кипятят 36 ч в колбе с обратным холодильником. После отгонки растворителя и избытка аллилацетата из остатка вакуумной перегонкой выделяют 18,5 г кремнеацетата (XIV), выход—64%, т. кип. 133—139° (0,5 мм), n_D^{20} 1,4830, d_4^{20} 0,9602, M_F , 88,78, выч. 87,98. Найд., %: C 64,29; 64,53; H 9,91; 9,22; Si 9,26; 9,48; $C_{16}H_{30}O_3Si$. Выч., %: C 64,37; H 10,13; Si 9,41.

* Во всех случаях одновременно с продуктами моноприсоединения образуются и продукты диприсоединения, выделение которых не проводили вследствие высокой температуры кипения.

№ соединения	Т. кип. (р 0,5 мм)	n_D^{20}	d_4^{20}	MRD	Найдено, %			Формула	Вычислено, %		
					найдено	вычислено	С		С	Н	Si
II	11—119	1,5400	0,9692	79,78	78,93	73,29	8,88 8,99	$C_{15}H_{22}OSi$	73,10	9,00	11,39
III	129—130	1,5360	0,9669	83,99	83,17	73,57 73,81	9,09 9,21	$C_{16}H_{21}OSi$	73,78	9,28	10,78
IV	140—141	1,5290	0,9543	88,70	87,80	74,21	9,62 9,41	$C_{17}H_{23}OSi$	74,39	9,58	10,23
V	137—13	1,5320	0,9588	88,71	87,80	74,49	9,33 9,59	$C_{17}H_{23}OSi$	—	9,58	10,23
VI	102—103	1,4765	0,8671	78,29	77,45	70,21 70,36	11,66 11,87	$C_{14}H_{23}OSi$	69,93	11,74	11,68
VII	112—113	1,4790	0,8701	82,95	82,08	70,71 70,58	11,62 11,79	$C_{15}H_{30}OSi$	70,79	11,88	11,03
VIII	110—111	1,4800	0,8719	82,92	82,08	70,58 70,67	12,01 12,12	$C_{15}H_{30}OSi$	70,79	11,88	11,03
IX	121—122	1,4790	0,8692	87,61	86,71	71,34 71,59	11,76 11,89	$C_{16}H_{32}OSi$	71,57	12,01	10,46
X	93—94	1,5037	1,0126	59,87	59,14	52,52 52,69	8,42 8,58	$C_9H_{17}OSi$	52,77	8,37	13,70
XI	107—108	1,4985	0,9914	68,94	68,40	56,96 56,79	8,96 9,16	$C_{11}H_{21}OSi$	56,73	9,09	12,06
XII	72—73	1,4860	0,8528	64,51	63,32	66,76 66,87	11,27 11,36	$C_{11}H_{23}OSi$	66,59	11,17	14,15
XIII	159—161	1,5830	1,0304	95,53	93,94	77,67 77,77	7,39 7,58	$C_{10}H_{22}OSi$	77,50	7,53	9,54

Взаимодействие кремнеспирта (XII) с эпихлоргидрином. В круглодонную колбу, снабженную обратным холодильником, термометров и капельной воронкой, помещают 39,6 г свеженерегиранного кремнеспирта (XII) и 0,01 мл эфирата трехфтористого бора. Содержимое колбы охлаждают до 5° и при перемешивании медленно приливают 9,2 г эпихлоргидрина. На следующий день отгоняют избыток кремнеспирта (XII) и из остатка выделяют 12,7 г соответствующего хлоргидрина с т. кип. 141°–143° (0,5 мм), к эфирному раствору которого порциями добавляют 1,8 г металлического натрия и смесь перемешивают 24 ч при комнатной температуре. Образовавшуюся соль отфильтровывают, отгоняют растворитель и вакуумной перегонкой выделяют 6,3 г эпоксисилана (XV), выход—55%, т. кип. 90–91° (0,5 мм), n_D^{20} 1,4829, d_4^{20} 0,9417, M_R 77,47, выч. 77,07. Найд., %: С 66,23; 66,41; Н 10,18; 10,32; Si 10,87; 10,69, $C_{14}H_{26}O_2Si$. Выч., %: С 66,09; Н 10,03; Si 11,04.

Выводы

1. Разработан метод синтеза гидроксилсодержащих кремнийорганических диенов со связью Si—Н, основанный на реакции присоединения диоргансиланов к диметилвнилацетилкарбинолу в присутствии пластинохлористоводородной кислоты.
2. Показано, что в гидроксилсодержащих кремнийорганических диенах как Si—Н связь, так и OH группа обладают высокой реакционной способностью и легко вступают во взаимодействие с аллилacetатом и эпихлоргидрином с образованием соответствующих производных кремния.

Литература

1. Садыхзаде С. И., Ноздрина Л. В., Петров А. Д. «ДАН СССР», 118, 723, 1958. 2. Петров А. Д., Садыхзаде С. И. «ДАН СССР», 129, 584, 1959.
3. Беллами Л. Новые данные по ИК-спектрам сложных молекул. ИЛ., 1971.
4. Казицина Л. А., Куплетская Н. Б. Применение УФ-, ИК- и ЯМР-спектроскопии в органической химии. «Высшая школа». М., 1971.
5. Петров А. Д., Милюков В. Ф., Пономаренко В. А., Чернышев Е. А. Синтез кремнийорганических мономеров. Изд. АН СССР. М., 1961.

Кировабадский педагогический институт
им. Г. Зардаби

Поступило 20. XII 1980

С. И. Садыхзаде, Р. М. Мустафаев, Л. Г. Гулиева

ТЭРКИБИНДЭ ҲИДРОҚСИЛ ГРУПУ САХЛАЈАН Si—Н РАБИТӘЛИ СИЛИСИУМ ҮЗВИ ДИЕНЛӘР

Мәгалә тәркибиндә һидроксил группу сахлајан Si—Н рабитәли силисиум үзи диенләрин синтезинең һәсер олуимушдур.

Мүэjjән олуимушдур ки, көстәрилән бирләшмәләрин тәркибиндә олан һидроксил группу спихлоридринасләчә дә Si—Н рабитәсендәкى һидрокен атому асанлыгыла аллиласетата бирләшәрәк өңләриң уйғын торәмәләрини эмәлә кәтирир.

S. I. Sadikh-zade, R. M. Mustafaev, L. G. Kulieva

HYDROXYL-BEARING ORGANOSILICON DIENES WITH THE Si—H BOND

The method of the synthesis of the hydroxyl-bearing organosilicon dienes with the Si—H bond based on the reaction of the addition of the diorganosilanes to the dimethylvinylacetylenecarbinol in the presence of platinumhydrochloric acid is worked out.

It is shown that in the hydroxyl-bearing organosilicon dienes both the Si—H bond and the OH-group possess high reactivity and easily enter the interaction with allylacetate and epichlorhydrin with the formation of the derivatives of the silicon.

Д. Д. МАЗАНОВ

ГЕОЛОГИЯ

**К ВОПРОСУ О МЕТОДИКЕ СОСТАВЛЕНИЯ
МЕТАЛЛОГЕНИЧЕСКОЙ КАРТЫ ЮЖНОГО СКЛОНА
БОЛЬШОГО КАВКАЗА И ПЕРСПЕКТИВАХ ОБНАРУЖЕНИЯ
В ПРЕДЕЛАХ ВОСТОЧНОГО КАВКАЗА
НОВЫХ РУДНЫХ ФОРМАЦИЙ**

(Представлено академиком АН Азербайджанской ССР А. Д. Султановым)

В настоящее время в Советском Союзе и за рубежом металлогенические карты составляются с разделением месторождений по видам минерального сырья, возрасту и генетическим (морфогенетическим) типам, на которых выделяются также площади, перспективные для поисков.

Металлогенические карты отражают познанные месторождения металлов Земной коры и их естественные сочетания, т. е. металлогенические месторождения и металлогенические зоны разных составов. Они разделяются на две категории: карты полезных ископаемых и собственно металлогенические. Карты полезных ископаемых отражают виды сырья и размеры месторождений (на геологической основе), а металлогенические, кроме состава и размера, отражают историю формирования месторождения в тесной связи с тектоникой, осадконакоплением, магматизмом и метаморфизмом. Они заключают теоретические элементы, относящиеся, например, к типизации и классификации месторождений металлов и металлогенических зон, к трактовкам стадии и различным эпохам их образования, т. е. отделение месторождений геосинклинальной стадии от орогенной, подразделение на рудные формации, генетические типы и т. д.

Отражая фактическое распространение и генетическую связь месторождений с конкретными элементами геологической структуры металлогенические карты служат сдерживающим фактором при построении особо умозрительных металлогенических гипотез.

В соответствии со сказанным, металлогеническое изучение Тфанскои структурно-формационной зоны следует проводить с учетом уже выявленных региональных факторов контроля оруденения и региональной, а также локальной зональности путем построения прогнозно-металлогенической карты крупного масштаба и карт поисковых признаков. Следует также произвести изучение локальных факторов контроля и зональности в пределах известных месторождений путем применения минералого-геохимических, геофизических и других современных методов.

Таким образом, металлогеническая карта прежде всего должна раскрывать генетическую связь месторождений минерального сырья с элементами геологической структуры.

В течение последних десятилетий, вплоть до 80-х годов, выполнена большая работа по составлению среднемасштабных металлогенических карт. Следовательно, в ближайшие годы нет никакой необходимости в составлении новой металлогенической карты Азербайджана в масштабе 1:500 000. Это было бы шагом назад, пустая траты времени и средств. Вообще такого типа карты (1:500 000) для территории Азербайджана являются пройденным этапом.

Принятый масштаб «новой» металлогенической карты Азербайджана — 1:500 000, т. е. она составлена в таком масштабе, в котором месторождения не видны.

Например, действительное распространение в Закавказье колчеданно-полиметаллического месторождения Филизчай едва достигает 1,2 км, как по падению, так и по простианию. При строгом соблюдении масштаба металлогенической карты — 1:500 000 — с размерами месторождений минерального сырья, последнее должно обозначаться в виде жирной точки с диаметром в 2 мм. Рудное тело Филизчая по разрезу и в пространстве характеризуется зональным распространением полезных компонентов Cu, Pb, Zn и сопутствующих им элементов, примесей Co, Bi, Se, Cd и др. Что же контролирует пространственное положение перечисленных элементов? На основании 1:500 000 металлогенической карты ответить на этот вопрос невозможно. То же самое можно сказать в отношении других колчеданных, колчеданно-полиметаллических, железо-марганцевых, молибденовых, ртутных, хромитовых и других месторождений Азербайджана.

Поэтому трудно оценить научно-практическое значение такой карты для публикации и вряд ли она принесет пользу в деле изучения сложных проблем геологии и металлогении Азербайджана.

По этой причине составление подобного рода карт, как не отвечающее запросам практики, надобно приостановить, и с целью увеличения полезной геологической информации приступить к построению крупномасштабных карт вплоть до рудных районов, полей и месторождений.

Металлогеническая карта южного склона Большого Кавказа с нашей точки зрения должна быть составлена на рудноинформационной основе с учетом литолого-петрографического состава рудосодержащих пород. Под рудной формацией мы понимаем весь комплекс месторождений и проявлений, связанных с определенной осадочной или магматической формацией, в данном случае с глинисто-сланцевой нижнеюрской формацией.

В пределах Азербайджана известны многочисленные примеры связи (или постоянство совместного нахождения) металлов с определенными формациями.

1. Марганцевые оруденения в вулканогенно-кремнистых формациях (например, Молладжалинское и Эльворское месторождение марганцевых руд в Ханларском районе Малого Кавказа);
 2. Свинцово-цинковое оруденение в карбонатных формациях (Гюмшлугское месторождение в Нах. АССР);
 3. Бокситы в карбонатных формациях Нах. АССР;
 4. Соли в глинистых формациях олигоцена и миоцена в Нах. АССР;
 5. Проявления фосфоритов в песчано-глинисто-сланцевой формации девона в Нах. АССР;
 6. Колчеданно-полиметаллические руды в глинисто-сланцевой и вулканогенно-осадочной формациях Большого и Малого Кавказа и т. д.
- При составлении металлогенической карты Азербайджана на рудно-

формационной основе должны быть учтены отмеченные закономерности в распределении оруденения. Особое внимание в связи с этим следует обратить на литолого-петрографический состав рудосодержащих отложений и критерии рудной формации.

Как показывает анализ имеющегося фактического материала для колчеданных, медно-колчеданных, колчеданно-полиметаллических и полиметаллических месторождений Азербайджана характерен ряд Fe—Cu—Zn—Pb. В одних месторождениях проявляются начальные ряды (Чирагидзорское, Тоганиалинское, Чирагидзор-Токаниалинское, Кедабекское, Гюльяташское, Эльбекташское месторождение и проявления Малого Кавказа), т. е. они отличаются активностью определенного элемента (Fe и Cu). Руды всех перечисленных месторождений в основном представлены пиритом, лишь в районе Кедабекской группы месторождений, Старого штока Чирагидзорского месторождения и в районе Эльбекташского проявления отмечаются Cu, Zn и редко Pb. Таким образом, для колчеданных и медно-колчеданных месторождений Малого Кавказа устанавливается следующий ряд — Fe—Cu (Zn; Pb). В этих месторождениях роль Pb и Zn резко подавлена. Для некоторых медно-колчеданных месторождений характерно присутствие Mo (Хархарское месторождение).

В других полиметаллических месторождениях Малого Кавказа (Мехманинское, Човдарское) и Ордубадского рудного района (Гюмушлугское) проявляются средние ряды, т. е. активными являются Zn и Pb. В названных месторождениях рудные минералы представлены, главным образом, галенитом и сфалеритом. Сульфиды Fe и Cu имеют резко подчиненное значение. В этой группе месторождений (Мехманинское, Гюмушлугское) выделяются свинцовые, цинковые и свинцово-цинковые руды, сопутствующими компонентами являются Cd, Se, Te. Для полиметаллических месторождений Малого Кавказа и Ордубадского района характерен следующий ряд рудогенных элементов: Zn—Pb (Fe, Cu, Cd, Se, Te).

Колчеданно-полиметаллические месторождения Ордубадского рудного района (Агдаринское) и южного склона Большого Кавказа (Филизчайское, Кацлагское, Катехское и др.), а также южного Дагестана (Кизил-Дерейское и др.) характеризуются полным набором рудогенных элементов отмеченного выше ряда. Намечаются разновидности ряда по сопутствующим элементам. Совместно с железом (пирит, пирротин, магнетит) в месторождениях Восточного Кавказа иногда присутствуют Co, Sn, Bi, Cd и др. Для колчеданно-полиметаллических месторождений Азербайджана обычным является ряд Fe—Cu—Zn—Pb, Co, Sn, Bi. Таким образом начальные элементы этого ряда наиболее полно проявлены в стратиформных месторождениях (Агдаринское и Филизчайское) с прямой вертикальной зональностью вкрест первичного напластования от Fe к Cu, Zn, Pb). Средние и конечные элементы преимущественно локализуются среди несогласных рудных тел (Филизчай, Кизил-Дере).

Геологические предпосылки и геохимические данные свидетельствуют о перспективах обнаружения в пределах Восточного Кавказа, новых для данного региона, рудных формаций в черно-сланцевых, богатых органикой метаморфизованных толщах.

Крупной областью распространения глинистых сланцев с медью и кобальтом является приводораздельная подзона (или подзона ядра), обособляющаяся в самостоятельную металлогеническую зону, в пред-

лах которой большой интерес представляют пирит-пирротиновые залежи с медью, полиметаллами и кобальтовая рудная формация (месторождение Серное в Южном Дагестане). Мы, например, не совсем хорошо знаем судьбу золота в гидросфере. В морской воде пять миллиардных долей процента ($5 \cdot 10^{-9}$) золота, т. е. в одном кубическом километре морской воды до 5 т золота. Наша задача — найти, куда исчезло золото Большого юрского, моря или юрской геосинклиналии Большого Кавказа, оставившей после себя грандиозные толщи песчано-глинистых и карбонатных образований. Большая часть золота находится в рассеянном состоянии и, поэтому, можно рассчитывать на его концентрацию в богатых органикой черносланцевых толщах. Таким образом, в отношении золотого оруденения чрезвычайно важный интерес представляют пачки сланцев, пронизанных кварц-халькопиритовыми прожилками. Именно этот тип минерализации нередко является промышленно золотопосынным.

Металлогеническая карта — информационный документ. Поэтому должна оказать существенную помощь тому, для кого в первую очередь предназначается. Она должна оказаться полезной для деятелей, ответственных за выработку прогноза на различные виды полезных ископаемых, в частности, металлических ископаемых, т. е. критерием качества металлогенической карты, так же, как и других видов геологической информации является точность, детальность и достоверность.

Современные металлогенические карты должны отражать высокий уровень изученности территории и содержать следующие сведения:

- 1) генетическую связь месторождения минерального сырья с геологической структурой, т. е. региональные и локальные факторы, определяющие пространственную локализацию оруденения; палеотектонический и структурно-тектонический анализ и пространственную связь орудиющую позицию оруденения;
- 2) литолого-фацальный анализ, характер пространственных соотношений оруденения с вмещающими его отложениями, т. е. палеогеографическую позицию рудных скоплений;
- 3) морфологию и размер (пластиовая залежь, линзы, штоки или прожилки, россыпи и т. д.);
- 4) минеральный и химический составы, текстурно-структурные особенности руд и рудовмещающих отложений, последовательность формирования рудных скоплений и вмещающих пород, отношение руд к складчатости и дайкам магматических пород;
- 5) элементы-примеси в рудах, представляющие интерес для попутного извлечения;
- 6) металлометрическую съемку рудных районов и прилегающих территорий; площади, перспективные для поисков в отношении различных видов сырья;
- 7) геофизическую изученность области (электрические, магнитометрические, гравиметрические и др.). Формы и размеры объектов возмещения и глубину их залегания, а также характер и природу геофизических аномалий и их металлогеническую классификацию;
- 8) стадийность рудовмещающих отложений с выявлением фации (и зон) эпигенеза, отражение их на карте с показом фацальной принадлежности, тектоническую позицию и возраст, а также геохимическую и металлогеническую специализации каждого выделенного комплекса;
- 9) историко-геологический или историко-литологический анализ региона и историю формирования месторождений и конкретных метал-

логенических зон как следствие более или менее длительного геологического развития, определяющего генетическую позицию оруденения.

Институт геологии

Поступило 21.VII 1980

Ч. Ч. Мазанов

БӨҮҮК ГАФГАЗЫН ЧӘНУБ ЖАМАЧЛАРЫНЫН МЕТАЛЛОКЕНИК
ХӘРИТЭСИННИН ТӘРТИБ ЕДИЛМӘСИ МЕТОДИКАСЫ ВӘ БУ
САҢӘДӘ ЙЕНИ ФИЛИЗ ФОРМАСИЈАЛАРЫНЫН ТАПЫЛМАСЫНЫН
ПЕРСПЕКТИВЛӘРИ

Мәгәләдә Бөјүк Гафгазын чәнуб жамачларынын металлокеник хәритәси вә бу саңәдәни филизләринин єјрәнүлмәсийни методики мәсәләләриндән бәһе олунур.

D. D. Mazanov

TO THE QUESTION OF METHODS OF METALLOGENIC MAP CONSTRUCTION
OF THE SOUTHERN SLOPE OF THE GREAT CAUCASUS AND THE
PERSPECTIVES OF ORE FORMATIONS DETECTION WITHIN THE
EASTERN CAUCASUS

The peculiarities of metallogenetic map and methodical questions of metallogenetic study of the southern slope of the Great Caucasus are considered in the paper.

АЗӘРБАЙЧАН ССР ЕЛМЛӘР АКАДЕМИЯСЫНЫН МӘРҮЗӘЛӘРИ

ДОКЛАДЫ АКАДЕМИИ НАУК АЗЕРБАЙДЖАНСКОЙ ССР

ТОМ XXXVIII ЧИЛД

№ 7

1981

УДК 551.4/47/

Г. А. КЕРИМОВ

ГЕОМОРФОЛОГИЯ

ЗАКОНОМЕРНОСТИ ПРОСТРАНСТВЕННОГО РАЗМЕЩЕНИЯ
ТИПОВ МОРФОСТРУКТУР И ИХ ПЛОТНОСТЬ
НА ТЕРРИТОРИИ КОБЫСТАНА

(Представлено академиком АН Азербайджанской ССР Ш. Ф. Мехтиевым)

В последние 10—15 лет морфоструктурные исследования в пределах нефтегазоносных бассейнов занимают все более значительное место в комплексе нефтепоисковых работ. Эффективность и большая экономичность данного метода, важнейшим условием которого является комплексный подход к выявлению морфоструктурных элементов рельефа путем применения и взаимного контроля различных частных методов структурно-геоморфологических исследований с целью выявления перспективных в нефтегазоносном отношении структур, благоприятствуют развитию и говорят о целесообразности его дальнейшего применения. Экономическая выгода данного метода неоднократно подтверждалась исследованиями в различных нефтегазоносных областях Союза. Так, например, для Западно-Сибирской низменности было установлено, что средняя стоимость выявления одной структуры геоморфологическим методом составляет примерно от 350 до 600 тыс. руб., тогда как стоимость открытия одной структуры при использовании лишь одного метода сейсморазведки, в тех же условиях, составляет 10—15 млн. руб. [7].

Наиболее экономически выгодным методом, входящим в комплекс морфоструктурных исследований, является морфологический, основанный на изучении количественных соотношений форм рельефа земной поверхности с тектоническими структурами.

В настоящее время большой практический интерес для геологов-нефтяников Азербайджана представляет территория Кобыстана, занимающая значительную часть области юго-восточного переклинального погружения Большого Кавказа и являющаяся одним из перспективных нефтегазоносных районов на суше Азербайджана. Поиски новых структурных форм, закономерностей пространственного их размещения в данном районе является первоочередной задачей как теоретического, так и прикладного характера.

Предлагаемая статья посвящена выяснению закономерности пространственного размещения различных типов морфоструктур и их плотности, расположенных в различных по тектонической активности зонах территории Кобыстана.

В качестве основного морфометрического показателя послужило вычисление плотности типов морфоструктур в различных по активности тектонических зонах, которая подсчитывалась по формуле:

$$T = \frac{P}{P} \cdot 100 \%$$

где: r — площадь выделенных однородных типов морфоструктур в пределах одной тектонической зоны,

R — общая площадь тектонической зоны.

Величины соответствующих площадей измерялись с помощью планиметра по крупномасштабной морфоструктурной карте и карте неотектонического районирования. Следует отметить, что от принятой нами ранее схеме неотектонического районирования Кобыстана [4] были выделены зоны: весьма активные, активные, умеренно активные и слабоактивные. В данном случае при измерении общих площадей отдельных тектонических зон, последние две зоны были объединены в одну — слабоактивную. Основанием послужили однотипность морфоструктур и малая площадь последней зоны, а также небольшое различие основных морфометрических показателей (густоты и глубины расчленения, среднего угла наклона поверхности) этих зон.

Измерение площадей (r) производилось для отдельных морфоструктур с различным характером отображения в современном рельефе (прямые — положительные, отрицательные; обращенные — положительные — положительные, отрицательные; обращенные — положительные — положительные).

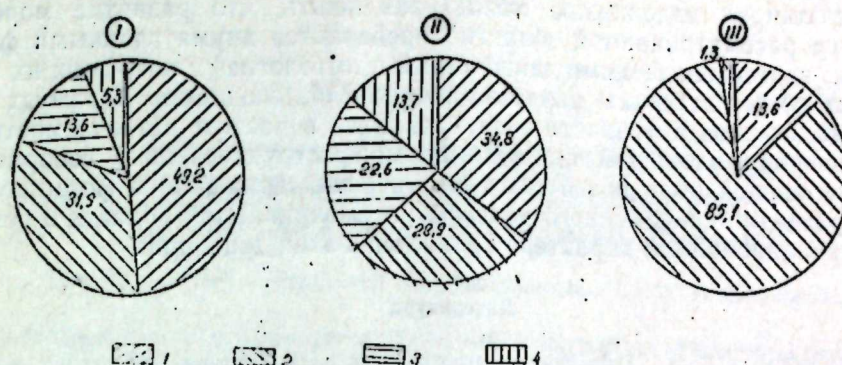
Соотношение площадей типов морфоструктур в различных по степени активности неотектонических зонах

Типы морфоструктур	Площадь, км ²						Всего
	Весьма активные		Активные		Слабоактивные		
прямые	обращенные	прямые	обращенные	прямые	обращенные		
Антиклинальные хребты	496,8	—	—	—	—	—	496,8
Антиклинальные гряды и возвышенностии	464,4	—	210,3	—	198,1	—	872,8
Моноклинальные гряды и возвышенностии	47	—	59,2	—	—	—	106,2
Плато покровные	—	—	132,1	—	—	—	132,1
Сложно-синклинальные долины	655,2	—	326,6	—	664,6	—	1327,8
Синклинальные долины	—	—	8	—	576,5	—	576,5
Синклинальные котловины	—	—	—	—	—	—	—
Синклинальные плато	—	—	86,6	—	—	—	86,6
Синклинальные хребты	—	—	186,7	—	49,4	—	236,1
Синклинальные гряды и возвышенностии	—	—	6,3	—	210,7	—	231,2
Антиклинальные долины	—	—	109,3	—	157,9	—	267,2
	2052,3	—	1154,2	—	1457,8	—	4664,3

ные, отрицательные). В результате была составлена таблица соотношения площадей типов морфоструктуры в различных по степени активности тектонических зонах (таблица), с последующим построением диаграмм (рисунок) для каждой из этих зон, что позволило дополнить количественные определения ранее выделенных тектонических зон характеристиками распределения площадей различных типов морфоструктур в их пределах.

Следует отметить, что выделение однородных типов морфоструктур и их измерение в пределах Кобыстана нами производились в следующем порядке: к прямым положительным морфоструктурам были отнесены — антиклинальные хребты, гряды и возвышенностии, моноклинальные гряды и возвышенностии, плато покровные; к прямым отрица-

тельный морфоструктурам — сложно-синклинальные долины, синклинальные долины и котловины; к обращенным положительным — синклинальные плато, хребты, гряды и возвышенностии; к обращенным отрицательным — антиклинальные долины.



Соотношение площадей типов морфоструктур в различных по степени активности неотектонических зонах на территории Кобыстана (%). Морфоструктуры: 1 — прямые положительные; 2 — прямые отрицательные; 3 — обращенные положительные; 4 — обращенные отрицательные.

Неотектонические зоны:
I — весьма активные; II — активные; III — слабоактивные.

Таким образом выяснилось, что в пределах зон с весьма активными неотектоническими движениями (Гяды-Куркачидагская, Алаташ-Юртандыгская, Нардаран-Умбакинская и др.) прямые положительные морфоструктуры занимают площадь 1008,2 км², что составляет 49,2 % площади зоны. В неотектонически активных зонах Шахандаг-Сиякинская, Астраханская, Алятская, Сунди-Маразинская они занимают площадь 401,6 км² (34,8 %), а в слабоактивных зонах Дзоголовинская, Джейран-Кечмезская, Сабатдюзинская, Навагинская — 198,1 км² (13,6 %), что, по-видимому, связано с преобразованием эндогенных процессов над экзогенными, в условиях сравнительно равных по степени устойчивости перед всеми тремя неотектоническими зонами.

Обратную картину мы наблюдаем в соотношении площадей прямых отрицательных морфоструктур. Как видно из диаграмм (рисунок), площадь данного типа морфоструктур в пределах весьма активных и активных зон составляют соответственно 31,9 и 28,9 % от всей площади зоны, а в зоне со слабоактивными неотектоническими движениями — 85,1 %. Обращает на себя внимание преобладание площадей с обращенными положительными морфоструктурами в пределах весьма активных и активных зон (соответственно 13,6 и 22,6 %) по сравнению с зонами слабоактивными, где данный тип морфоструктур занимает всего 1,3 % всей площади.

В свою очередь, площади положительных обращенных морфоструктур в пределах активных зон преобладают и над однотипными морфоструктурами весьма активных зон, что связано с широким развитием пород, литологически стойких по отношению к денудации (известняки, доломиты), слагающими данный тип морфоструктур. Что касается обращенных отрицательных морфоструктур, то они имеют место лишь в пер-

вой и второй зонах, весьма активных и активных. В первой зоне занимает 109,3 км², что составляет всего 5,3 % общей площади, а во второй—157,2 км² (13,7 %). В указанном случае, как мы видим, основным фактором в поведении показателей данного типа морфоструктур является также литологический.

Резюмируя изложенное можно заключить, что развитие морфоструктур рассматриваемой области определяется двумя главными факторами: неотектоническими движениями и литологией слагающих их пород, но преобладающим является первый. Наблюдающееся в разных по неотектонической активности зонах различие в частоте встречаемости и соотношениях площадей однотипных морфоструктур, явно говорит о преобладающей роли новейших тектонических движений в формировании и развитии современного рельефа рассматриваемой области и резко дифференцированном характере проявления этих движений.

Литература

1. Ахмедов Г. А. Геология и нефтеносность Кобыстана. Азербайжан, 1957.
2. Берлянт А. М. Картографический метод исследования. МГУ, 1978. 3. Будагов Б. А. Геоморфология и новейшая тектоника Юго-Восточного Кавказа. Баку, 1973.
4. Керимов Г. А. «Уч. зап. АГУ им. С. М. Кирова, серия геол.-геогр. наук», № 3, стр. 48–53, 1977. 5. Лилиенберг Д. А. Рельеф Южного склона восточной части большого Кавказа. Изд. АН СССР, М., 1962. 6. Мещеряков Ю. А. Структурная геоморфология равнинных стран. «Наука», М., 1965. 7. Худяков Г. И., Зяткова Л. К. Материалы второго геоморфологич. совещания. М., 1959. 8. Ширинов Н. Ш. Новейшая тектоника и развитие рельефа Кура-Араксинской депрессии. Изд-во «Элм», 1975.

АГУ им. С. М. Кирова

Поступило 23. XII 1980

Г. А. Керимов

ГОБУСТАН ЭРАЗИСИНДЭ МОРФОСТРУКТОР ТИПЛЭРИНИН ЙАЫЛМА ГАНУНАУЖУНЛАРЫ ВӘ ОНЛАРЫН СЫХЛЫНЫ

Гобустанын неотектоник фәлләгүниң көрә бир-бириндей фәрғәннәк зоналарының морфоструктурларының сыйлығы тәддиг едилмишdir. Айры-айры зоналарда морфоструктур типләринин жаилма ганунаужунлары ашкар едилмиш вә онларын көмийјет көстәричиләрни верилмишdir. Морфоструктор типләринин эразидә пајланмасының төйлили иотичносында мүәјҗән едилмишdir ки, мұхталиф зоналарда бу вә жаҳуд башга морфоструктур типинин кениши жаилмасы әсасын неотектоник һәрәкәтләрни интенсивліккендән вә характеристикалдан асылыдыр.

G. A. Kerimov

THE CONFORMITIES OF THE SPATIAL PLACING OF TYPES OF MORPHOSTRUCTURES AND THEIR DENSITY IN THE TERRITORY OF GOBUSTAN

After the analyses of the spatial placing of different types of morphostuctures and their density in the different activity of tectonical zones in the territory of Gobustan we reveal that the development of the morphostuctures of the above mentioned region is defined with two main factors—neotectonic movement and lithology of rocks composing them.

АЗЭРБАЙЧАН ССР ЕЛМЛӘР АКАДЕМИЈАСЫНЫН МӘРҮЗӘЛӘРИ
ДОКЛАДЫ АКАДЕМИИ НАУК АЗЕРБАЙДЖАНСКОЙ ССР

ТОМ XXXVII ЧИЛД

№ 7

1981

УДК 631.4.631.6

А. Г. КУЛИЕВ

МЕЛИОРАЦИЯ

ДИНАМИКА ЗАСОЛЕНИЯ ПОЧВОГРУНТОВ И МИНЕРАЛИЗАЦИЯ ГРУНТОВЫХ ВОД В УСЛОВИЯХ НАХИЧЕВАНСКОЙ МУЛЬДЫ

(Представлено академиком АН Азербайджанской ССР В. Р. Волобуевым)

Нахичеванская мульда представляет вогнутую чашеобразную впадину, приподнятую в тыловой части. На юге и юго-западе она граничит с иранскими горами, а на севере и северо-востоке — с Дарагагезским и Зангезурским хребтами. Площадь мульды около 30 тыс. га. Земли в основном засоленные.

Для выявления эффективности осуществленных мелиоративных мероприятий, с целью ликвидации вторичного засоления почвогрунтов на них проведены научно-исследовательские работы на двух участках (1976—1979 гг.), резко отличающихся по водно-физическим свойствам.

Первый ключевой участок площадью 20 га расположен в юго-западной части Нахичеванской мульды, на территории совхоза Азизбекова Ильичевского района. Почва участка в основном сероземная, примитивно-сероземная, маломощная. Содержание гумуса в слое 0—25 см составляет 0,90—1,90 %, а в слое 25—50 см 0,75—1,73 %, в дальнейшем она уменьшается. Сумма поглощенных оснований в 0—50-сантиметровом слое составляет 24,3—24,03 мгэкв, а в слое 50—100 см—19,3—49,1 мгэкв [2, 4]. Поглощенный Na от суммы поглощенных оснований составляет 2—8 %. По механическому составу среднесуглинистые и легкосуглинистые, супесчаные, иногда наблюдаются прослойки песка, гравия и галечника, с тонкозернистыми заполнителями [4]. Почвы высококарбонатные, коэффициент фильтрации почвогрунтов колеблется в пределах от 1,3 до 5,2 м/сут, глубина залегания грунтовых вод находится в 26 м от поверхности земли, а минерализация их колеблется в пределах 2—3 г/л. Построенный дренаж предусматривается для проведения промывки и дальнейшего поддержания уровня грунтовых вод ниже критического и отвода излишних оросительных вод.

Второй ключевой участок расположен в южной части Нахичеванской мульды на территории колхоза Азербайджан Бабекского района. Площадь опытного участка составляет 40 га. Почвы этого колхоза начали использовать под сельскохозяйственные культуры с 1968 г. при отсутствии дренажа. Дальнейшее использование земель под сельскохозяйственные культуры привело к вторичному засолению почвогрунтов. В 1976 г. на территории колхоза проводились почвенные и гидрогеологические съемки (Институт АзГВХ) и составлен проект. В 1977 г. была построена закрытая дренажная сеть с междрененным расстоянием 400 м, глубиной 3,0 м. Почвы опытного участка сероземные и сероземно-луговые, маломощные, содержание гумуса в слое 0—25 см составляет

1,21—1,51 %, ниже уменьшается, механический состав легкий, суглинистый, среднесуглинистый, супесчаный, иногда песчаный, реже в глубине глинистые прослойки, а также с участием гравия и галечника [4]. Сумма поглощенных оснований варьирует в пределах 15,71—18,04 мгэкв. (в слое 0—25 см), в котором Na колеблется в пределах 5,5—8,0 % от суммы поглощенных оснований. Коэффициент фильтрации зоны аэрации 26 м/сут, глубина залегания грунтовых вод колеблется в пределах 0,0—2,7 м (май 1977) от поверхности земли, минерализация ее составляла 12,09—22,65 г/л. До промывки, т. е. до освоения этих земель нами была проведена солевая съемка.

Таблица 1

Исходное среднее засоление почвогрунтов ключевого участка колхоза Азизбекова (до промывки 1977 г.)

Глубина, см	Cl, %	SO ₄ , %	Плотный остаток, %
0—25	0,014	0,189	0,396
25—50	0,107	0,431	0,786
50—100	0,166	0,678	1,209
0—100	0,113	0,494	0,902
100—200	0,196	0,852	1,457
20—300	0,208	0,660	1,309

Таблица 2

Изменение солесодержания в почвогрунтах до и после промывки
в совхозе Азизбекова. плот. остаток, % хлор-ион

Подаваемая вода для промывки, м ³ /га	Солесодержание до и после промывки	Глубина, см					
		0—25	25—50	0—100	100—200	200—300	0—30
8540	До промывки	0,396 0,014	0,796 0,207	0,902 0,113	1,457 0,196	1,309 0,208	
	После промывки	0,186 0,010	0,426 0,016	0,515 0,013	1,289 0,041	1,367 0,050	
	Удаление солей, %	52,9 24,5	46,4 86,9	42,2 86,4	11,5 79,0	14,4 75,9	13,5 79,4

Далее, т. е. в ноябре 1978 г. началась промывка, которая завершилась в конце года. Для промывки подавалось всего 8 540 м³/га промывки воды.

Садовой состав почвогрунтов изменился очень мало (табл. 4).

После промывки участок в 1978–1979 гг. был использован под культуру табака и получен высокий урожай — 25,8 ц/га. Полив табака проводился повышенной нормой в 25–30 %. Вегетационные поливы в повышенными нормами (7200 м^3 за один вегетационный период) способствовали дальнейшему рассолению почвогрунтов (табл. 3).

На втором ключевом участке промывка почвогрунтов не произошла. Несмотря на высокое содержание солей почвогрунты этого участка использовались под озимую пшеницу. Следует отметить, что после

сева зерна, земли участка поливались подряд два раза ($2800 \text{ м}^3/\text{га}$). Кроме этого, весной следующего года озимая пшеница получила еще три полива (при этом оросительная норма $4200 \text{ м}^3/\text{га}$). Подобный водный режим продолжался и в 1978 г. В результате проведения вегетационных поливов солесодержание соответственно снизилось (табл. 5).

Таблица 3
Динамика засоления почвогрунтов при освоении почв совхоза
им. Азизбекова

Глубина, см	Плотный остаток, %		CI, %		SC, %	
	после про- мывки (XII 1978)	при освое- нии (XI 1979)	после про- мывки (XII 1979)	при освое- нии (XII 1979)	после про- мывки (XII 1978)	при освое- нии (XII 1979)
0—25	0,186	0,148	0,010	0,009	0,099	0,055
25—50	0,426	0,198	0,014	0,010	0,254	0,199
50—100	0,515	0,365	0,015	0,014	0,330	0,113
100—200	1,289	0,732	0,041	0,024	0,738	0,483
200—300	1,367	0,882	0,050	0,036	0,715	0,557

Таблица 4

Изменение солевого состава в почвогрунтах в разрезе № 416 солхоза
им. Азизбекова, %

Глубина, см	Сумма солей	Ca (HCO ₃) ₂	Mg (HCO ₃) ₂	NaHCO ₃	CaSO ₄	MgSO ₄	Na ₂ SO ₄	MgCl ₂	NaCl
До промывки (1977 г.)									
0—100	1,031	0,046	Нет	Нет	0,563	0,157	0,136	Нет	0,134
100—200	1,675	0,038	:	:	0,871	0,240	0,254	0,029	0,243
200—300	1,463	0,030	:	:	0,726	0,356	0,130	0,008	0,313
После промывки (1978 г.)									
0—100	0,715	0,049	Нет	Нет	0,445	0,126	0,068	Нет	0,027
100—200	1,44	0,041	:	:	0,684	0,238	0,153	—	0,028
200—300	1,439	0,036	:	:	0,836	0,226	0,112	—	0,026
После освоения (1979 г.)									
0—100	0,528	0,015	0,007	0,032	0,321	0,089	0,042	Нет	—
100—200	0,650	0,018	Нет	Нет	0,378	0,126	0,102	—	0,026
200—300	0,722	0,021	—	—	0,469	0,121	0,086	—	0,025

Динамика засоления почвогрунтов в колхозе „Азербайджан“

Глубина, см	Плотный остаток		С1, %			
	до изыскательских работ АзГВХ (V 1976 г.)	до строительства дренажа (VI 1977 г.)	при освоении (XI 1979 г.)	до изыскательских работ АзГВХ (V 1976 г.)	до строительства дренажа (VI 1977 г.)	при освоении (XI 1979 г.)
0—25	1,68	1,77	0,368	0,433	0,572	0,022
25—50	1,25	1,36	0,526	0,347	0,441	0,025
0—100	1,36	1,436	0,548	0,341	0,393	0,023
00—200	1,108	1,098	0,613	0,188	0,169	0,042
00—300	—	0,847	0,496	—	0,160	0,070

Проведенные анализы подтверждают, что после уборки зерновых культур при наличии дренажной сети повторного засоления почвогрунтов не происходит.

Таблица 6

Динамика минерализации грунтовых вод и залегание их в колхозе «Азербайджан»

Показатели	Период освоения		После VI 1977 г.	1978 г.	1979 г.
	1965 г. Азгипро- водхоз	1976 г. АЗГВХ			
Глубина грунтовых вод, м	8—10	1,8—2,8	0,0—2,7	1,2—2,6	1,85—2,6
Минерализация, г/л	2—3	7,37—13,65	12,09—22,65	9,88—12,09	9,51—10,73
В том числе, С г/л	0,01—0,015	1,95—2,3	2,75—7,66	3,0—3,37	3,05—3,47
			6		1,02—2,01

Сказанное убедительно говорит о том, что на землях, где почвогрунты имеют легкий механический состав и большой коэффициент фильтрации рассоления почвогрунтов можно добиваться не только при промывке, но и при ущаженном вегетационном поливе.

Литература

1. Воловуев В. Р. Промывка и дренаж засоленных почв. Изд-во АН СССР. М., 1960.
2. Захаров С. А. Почвы Нахичеванской АССР. Тифлис, 1938.
3. Ковда В. А. Происхождение засоленных земель, чи. I, II. М., 1946.
4. Мамедов Р. Г. Агрофизические свойства почв Нахичеванской АССР. Баку, 1963.

Институт почвоведения и агрохимии

Поступило 16.IX.1980

Э. К. Гулиев

НАХЧЫВАН МУЛДАСЫНДА ТОРПАГЛАРЫН ДҮЗЛҮЛҮГ
ДӘРӘЧӘСИНИН ВӘ ГРУНТ СУЛАРЫНЫН МИНЕРАЛЛАШМАСЫ
ДӘРӘЧӘСИНИН ДӘЖИШМӘСИ ЫАГГЫНДА

Мәгаләдә Нахчыван мулдасында дренаж шабакасы фонунда торпагларын дүзлүлүг дәрәчәсинин вә грут суларынын минераллашмасы дәрәчәсинин дәјишмәси көстөрилдишид. Мәлум олмушуди ки, мөчүд шәрәйтде шорламыш торпаглары кичик јума нормалары иштө тәмизләмәк олар. Йүнкүл механик тәркиби торпаглары исә јуулма режими арат вә векетасында суварма нормаларыны 25-30% артырмагла едиши.

A. G. Kuliyev

DYNAMICS OF SALTING OF SOILS AND THE MINERALIZATION OF THE GROUND WATERS IN THE MOULD OF NAKHICHEVAN

The paper deals with the material of the 3-year investigations on the dynamics of salting of soils and the mineralization of the ground waters in the horizontal drainage in the mould of Nakhichevan.

It is determined that salted soils of the cone depression of the mould of Nakhichevan may be washed by small portions. But it is recommended to use them relatively with multi-irrigational cultures. According to their mechanical composition the very light soils may be freshened not only by washing, but by irrigations with the higher norms of the irrigation being 25-30%.

Р. М. МАХМУДОВ

ИСПОЛЬЗОВАНИЕ НАФТАЛАНА
И ВЛИЯНИЕ НАФТАЛАНСОДЕРЖАЩИХ ПРЕПАРАТОВ
ПРИ ИХ НАРУЖНОМ ПРИМЕНЕНИИ
НА МОРФОЛОГИЧЕСКИЙ СОСТАВ КРОВИ

(Представлено академиком АН Азербайджанской ССР Г. Г. Гасановым)

В нашей предыдущей работе, посвященной изучению противовоспалительного действия мазей, приготовленных на нафталановой основе, было показано, что он обладает выраженным противовоспалительным свойством при лечении контактного дерматита.

Данные о физико-химических свойствах нафталанской нефти и некоторых препаратов, получаемых из нее, довольно подробно изложены во многих работах.

Результаты исследований влияния нафталана на морфологический состав крови, полученные разными авторами не только не совпадают, но более того, являются противоречивыми.

Принимая во внимание это обстоятельство и, стремясь доказать противовоспалительное действие нафталана изменением морфологии крови, мы поставили задачу изучить морфологический состав крови у подопытных животных с экспериментально воспроизведенным контактным дерматитом и подвергнутых нафталанотерапии.

Из обширных литературных данных становится ясно, что нафталан является высокоеффективным лечебным бальнеологическим средством. Как известно, терапевтический эффект всякого бальнеологического средства тесно связан с его всасываемостью и проникновением через кожу.

Отсутствие методов исследования крови и мочи на содержание в них нафталана ограничивают наши возможности установления его всасываемости и проницаемости через кожу. В этой связи в настоящей работе мы ограничиваемся исследованием морфологического состава крови под влиянием официальных и новых прописей препаратов нафталана, примененных нами для сравнительной их оценки при лечении контактного дерматита, полагая, что всосавшийся в кровь нафталан или его метаболиты несомненно вызовут изменения со стороны картины крови.

МЕТОДИКА ИССЛЕДОВАНИЙ

Исследования проводились на 54 кроликах обоего пола весом в среднем 3—3,5 кг. Опыты были проведены в 9 сериях, в каждой по 6 кроликов, из которых 8 серий опытных и 1 серия контрольная. У всех подопытных кроликов воспроизводили контактный дерматит. У кроликов ручной эпиляцией ушных раковин размером 2×2 см очищали кожные покровы.

Контактный дерматит вызывали нанесением на очищенный участок 5 %-ного раствора 2,4-дinitрохлорбензола (ДНХБ) в смеси спирт-ацитон (2:1) в течение 3 дней по 5 капель ежедневно.

После возникновения характерной картины контактного дерматита подопытных кроликов разделили на 8 опытных и 1 контрольную группы.

Лечение кроликов с контактным дерматитом в 4-х опытных группах (24 кролика) проводили экспериментальными нафталановыми препаратами, а на других опытных группах (24 кролика) применяли заводские нафталансодержащие препараты аналогичного состава, 9-я группа кроликов (6 кроликов), оставленная контрольной, не подвергалась нафталанотерапии.

В первой серии под опытом находились кролики 1—6, во второй — 7—12, в третьем — 13—18, в четвертой — 19—24, в пятой — 25—30, в шестой — 31—36, в седьмой — 37—42, в восьмой — 43—48, а в контрольной серии кролики за №№ 49—54.

У всех кроликов (всего 54) в интактном состоянии до начала эксперимента из краевой ушной вены была взята кровь на исследование содержания гемоглобина, эритроцитов, лейкоцитов, лейкоцитарной формулы, а также скорости оседания эритроцитов (СОЭ).

Повторно через трое суток после воспроизведения контактного дерматита снова у всех кроликов была взята кровь и исследовалась она в вышеуказанной последовательности.

Исследование крови у всех кроликов (54) третий раз производили при наступлении заживления воспалительного процесса, а четвертый раз — после полного заживления контактного дерматита.

Гемоглобин определялся с помощью гемометра Сали, содержание эритроцитов и лейкоцитов подсчитывалось в счетной камере Горяева под микроскопом, скорость оседания эритроцитов была определена созметром, подсчет лейкоцитарной формулы производился в мазках периферической крови под микроскоп.

РЕЗУЛЬТАТЫ ИССЛЕДОВАНИЙ

После 3-кратного нанесения на очищенную поверхность кожи 5 %-ного раствора 2,4-дinitрохлорбензола (ДНХБ) происходило сильно выраженное раздражение кожи, а затем развивалась характерная картина воспаления, сопровождаемая резким покраснением, опуханием, повышением местной температуры, образованием корочки и отторжением рогового слоя кожи, с последующим изъязвлением и даже нагноением.

Примененные нами для лечения контактного дерматита у 8-й группы подопытных кроликов нафталансодержащие препараты как экспериментальные (приготовленные по новой прописи), так и официальные (заводские), а именно: мазь нафталановая, паста ихтиоло-цинко-нафталановая, паста борно-цинко-нафталановая и линимент стрептоцид-нафталановый, способствовали образованию корочки и отпадению верхнего слоя кожи, тем самым ускорили заживление воспаления у всех подопытных кроликов. Полное устранение воспалительных явлений происходило в среднем в течение 9—10 суток, а под влиянием стрептоцид-нафталанового линимента даже в течение 7—8 дней, тогда как у контрольной группы, не получавшей нафталансодержащих препаратов, этот срок равнялся в среднем 30—32 суткам.

Результаты проведенных исследований по изучению морфологического состава крови показал, что, как правило, на фоне развивающегося контактного дерматита происходят заметные изменения в основном со стороны двух показателей картины крови: скорости оседания эритроцитов и количества лейкоцитов. Во всех сериях опытов на фоне контактного дерматита отмечается незначительное увеличение скорости оседания эритроцитов, а также повышение количества лейкоцитов. В соответствии с этим, лейкоцитарная формула изменяется также в сторону увеличения отдельных элементов, особенно возрастает содержание лимфоцитов. По истечении срока лечения нафталансодержащими препаратами контактного дерматита на фоне полного заживления было установлено, что у всех подопытных кроликов сдвиги скорости оседания эритроцитов и количества лейкоцитов имеют тенденцию к возвращению к показателям исходного состояния, что является весьма закономерным явлением, свидетельствующим о выраженному противовоспалительном свойстве нафталана и его препаратов.

В то время как у контрольных кроликов повышение скорости оседания эритроцитов и лейкоцитов, характеризующие воспалительный процесс, почти не изменялись, в среднем в течение одного месяца оставались на высоком уровне.

Что касается содержания гемоглобина и эритроцитов, то заметных количественных изменений их в проведенных экспериментах не было отмечено. Следует подчеркнуть также, что особой разницы в действии на морфологию крови экспериментально приготовленных и заводских нафталансодержащих препаратов не было выявлено.

Средние данные, полученные при исследовании морфологического состава крови для 54-х кроликов приводятся в табл. 1 и 2. Результаты проведенных экспериментов позволяют сделать следующие выводы.

Выводы

1. При трехкратном нанесении 5 %-ного раствора 2,4-дinitрохлорбензола на очищенную поверхность кожи кроликов развивается картина характерного дерматита.

2. Примененные нафталансодержащие препараты как экспериментально приготовленные, так и заводские, вызывают полное заживление воспалительного процесса в течение в среднем 7—8 и 9—10 суток, тогда как у контрольных кроликов, не получавших нафталансодержащих препаратов, полное заживление происходит на 30—32 сутки.

3. У всех подопытных кроликов на фоне контактного дерматита, как правило, происходит повышение скорости оседания эритроцитов (СОЭ), увеличение количества лейкоцитов со сдвигом лимфоцитоза.

4. Под влиянием нафталансодержащих препаратов, как экспериментально приготовленных, так и заводских, на фоне полного заживления воспалительного процесса происходит уменьшение скорости оседания эритроцитов (СОЭ) и снижение лейкоцитоза с приближением этих показателей к исходному, уровню, что свидетельствует о выраженному противовоспалительному влиянию нафталана.

5. В проводимых нами экспериментах заметных изменений количественных показателей гемоглобина и эритроцитов не было отмечено, что согласуется с данными многих исследователей.

Таблица 1

Изменение морфологического состояния крепи у кроликов под влиянием нафталан-содер-запатов

Изменение морфологического состава крови (при $n=6$)	Фазы исследования	Лейкоцитарная формула						
		%	CO ₃ , mM/l	Лейкокортиз, мг	Глутопонит, мг	Нейтрофилы палочко-ядерные	Бактерио-инфекционные	Монуциты
У контрольных кроликов (при $n=6$)	Исходное состояние: контактный дерматит	60	1,3	5,0	5,0	8	28	58
	Начало заживления	60	6,1	8,8	11,0	4	12	82
	Полное заживление	59	6,2	8,8	11,2	5	13	78
Под влиянием нафталановой маси	Исходное состояние: контактный дерматит	58	1,0	4,3	4,9	15	15	69
	Начало заживления	59	4,0	5,5	12,0	4	21	66
	Полное заживление	60	1,5	4,8	6,1	24	16	56
Под влиянием нафталановой маси	Исходное состояние: контактный дерматит	67	1,5	4,8	10,1	16	26	50
	Начало заживления	68	4,5	5,2	7,4	11	17	84
	Полное заживление	68	2,0	4,8	5,5	18	17	65
Под влиянием борио-цинко-нафталановой пасты	Исходное состояние: контактный дерматит	70	2	4,8	5,3	14	20	59
	Начало заживления	71	4	5,3	11,9	3	13	81
	Полное заживление	68	2	5,1	9,1	13	18	64
Под влиянием стрептоцид-нафталанового линимента	Исходное состояние: контактный дерматит	68	1	4,5	5,4	10	18	62
	Начало заживления	70	6	5,2	11,4	4	9	84
	Полное заживление	71	3	5,3	8,1	8	18	68
		72	1,7	4,8	6,9	12	19	65

Таблица 2

Изменение морфологического состава крови у кроликов под влиянием экспериментально приготовленных нафталан-содер-запатов

Изменение морфологического состава крови (при $n=6$)	Фазы исследования	Лейкоцитарная формула						
		%	CO ₃ , mM/l	Лейкокортиз, мг	Глутопонит, мг	Нейтрофилы палочко-ядерные	Бактерио-инфекционные	Монуциты
У контрольных кроликов (при $n=6$)	Исходное состояние: контактный дерматит	60	1,3	5,0	5,0	8	28	58
	Начало заживления	60	6,1	8,8	11,0	4	12	82
	Полное заживление	59	6,2	8,8	11,2	5	13	78
Под влиянием нафталановой маси	Исходное состояние: контактный дерматит	72	1,9	4,85	5,62	12	19	69
	Начало заживления	71	5,0	6,04	10,5	3	8,0	85
	Полное заживление	68	3,3	6,2	8,9	7	18	69
Под влиянием борио-цинко-нафталановой пасты	Исходное состояние: контактный дерматит	57	1,5	4,34	5,6	11	21	63
	Начало заживления	59	7,5	5,4	11,2	4	8,0	86
	Полное заживление	62	4,3	5,6	8,4	7	15	74
Под влиянием стрептоцид-нафталанового линимента	Исходное состояние: контактный дерматит	66	1,8	5,1	4,7	10	26	56
	Начало заживления	67	7,0	5,7	11,8	5	19	83
	Полное заживление	66	4,0	6,8	8,8	10	26	66

1. Карапов А. И., Алиев Р. К., Бабаев А. З. Нафталанская нефть, ее биологическое действие и лечебное применение. М., 1959. 2. Гулиева С. А. О сдвигах в количестве форменных элементов, лейкоформулы и активности каталазы крови крыс, привитых саркомой М-1 и подвергнутых воздействию нафталановой нефти. Мат-лы IV научн. конф. по проблеме Нафталан. Баку, 1968. 3. Алекперов А. Г., Веженкова Э. А. Влияние обессмоленного нафталана на морфологический состав крови. Мат-лы IV научн. конф. по проблеме Нафталан. Баку, 1968. 4. Гулиева С. А., Антоян С. Г. Содержание гемоглобина, оксигемоглобина и эритроцитов в норме и после нафталановых аппликаций в крови экспериментальных животных. Мат-лы I итоговой научной конференции НИПНЛ. Баку, 1969. 5. Гулиева С. А. Динамика изменений периферической крови под воздействием нафталановой нефти в условиях клиники и эксперимента. Мат-лы II итоговой научн. конф. НИПНЛ Баку. 1970. 6. Махмудов Р. М., Алиева С. А. «Азерб. мед. ж.», № 9, 1980.

AMN им. Н. Нариманова

Поступило 12.I 1981

Р. М. Махмудов

**НАФТАЛАНЫН ВӘ ТӘРКИБИНДӘ НАФТАЛАН ОЛАН
ПРЕПАРАТЛАРЫН ГАНЫН МОРФОЛОЖИ ТӘРКИБИНӘ
ХАРИЧДӘН ИСТИФАДӘ ЕТМӘ ЙОЛУ ИЛӘ ТӘ'СИРИ**

Тәркибинде нафталан олан препаратларла контактлы дерматитин мүалифеси көстәрир ки, ганын тәркибинде лейкоситләрни сајы вә еритроситләрни чөкмә сур'эги нормаллашырып, илтиhab процесси нафталансыз мүаличәјә инсбетән 3-4 дәфә тез арадан талдырылып.

R. M. Makhmudov

**THE APPLICATION OF NAPHTHALAN AND THE INFLUENCE
OF NAPHTHALAN CONTAINED PREPARATIONS AT THEIR
OUTWARD APPLICATION ON THE MORPHOLOGICAL
CONTENT OF BLOOD**

It was found out by the results of the experiments carried out that there was a considerable increase of number of leucocytes with the displacement of lymphocytes and rate increase of erythrocytes settling on the background of typical contact dermatitis, while the above mentioned indicators had the tendency to decrease, because of the application of naphtalan contained preparations on the background of complete healing of contact dermatitis. Inflammation is completely removed approximately during 7-8 or 9-10 days, while the process of healing of rabbits under control that didn't receive naphtalan therapy lasted for 30-32 days.

УДК 633.861.4

М. А. КАСУМОВ

БОТАНИКА

**ШЕЛУХА РЕПЧАТОГО ЛУКА — ALLIUM SEPA L.— ЦЕННЕЙШЕЕ
СЫРЬЕ ДЛЯ ОКРАШИВАНИЯ ШЕРСТЯНОЙ
И ШЕЛКОВОЙ ПРЯЖИ**

(Представлено академиком АН Азербайджанской ССР В. И. Ульянищевым)

К роду *Allium* L. принадлежит около 300 видов (в СССР их насчитывается 230), распространенных преимущественно в странах северного полушария с умеренным климатом. Некоторые виды лука введены в культуру: лук асклонский или лук шалт — *A. ascalonicum* L.; лук трубчатый или лук-батун — *A. fistulosum* L. и др. Но наиболее важным видом, широко распространенным в культуре, является лук репчатый.

Лук репчатый является ценным пищевым, лекарственным, а также красильным растением.

По данным А. Р. Ветчинкина [1], шелуха лука репчатого содержит 5,8% флавоноидных веществ, которые являются желтыми красителями, а также находят применение в пищевой промышленности, медицине и аналитической химии.

Красящие свойства шелухи лука репчатого известны с давних времен, однако в литературе нет достоверных данных о способе технологии крашения пряжи и тканей.

Приимая во внимание то, что вблизи консервных заводов и овощных хранилищ скапливается большое количество шелухи лука, являющейся отходом, мы поставили задачу изучить ее красящие свойства для практического применения в ковровом производстве.

Опыты окрашивания проводились в отделе растительных ресурсов Института ботаники АН Азерб. ССР по методике [2] в нейтральной, щелочной и кислотной ваннах при добавлении различных проправ (см. таблицу):

При окрашивании использовались водные экстракты красящих веществ шелухи лука в нейтральной, кислотной и щелочной ваннах с предварительной или последующей проправой шерстяной пряжи. В результате получили разнообразную гамму цветов: желтый, золотисто-желтый, золотисто-оранжевый, оранжевый, зеленый, табачный, охристый, коричневый, бежевый, кирпично-красный, каштановый, серый, оливковый и др.

При павеске 100 г измельченной шелухи лука и объеме 1 л каждой экстракции получают 11—12 л красильного раствора, которым можно окрасить 1,5—2 кг шерсти. При окрашивании шерсть не поглощает из раствора весь краситель.. Так, первая и восьмая партии шерстяного волокна, окрашенные в одном и том же экстракте, по интенсивности тона мало отличаются друг от друга. Была проведена серия опытов по окрашиванию шерсти экстрактом красящих веществ шелухи лука с целью испытания устойчивости ее окраски к воздействию щелочей, кис-

Окрашивание шерстяной пряжи в подъем экстракте шелухи лука с применением различных проправ

Проправа	Кол-во химиката, % от веса пропаки	Крашение одновременно с солями металлов		Крашение с перд прогревом	Крашение после прогрева	Светостойчивость, ГОСТ 9733-61
		1	2	3	4	5
Скращенное пражка в питьевой воде						
Контроль—вода	—	Коричневато-кирпичная	Коричневато-кирпичная	Коричневато-кирпичная	Коричневато-кирпичная	4,0
Алюмокалиевые квасцы	6,0	Желтая	Ярко-желтая	Ярко-желтая	Ярко-желтая	5,5
Медь азотнокислый	5,0	Зеленая	Зеленая	Зеленая	Зеленая	5,0
Медь уксуснокислая	5,0	Табачная	Табачная	Табачная	Табачная	5,2
Железный купорос	5,0	Серая	Серая	Серая	Серая	5,1
Красная кровяная соль	5,0	Оливковая	Оливковая	Оливковая	Оливковая	5,1
Желтая кровяная соль	5,0	Бежевая	Бежевая	Бежевая	Бежевая	5,0
Хромник	0,2	Кирпично-красная	Кирпично-красная	Кирпично-красная	Кирпично-красная	5,5
Калий марганцевокислый	0,1	Коричневатая	Коричневатая	Рыжеватая	Рыжеватая	5,0
Калий азотнокислый	4,0	Рыжеватая	Рыжеватая	Бежевая	Бежевая	5,0
Кадмий уксуснокислый	4,0	Бежевая	Бежевая	Охристая	Охристая	5,1
Кольбат хлористый	4,0	Охристая	Охристая	Каштановая	Каштановая	5,2
Свинец уксуснокислый	4,0	Коричневатая	Коричневатая	Сливовая	Сливовая	5,0
Свинец уксуснокислый	4,0	Темно-оливковая	Темно-оливковая	Оливковая	Оливковая	5,1
Никель хлористый	4,0	Зеленоватая	Зеленоватая	Зеленоватая	Зеленоватая	5,0
Олово двуххлористое	0,1	Золотисто-оранжевая	Золотисто-оранжевая	Красноголовая	Красноголовая	5,5
Скращенное праяка в щелочном наитие						
Едкий натр	2,5	Кирпичная	Кирпичная	Кирпичная	Кирпичная	5,0
Алюмокалиевые квасцы	6,0	Лимонно-желтая	Лимонно-желтая	Лимонно-желтая	Лимонно-желтая	5,2
Медный купорос	5,0	Зеленая	Зеленая	Зелено-зеленая	Зелено-зеленая	5,4
Медь уксуснокислая	5,0	Темно-зеленая	Темно-зеленая	Серая	Серая	5,1
Железный купорос	5,0	Сероватая	Сероватая	Оливково-бежевая	Оливково-бежевая	5,2
Красная кровяная соль	5,0	Горчичная	Горчичная	Рыжеватая	Рыжеватая	5,2
Желтая кровяная соль	5,0	Коричневая	Коричневая	Каштановая	Каштановая	5,0
Хромник	0,2	Кирпично-красная	Кирпично-красная	Красноголовая	Красноголовая	5,5

1	2	3	4	5	6	
Скращенное праяка в щелочном наитие						
Калий марганцевокислый	0,1	Бежевая	Бежевая	Бежевая	Бежевая	5,0
Калий азотнокислый	4,0	Коричневатая	Коричневатая	Коричневатая	Коричневатая	5,1
Кадмий уксуснокислый	4,0	Охристая	Охристая	Охристая	Охристая	5,2
Кольбат хлористый	4,0	Бежевая	Бежевая	Бежевая	Бежевая	5,0
Свинец уксуснокислый	4,0	Коричневатая	Коричневатая	Коричневатая	Коричневатая	5,1
Свинец уксуснокислый	4,0	Темно-коричневая	Темно-коричневая	Темно-коричневая	Темно-коричневая	5,2
Никель хлористый	4,0	Оливковая	Оливковая	Оливковая	Оливковая	5,0
Олово двуххлористое	0,1	Табачная	Табачная	Табачная	Табачная	5,1
Скращенное праяка в щелочном наитие						
Калий марганцевокислый	0,1	Ярко-оранжевая	Ярко-оранжевая	Ярко-оранжевая	Ярко-оранжевая	5,2
Калий азотнокислый	4,0	Бежевая	Бежевая	Бежевая	Бежевая	5,2
Кадмий уксуснокислый	4,0	Коричневатая	Коричневатая	Коричневатая	Коричневатая	5,2
Кольбат хлористый	4,0	Бежевая	Бежевая	Бежевая	Бежевая	5,2
Свинец уксуснокислый	4,0	Коричневатая	Коричневатая	Коричневатая	Коричневатая	5,2
Никель хлористый	4,0	Оливковая	Оливковая	Оливковая	Оливковая	5,2
Олово двуххлористое	0,1	Каштановая	Каштановая	Каштановая	Каштановая	5,2

1	2	3	4	5	6	
Скращенное праяка в щелочном наитие						
Калий марганцевокислый	0,1	Бежевая	Бежевая	Бежевая	Бежевая	5,0
Кадмий азотнокислый	4,0	Ярко-желтая	Ярко-желтая	Ярко-желтая	Ярко-желтая	5,3
Кольбат хлористый	4,0	Табачная	Табачная	Табачная	Табачная	5,4
Свинец уксуснокислый	4,0	Зеленая	Зеленая	Зеленая	Зеленая	5,5
Никель хлористый	4,0	Сероватая	Сероватая	Сероватая	Сероватая	5,2
Олово двуххлористое	0,1	Зеленовато-оливковая	Зеленовато-оливковая	Зеленовато-оливковая	Зеленовато-оливковая	5,2
Скращенное праяка в кислотной ванне						
Муравьиная кислота	2,5	Бежевая	Бежевая	Бежевая	Бежевая	5,0
Алюмокалиевые квасцы	6,0	Ярко-желтая	Ярко-желтая	Ярко-желтая	Ярко-желтая	5,1
Медный купорос	5,0	Табачная	Табачная	Табачная	Табачная	5,2
Железный купорос	5,0	Зеленая	Зеленая	Зеленая	Зеленая	5,2
Красная кровяная соль	5,0	Сероватая	Сероватая	Сероватая	Сероватая	5,2
Желтая кровяная соль	5,0	Серовато-бежевая	Серовато-бежевая	Серовато-бежевая	Серовато-бежевая	5,2
Хромник	0,2	Коричневая	Коричневая	Коричневая	Коричневая	5,2
Калий марганцевокислый	4,0	Бежевая	Бежевая	Бежевая	Бежевая	5,3
Кадмий азотнокислый	4,0	Охристая	Охристая	Охристая	Охристая	5,4
Кольбат хлористый	4,0	Коричневатая	Коричневатая	Коричневатая	Коричневатая	5,5
Свинец уксуснокислый	4,0	Бежевая	Бежевая	Бежевая	Бежевая	5,6
Никель хлористый	4,0	Каштановая	Каштановая	Каштановая	Каштановая	5,7
Олово двуххлористое+	0,1+2,0	Табачная	Табачная	Табачная	Табачная	5,8
щавлевая кислота		Ярко-оранжевая	Ярко-оранжевая	Ярко-оранжевая	Ярко-оранжевая	5,5

лот, к сухому и мокрому трению, действию химических моющих средств и мыльным растворам, а также по светостойкости. Окраска шерсти почти не изменилась.

Испытания проводились в Ленинграде в Институте текстильной и легкой промышленности им. С. М. Кирова под руководством проф. А. А. Хархарова, по ГОСТу 9733-61.

Нами также впервые было установлено, что шелуха лука пригодна для окрашивания шелка. При этом мы получили изумительные по красоте и блеску цвета и оттенки, как, например, лимонно-желтый, оранжевый, зеленый, бежевый, коричневый, красный, кирпичный, черный, что дает возможность в Шекинском, Исмаиллинском, Шемахинском и других районах заменить в красильном производстве такое ценнейшее растение, как древесина скумпии, запас которой невелик.

В результате проведенных исследований мы пришли к выводу, что в экстракте, полученным из 1 кг шелухи лука можно окрасить 15—20 кг шерсти. Шелуху лука можно собрать там, где имеются плодово-овощные хранилища, консервные заводы и использовать как красильное сырье.

Выводы

1. Красящим экстрактом шелухи лука репчатого можно окрашивать шерстяную и шелковую пряжу в различные цвета и оттенки. Окрашенная нить достаточно прочна к физико-химическим воздействиям, а также светостойчива.

2. Красящая способность шелухи лука репчатого очень велика. Красильный экстракт, приготовленный из 1 кг сухого порошка, может окрасить 15—20 кг шерстяной и шелковой нити.

3. Шелуха лука представляет ценнейший краситель, полученный из дешевых отходов, который может быть успешно использован для окрашивания шерстяной и шелковой нитей, а также пищевых продуктов.

Литература

1. Ветчинкин А. Р. Естественные органические красящие вещества. Саратов, 1966.
2. Касумов М. А. «Изв. АН Азерб. ССР, серия биол. наук», № 6, 1976.

Поступило 19. III 1980

Институт ботаники

М. Э. Гасымов

АДИ СОҒАН ГАБЫҒЫ—ALLIUM SEPA L.
ЖУН ВӘ ИПӘК САПЛАРЫН БОЈАНМАСЫ ҮЧҮН ГИЈМӘТЛІ
ХАММАЛДЫР

Мәгаләдә адисоган габығындан бојаг мәһілүлүнүн қазырламасына вә ондан көниш спектрда жун вә ипәк сапларын рәнкләмәсендө истифадәсендөң бәс седилир.

М. А. Kasumov

ONION'S PEEL—ALLIUM SEPA L.—IS THE MOST VALUABLE RAW MATERIAL FOR PAINTING WOOLLEN AND SILK YARN

This article contains the description of the method of getting the dye-stuff from onion's peel. It gives a wide spectrum of the activity of its colours and shades in the process of painting woollen and silk stuff.

АЗЭРБАЙЧАН ССР ЕЛМЛЭР АКАДЕМИЈАСЫНЫН МӘРҮЗӘЛӘРИ
ДОКЛАДЫ АКАДЕМИИ НАУК АЗЕРБАЙДЖАНСКОЙ ССР

ТОМ XXXVII ЧИЛД

№ 7

1981

УДК 581.3'

БОТАНИКА

ИССЛЕДОВАНИЕ ЖЕНСКОГО ГАМЕТОФИТА ПОДСНЕЖНИКА КАСПИЙСКОГО В СВЯЗИ С ВОПРОСОМ О СТЕПЕНИ РЕЛИКТОВОСТИ

(Представлено академиком АН Азербайджанской ССР М. Г. Абуталибовым)

Объектом исследования являлся эндемичный вид рода *Galanthus*—подснежник каспийский из сем. *Amaryllidaceae*, распространенный в предгорных лесах Кавказа (Талыш) и на малом Кавказе. Для эмбриологического исследования нами были использованы растения из Ленкоранского района Азербайджанской ССР.

Производились темпоральные фиксации почек возобновления бутона и пестиков по Карнуа (6:3:1) и Навашину (10:4:1) с последующим обезвоживанием и заключением в парафин. Постоянные препараты окрашивались железным гематоксилином по Гайденгайну, применялась также реакция Фельгена.

Изучались микрофенология, строение семяпочек, мегаспорогенез и некоторые моменты оплодотворения, развитие эндосперма.

Эмбриологические исследования показали, что цветок подснежника каспийского закладывается в году, предшествующем цветению, вскоре после окончания цветения годичного побега, которое продолжается с января по февраль. С марта по апрель включительно в примордии дифференцируются все части цветка. Бугорки семяпочек закладываются в начале июня. Женский археоспорий в семяпочках, а также дифференциация интегументов наблюдается в сентябре. В октябре начинается мегаспорогенез и развитие женского гаметофита от материнской клетки зародышевого мешка до 2—4-ядерной стадии. В декабре развитие женского гаметофита заканчивается восемнадцатирным зародышевым мешком (рис. 1).

Трехкамерная завязь подснежника каспийского содержит по два ряда семяпочек в каждой камере. В ряду насчитывается по 12 семяпочек, а всего в завязи имеется около 70 семяпочек. Зрелая семяпочка подснежника каспийского анатропная, двупокровная, красинуцеллятина, с хорошо развитым длинным фуникулусом. Характерными морфологическими особенностями семяпочки подснежника каспийского является узкий продолговатый нуцеллус.

Внутренний интегумент тонкий, двухслойный, в верхней части образующий микропиле, многослойный. Наружный интегумент более мощный, из 3—4 слоев клетки, но и со стороны фуникулуса он очень тонкий. Края интегументов находятся почти на одном уровне. Однако микропиле строится только внутренним интегументом. Единственная субэпидермальная клетка женского археспория закладывается еще в прямом

бугорке семяпочки, одновременно с заложением валика внутреннего цинтегумента, приблизительно в середине сентября.

Археспориальная клетка отделяет париэтальную и становится материнской клеткой макроспор. В результате двухкратного деления археспориальной клетки образуется террака макроспор.

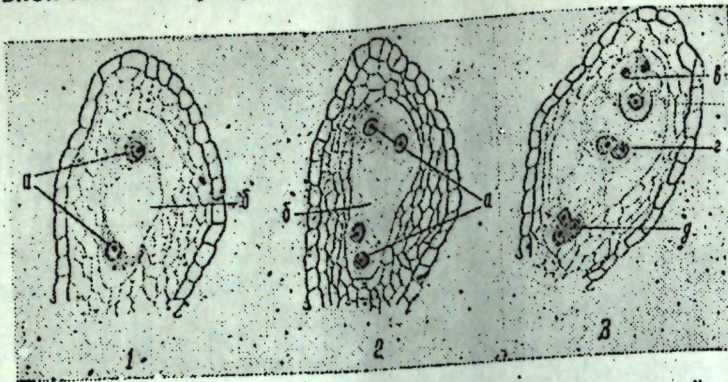


Рис. 1. Развитие женского гаметофита подснежника каспийского: 1, 2, 3—2, 4-и 8-ядерные зародышевые мешки; а—дочерние ядра; б—зародышевый мешок; в—синергиды; г—полярные ядра; д—антиподы.

Женский гаметофит подснежника каспийского развивается по типу *Polygonum*; из халазальной клетки тетрады. Зрелый зародышевый мешок содержит яйцевой аппарат, два полярных ядра, скоро сливающихся в крупное центральное ядро и трех очень крупных, долго сохраняющихся антипод. Яйцевой аппарат состоит из округлой яйцеклетки с большой вакуолю и двух синергид, характеризующихся широким основанием, отсутствием вакуоли, апикальным расположением ядра, наличием неясно выраженного нитчатого аппарата. На вершине синергиды имеется небольшая почти прозрачная округлая зона, выделяющаяся на фоне темноокрашенной синергиды.

Для изучения темпов и особенностей развития эндосперма и зародыши цветки подснежника каспийского кастрировались и искусственно опылялись смесью пыльцы растений того же вида с последующей темпоральной фиксацией завязи. Кроме того, фиксировались завязи свободно опыляющихся цветков в первый день цветения.

Нам удалось наблюдать многочисленные картины двойного оплодотворения у подснежника каспийского. Пыльцевая трубка проникает в зародышевый мешок через одну из синергид и спермии, быстро проскальзывают в пространство между яйцеклеткой и центральным ядром. После прохождения пыльцевой трубки, ядро синергиды вплотную прижимается к оболочке верхней части синергиды. Менее чем через 4 ч после опыления один из спермии объединяется с крупным центральным ядром. Второй спермий в это время наблюдается вблизи от яйцеклетки. Затем он проникает через оболочку яйцеклетки, прикладывается к ее ядру, сливается с ним, деспирализуется и выделяет ядрышко. Слияние второго спермия с яйцеклеткой — более длительный процесс, чем тройное слияние, в связи с чем и наблюдается значительно чаще чем последнее (рис. 2).

В процессе оплодотворения форма спермии подснежника каспийского подвергается изменению: в пыльцевой трубке спермии овальные,

в момент прохождения в зародышевый мешок — каплевидные, а в зародышевом мешке становятся червеобразными.

Оплодотворенное центральное ядро зародышевого мешка начинает делиться после слияния со спермии. Зигота готовится к делению долго и активно, о чем можно судить по изменению характера ее вакуолизации, когда единственная крупная вакуоль разбивается на множество мелких.

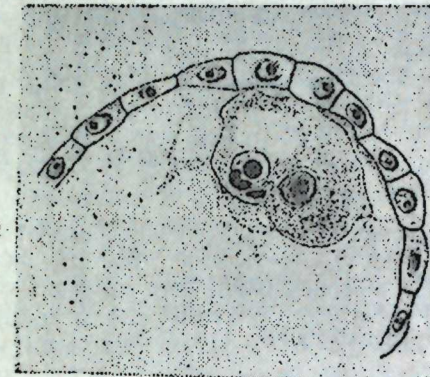


Рис. 2. Оплодотворение яйцеклетки подснежника каспийского. Червеобразный спермий контактирует с ядром яйцеклетки.

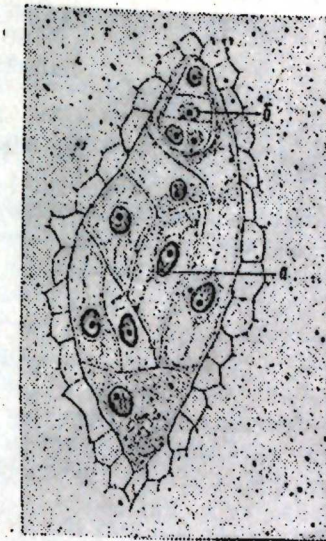


Рис. 3. Развитие зародыша и эндосперма у подснежника каспийского. Зародыш (б), свободные ядра эндосперма (а) в полости зародышевого мешка.

Эндосперм подснежника каспийского — ядерного типа.

В момент слияния спермия с центральным ядром наблюдается почкование, дробление ядрышка центрального ядра, которое вначале бывает очень крупным, а затем отделяет от себя множество крупных телец. Ядерный эндосперм располагается тонким слоем по стенкам зародышевого мешка, и на первых этапах развития деление его ядер происходит синхронно (рис. 3).

Для поздних стадий развития ядерного эндосперма характерны амитозы. Образование клеточного эндосперма начинается сперва в халазальном конце зародышевого мешка через 15 дней после оплодотворения с первым делением зиготы.

Первое деление зиготы наблюдается лишь на 16-й день после оплодотворения. Первая клеточная перегородка закладывается в поперечном направлении, немного наклонясь. Деление клеток проэмбрио следует одно за другим: базальная клетка двухклеточного проэмбрио дает начало короткому подвеску из 3—4 клеток, а апикальная делится в антиклинальном и периклинальном направлениях, формируя многоклеточное тело шаровидного зародыша.

Данные исследования подснежника каспийского позволяют сделать заключение о том, что этот эндем переднеазиатской флоры характеризуется в основном примитивными эмбриологическими признаками:

анатропными, двупокровными, краснушечеллятными семяпочками, моноспорическими восьмиядерными зародышевыми мешками, ядерным эндоспермом. Это свидетельствует о древнем происхождении подснежника каспийского и дает возможность предположить, что высокая специализация его жизненной формы (травянистый, луковичный многолетник) и развитие вегетативного способа размножения в какой-то степени ограничили совершенствование репродуктивного аппарата этого вида, который и сохранил примитивные черты древнего уровня.

Литература

- Артюшенко З. Т. «Бот. журн.», 10, 1966. 2. Кемулярия-Натэлзе Л. М. К изучению кавказских представителей рода *Galanthus*. Труды Тбилисской ботанической станции, 11, 1947. 3. La Cour J. Cytology department Darlington report Galanthus and Leucojum. Rec. John. Innes Hort. Inst., 36, 19, 1946. 4. Stenarr K. Embryological Studies. II. Die Embryologie der Amaryllidaceen. Akad. Abh. Upsala, 1925.

Институт ботаники

Поступило 6. VI. 1980

Н. А. Гусейнова

КИЧИК ГАФГАЗДА ІАЫЛМЫШ ЕНДЕМ НӨВ САЙЛАН НОВРУЗКУЛУ БИТКИСИНИН ДИШИ ГАМЕТОФИТИНИН ИНКИШАФЫ

Мәгәләдә Кичик Гафгазда яылмыш енdem нөв саýлан новрузкүллү биткисиң үзәринде анарылмыш тәдгигатдан (*Galanthus caspius*; (Rupr.) A. Grossh.) бәйс едилир. Мүэйжән олуимушшур ки, новрузкүлү биткисинин јумурталымы ијүн айынын әвзәләриңде амәлә кәлир вә, мигдары тәгрібиң 70-ә чатыр. Јумурталыг анатроп, краснушечеллят вә ики өртүкүлдүр. Диши археспоријасы бирлүчөрәли вә субепидермалдыр. Өртүчү үүчејрасы жохур.

Диши гаметофитинин инкишәфи *Polygonum typoides*; рүзиејм кисәси сәккиз үүчејрасы едилир. Синергидләр гејри-ади гурулушту олуб мигдары иккидир. Антиподларын саýынчы үчдүр. Тезликла декенерасија утрајыр.

Тозлама вә мајалама нормал кедир, ендосперм нүвө типидир. Эзготашын биринчи болуимәси мајаламаын 16-чы күнүнә тәсадүф еди.

N. A. Guseinova

THE RESEARCH OF WOMEN'S GAMETOPHYTE OF THE CAUCASIAN SNOWDROP IN CONNECTION WITH THE RELICTIVITY'S DEGREE PROBLEM

As a result of the research, the seed-bud's laying period, the women archesporium in the seed-buds, the differentiation of the integument, megasporogenesis, the maternal cell of the embryonic bag, as well as the peculiarities of the embryonic bag formation and the seed-bud's morphology were established.

АЗЭРБАЙЧАН ССР ЕЛМЛӘР АКАДЕМИЯСЫНЫН МӘРҮЗӘЛӘРИ

ДОКЛАДЫ АКАДЕМИИ НАУК АЗЕРБАЙДЖАНСКОЙ ССР

ТОМ XXXVII ЧИЛД

№ 7

1981

ИСТОРИЯ

Э. Б. ШУКЮР-ЗАДЕ

ГЕНЕАЛОГИЧЕСКАЯ ТАБЛИЦА ҚАРАБАХСКИХ ХАНОВ

(Представлено академиком АН Азербайджанской ССР З. М. Буниятовым)

Карабахское ханство возникло и окрепло в борьбе с иранским владычеством. Основателем ханства был Панах-Али хан, происходивший из старинной феодальной знати племени Джаваншир (из оймака Сарыджакалы). Объединенные азербайджанские племена Джаваншир, Кебирли, Отузики, Коланы, Бахманлы и др. «являлись коренными платами карабахского вилайета»¹. Племя Отузики при Сефевидах составляли ольке, а главы племени Джаваншир одновременно были наследственными правителями этих объединенных племен². Племя Джаваншир не принадлежало к кызылбашским или афшарским ветвям. Оно является ответвлением племени Бахманлы³. Родоначальники племени Джаваншир усердно служили своим покровителям-сефевидам, а их наследники: Ибрахим-Халил ага I, сын его Панах-Али-хан I и внук Ибрахим-Халил-ага II продолжали традиции своих предшественников⁴. Панах-Али-хан II был сыном Ибрахим-Халил-Аги II.

Племена Отузики, Джаваншир и др. при Надир-шахе (1736—1747) были насильственно переселены в Сарахе (Хорасан), после гибели шаха значительная часть племен вернулась в Карабах. Сам Панах-Али-хан II со своим братом Бехбут-Али-беком в молодости служил у Надир-шаха, но «боясь подвергнуться участии своего брата (Бехбут-Али), казенного шахом»⁵, со своими сородичами бежал из лагеря Надир-шаха в Карабах⁶. Это было в 1738 г.

Преследуемый Надир-шахом Панах-Али хан II некоторое время находился на яйлаге зангезурского феодала Кара Муртуз-бека, где, собрав отряд своих приверженцев, совершил набеги на Гянджу, Нахичевань, Шеки и другие районы.

В этом его поддерживало Джарское вольное общество, с одним из членов которого он был в родстве. Вскоре, встав во главе племени Отузики, он вместе с Эмиром двадцати тысяч⁷ дворов Джаваншира, возглавил повстанческие отряды, боровшиеся против иранского владычества.

Однако для защиты от нападений иранских и враждебных ему местных феодалов, молодому хану необходимо было построить крепость. В 1748 г. в кобирлинском махале возникла первая резиденция Панах-хана — крепость Боят. Сооружение крепости Боят и растущее могущество карабахского ханства прежде всего беспокоили правителей Шеки, Ширвана и некоторых армянских феодальных меликов. Они договорились совместно выступить против Панах-хана.

Шекинский Хаджи Челеби решил действовать более энергично: со своими союзниками осадил Боят и в течение месяца неоднократно штурмовал эту крепость. Однако родственники Панах-хана и поданные ко-

чевники «от мала до велика в большом числе прибыли к нему на выручку»⁸.

Потерпев поражение, Хаджи Челеби вынужден был отступить за Куру.

Однако крепость Боят оказалась слабозащищенной. «Панах-хан перенес свою резиденцию в урочище Шахбулаг, расположенное у подножья Хачинского холма. Но и это место оказалось в климатическом и военно-стратегическом отношении невыгодным. Представители карабахской знати, созванные на совет, говорили хану: «...наше государство имеет немало заядлых врагов, было бы благоразумно найти более укрепленное и неприступное место»⁹. В 1751 г. закладывается новая крепость — Панах-абад, окруженная скалой и высокими стенами. Новая резиденция быстро выросла в экономический центр Карабахского ханства и стала одним из крупных торговых и ремесленных городов Азербайджана. На развалинах древнего города Шуши, разрушенного монголами, возникла новая Шуша.

В 1757 г. Мухаммед Хасан-хан Каджар двинулся на покорение Карабаха и остановился в местечке Хатын-архи. Отважные жители Карабаха нанесли большой урон войскам противника.

Когда в Иране и Азербайджане обострилась междуусобная борьба среди преемников Надир-шаха, Панах-хан решил использовать эту обстановку. Он завладел Мигринским и Гюнейским махале до Баргушата, отнял у правителя Нахичевана махале Татев и Сисиан, захватил местность вдоль р. Тертер до берегов оз. Гёкча, земли от моста Худаферина до р. Кюракчай.

Правитель Урмии Фатали-хан, завладев Южным Азербайджаном, направил своих посланников к Панах-хану и призвал его к повиновению, однако Панах-хан счел это для себя позором и унижением и возвратил его посланников с грубым ответом.

В 1760 г. Фатали-хан Афшар двинулся против Шуши и недалеко от крепости разбил свой лагерь. Осада продолжалась шесть месяцев, но он ничего не мог сделать и, потерпев поражение, пошел на хитрость. Под предлогом обмена пленными и выдачи своей дочери замуж за сына Панах-хана Ибрагима-ага, он пригласил последнего к себе в гости и, объявив Панах-хана своим вассалом, ушел с вымененными аманатами в свои владения.

В деятельности Панах-хана было стремление к объединению разобщенных земель. Он отличался храбростью, предпримчивостью, был одарен, хотя и не имел образования¹⁰. Он никому не служил и шею в ярмо повиновения никому не вкладывал¹¹. Панах-хан умер в Ширазе в 1761 г., был похоронен в местечке Имарет, вблизи города Агдама.

Примечания

- 1 Мирза Адигезал-бек. Карабаг-наме, стр. 56. Баку, 1950.
- 2 Искендер Муниши. Тарих-и алам-арай-и аббаси, стр. 1056. Тегеран, 1314 г. х.
- 3 Мирза Джамал. История Карабаха, стр. 66. Баку, 1959.
- 4 Рзакули-хан Хидайят. Розат-са-Сафа, т. 9, стр. 121. Тегеран, 1271 г. х.
- 5 Ахмед-бек Джаваишир. О политическом существовании Карабахского ханства. (1747—1805), стр. 69. Комментарий и перевод Э. Б. Шукюр-заде. Баку, 1961.
- 6 Мирза Джамал. Ук. соч., стр. 66.
- 7 Рзакули-хан Хидайят. Ук. соч., стр. 29.
- 8 Ахмед-бек Джаваишир. Ук. соч., стр. 70.
- 9 Мирза Адигезал-бек. Ук. соч., стр. 62.
- 10 Бакиханов Гюлистан-ирам, стр. 131. Баку, 1926.
- 11 Тарих-и Гити-Гушай, стр. 115. Цит. по И. П. Петрушевскому. Очерки..., стр. 137.

¹² В генеалогических таблицах ст. Лэн-Пуля, К. Э. Босворта Карабахское ханство отсутствует. Только Э. Цамбуар по нумизматическим данным, ссылаясь на каталог Маркова (стр. 775—786), упоминает Ибрахим-Халила в 1211 г. х., а о Мехди-Кули никаких сведений не дает. Родословная таблица Карабахского ханства, опубликованная в Актах кавказской археографической комиссии (АКАК), содержит множество грубых ошибок как фактического, так и хронологического порядка. В таблицу вошли наследники Панах-хана только по мужской линии.

Институт истории

Поступило 22. XII 1980

Э. Б. Шукурзадэ

ГАРАБАФ ХАНЛЫГЫНЫН ШӘЧӘРЭ ЧӘДВӘЛИ

XVIII əsrini ortalarында јарааны Гарабаф ханлығы онун илк баниси олан Пәнаң Эли ханыны ады ила бағылдырып. Сарычады ојмагына мәңсүб олан Чавашшир тајфасы. «Қабирли, Коланы, Бәймәнли, Отуз икى кимми голлардан ибарат олуб, Чавашшир тајфа башчысынын этрағында бирләшмишиләр. Надирин олумундән соңра Бојат вә Шахбулаг галалары олверништі олмадығындаи, Пәнаң хан 1751-чи илде монголлар төрәғинде дагидылан гадим Шушанын јеринде јени шәһәр салды. Соңра о ханлығынын әразисини хөјли кепишләндирди вә Иран тәрәфдән Гарабаға бағын едәиләрни һүчумуу дәфетди.

Шәчәрә чәдвәлиниэ Пәнаң ханыны аңчаг киши иөсли дахна олмушудур.

E. B. Shukut-zade

GENEALOGICAL TABLE OF GARABAH KHANS

The table was drawn up on the base of archive documents and writing sources. This table is the result of twenty years work and embraces the period from the formation of Garabah khanate, the founder of which was Panish-Ali-khan (1747), till liquidation of Garabah khanate in 1822.

ГЮЛЬСУМ АЛИЕВА

ХАРАБА-ГИЛЯНСКИЕ ВЫШИВКИ

(Представлено академиком АН Азербайджанской ССР М. А. Усейновым)

Недавно на территории Нахичеванской АССР, в местности Хараба-Гилян обнаружен средневековый склеп, где находилось несколько гробов с погребенными, часть из них были в саванах, другая — в одежде. Вероятно, трупы в саванах были погребены ранее. Трупы в одеждах принадлежали женщинам и детям. Одежды изготовлены из льна, хлопчатобумажного и частично шелкового волокна, все ткани вытканы полотняным переплетением.

Почти что все белье растрепано, разодрано, но имеется и целое. Например, трое шаровар, платок и детские брюки. Покрой здешних юбок по форме очень интересный, особенно «балаглы» (юбка-брюки). Указанный фасон в средние века на Востоке, в том числе в Азербайджане, был самым модным среди горожан. Об этом даже средневековый европейский путешественник А. Олеарий сообщает: «обычная одежда городских женщин была гораздо легче мужской одежды — штаны и рубахи они одевали по образцу мужчин... также из хлопчатобумажной материи¹». Эту мысль подтверждает в своей книге и А. Ю. Казисев². Он пишет: «Женские костюмы по покрою почти одинаковы с мужскими — два длинных платья: верхнее и нижнее... штаны из тонкого материала, длинные до пят». Далее он указывает: «На одеждах и бумажных платках видны оригинальные вышивки цветными нитями». Нужно отметить, что у брюк-шаровар нижняя часть вышита разноцветными черными, красными, желтыми, синими и другими шелковыми, а также золотыми, серебряными и частично хлопчатобумажными нитями.

В склепе пока имеется пять вышитых женских и детских шаровар, покрой их снизу суженный и широкий. При внимательном обозрении этих вещей мы можем заключить по материалу, фасону и шитью, что это трупы несостоятельной семьи. К тому же, одежды двух женщин совершенно одного размера и покроя сшиты из одной и той же ткани, а также вышиты по одному образцу и технике. Это свидетельствует о том, что у главы семьи было две жены.

По материалу и орнаменту можно причислить их к местным изделиям, так как из исторических данных известно, что Нахичевань³ и

¹ А. Олеарий. Подробное описание Гольштинского посольства в Московию и Персию в 1633, 1636, 1639 гг. перевод с немецк. П. Барсов, М., 1870.

² А. Ю. Казисев. Миниатюра рукописи «Хамсе» Низами (1539—1543). Баку, 1964.

³ Э. Челеби. «Сияхет-Наме». Стамбул, 1314 г. Олеарий Х. А. Подробное описание путешествия Гольштинского посольства в Московию и Персию в 1633, 1636, 1639 гг. перевод с немецк. П. Барсова. М., 1870.

Ордубад⁴ издавна славились своим хлопком и шелком-сырцом, а жители Джульфы⁵ занимались ткачеством. Употребляемые здесь цветные нити тоже не случайное явление. Ведь Азербайджан богат растениями-красителями. Известно, что до конца XIX в. народное производство базировалось исключительно на местном сырье, обработанном и окрашенном домашним способом.

Художественное решение тканей выполнено тремя видами вышивки — гладью, счетным крестом и золотошвейными нитями. Рисунки композиций и расцветки узоров очень разнообразны, но орнаменты строго геометричны, чего требует сама техника. Композиция ткани из геометризованных растительных и геометрических элементов (ромб, шестиконечная звезда и самый популярный у тюркязычных народов древний мотив «гоша буйнуз» — парные рога) выполнена при точном счете, который ведется на определенном расстоянии друг от друга. Тем же спо-

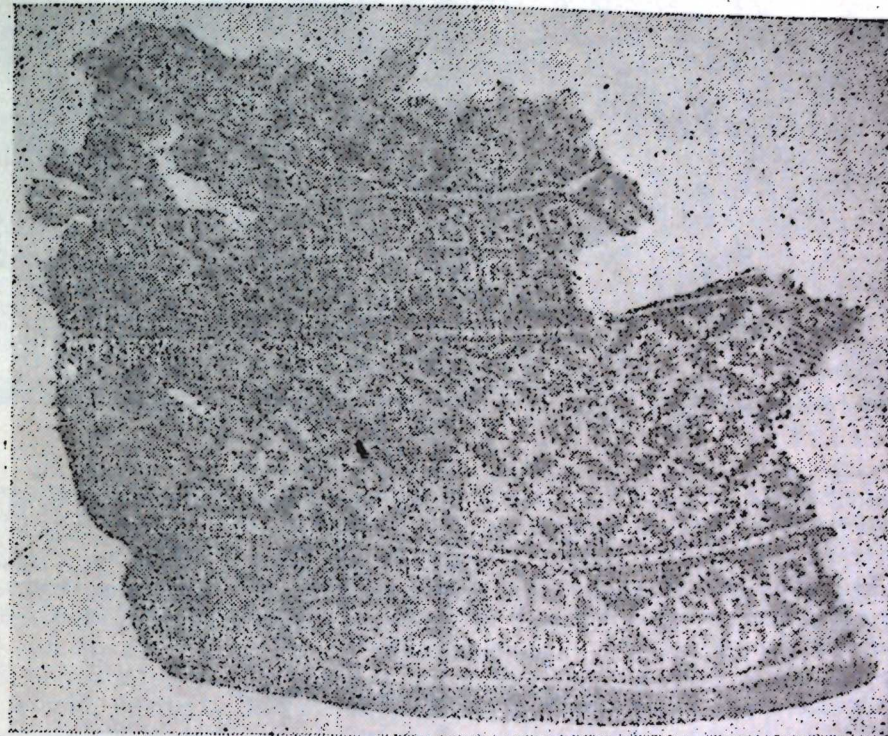


Рис. 1.

собом выполнена другая женская одежда — вышивка двухцветными (красными и синими) нитями (рис. 1), отличающаяся от первых своим изящным, сильно геометризованным, мелким растительным стрелковидным мотивом, который сплошь густым узором покрыл всю ткань. Хара-ба-Гилянская вышивальница сумела найти характер узора и прием выполнения композиции орнамента и его размещение на нижней части изделий «балаг» и образовать здесь широкий окаймляющий бордюр,

⁴ Очерки истории СССР. Период феодализма. История Азербайджана, т. 1, стр. 243—245, Баку, 1958.

⁵ Джульфа, Джулаха — произошло от слова ткач.

который состоит из нескольких полос с мелким орнаментом ромбовидной формы. Преимущество этого приема вышивки — в ритмичности композиции и равновесии крупных и мелких элементов.

Хараба-Гилянские ткани (одежда) выполнялись и другими приемами вышивки, например, гладью (рис. 2). Ориентация двух таких изделий состоит исключительно из растительных мотивов — стилизованных



Рис. 2

цветков. Горизонтально решенный десятилепестковый цветок образовался по масштабу и ширине полосы — каймы. По обеим сторонам основного мотива идет легкий, пластический орнамент, обычно в виде вьющегося стебля. Композиция построена главным образом из шестигранных геометрических фигур. В колорите обращают на себя внимание сочетания цветов: красный с желтым, синий с черным. Одни из них — красный доминирует по значению и по количеству его в композиции.

Ориентальные композиции Хараба-Гилянской вышивки просты и строги в построении, лаконичны в выборе элементов, что особенно сказывается в вышивках, сделанных двумя (черным, синим) цветами по белой (чуть желтоватой) домотканой материи — кятаи. Это изделие, вероятно, предназначено для чалмы. Кисти, изображенные на ткани каймы, а также применение здесь сравнительно мелких звездообразных элементов орнамента подтверждают нашу мысль.

Кроме вышитых изделий также имеется шелковая полосатая рубашка. Ткань изделия очень легкая и точная. На поверхности виден рельефный рубчик, что характерно для ткани галюми⁶. Художественный облик ткани составляет сочетание двух цветов — голубого и черного, которые состоят из разных по ширине полос на белом фоне. Полосатые ткани изображены на некоторых ранних образцах поливной керамики Азер-

⁶ У тюркоязычных народов ныне паплии, полотняные переплетения.

байджана XII—XIII вв.⁷. Аналогию можно видеть во фрагменте чаши, найденной в Хараба-Гиляне, которую датируют XV в.⁸.

В заключение можно сказать, что характер узора Хараба-Гилянской вышивки полностью соответствует приему края и шва.

Особый художественно-технический прием представляет счетные вышивки — «сайма», шов которых напоминает русскую вышивку крестиком, при выполнении которой вышивка покрывает сплошь всю поверхность ткани.

Вышивка «сайма»⁹ и сейчас применяется в Ордубадском районе¹⁰, Шуше¹¹ и особенно в Ленкорани, Астаре, Лерике¹².

Элементы узора, исполненные растительным и цветковым орнаментом, имеют обрядный и магический смысл (рога, звезды, ромбы, красный и черный цвета...) и свидетельствуют об устойчивости традиций народного художественного творчества.

В результате можно сказать, что Хараба-Гилянское погребение, судя по тканям, технике вышивки, мотиву и стилю характера композиции и даже края одежды относится, по-видимому, к XV—XVI вв.

Обнаруженные в склепе Хараба-Гилян материалы представляют большой научный интерес не только для искусствоведов, но и для историков, в связи с чем необходимо продолжить начатую нами работу.

Экспозиция Музея истории Азербайджана АН Азербайджанской ССР могла бы пополниться бесценными вышивками азербайджанских мастеров XV—XVI вв.

Институт архитектуры и
искусства

Поступило 24. III 1980.

К. Элиева

ХАРАБА-КИЛАН СЭРДАБЭСИ ВЭ ОНУН ТИКМЭЛЭРИ

Јәхин вахтларда Нахчыван МССР-ин эразисинде Ордубада яхны Хараба-Киланды тэсадүфэн бир сэрдаба ашкар олунмушдур. Бурада нейтра сабәб, тахта гутуларда дәфи олунан өлүләрин орта эср Азәрбајҹан халг кејим бицимнида вә мұхтәлиф рәнкәдә ишәк сапларла ичра олунмуш нахышының кејимләриди. Нахыш үңсүрләrinin характеристика, тикмә вә с. бәдии үңсүсүйәтләrinin эасаланараг Хараба-Килан сэрдабәсендәки нахышыны палтартлары XV—XVI әсрләр Азәрбајҹан халг сәнгатиниң орижинал нүмүнәләри кими гүмәтләндирмәк олар.

Gulsum Aliyeva

EMBROIDERIES OF KHARABA-GILAN

Recently in Kharaba-Gilan (the region of Nakchivan ASSR) a vault, in which corpses were dressed in embroidered clothes, was found accidentally.

In the article the author examines the origin of these clothes and attributes them to the XV—XVI cent. according to their cut, ornaments and quality. The author also determines that the origin of the clothes is of local production.

⁷ Н. Наджафова. Художественная керамика Азербайджана, XII—XV вв. Баку, 1964, рис. 55, 57, 118.

⁸ Центр науки Нахичеванской АССР.

⁹ Узбеки называют «ироки» и «тирма».

¹⁰ В сел. Сумбатан Дизе и сейчас можно встретить такие вышивки и орнаменты.

¹¹ Еще в XIX в. известная поэтесса Х. Б. Наталия вышивала по этой технике пейзажи. Вышивальный альбом находится в «Рукописном фонде» АН Азерб. ССР.

¹² В этих краях называют «хан-дуз».

МУНДЭРИЧАТ

Ријазијат

Ф. Г. Максудов, М. Бајрамоглу. Шредникер оператор тензијинин
Грина функцијасы
М. А. Велиев. Ыкінчи тәртиб дәйшеш әмсалы хәтті тәнликлөр үчүн
Бубнов-Галёркин үсүлунун дајаңылғысы
А. А. Нерсесян. 4(г) фәзасының метрикасында С. Н. Мергелjan вә
В. К. Дзядық типпил барабәрсизлик

Астрофизика

З. Ф. Сейдов. Умумиләшдирилмиш Рош модели
Ж. М. Сеидов, Н. Г. Үүсөйнов, Р. Э. Мәммәдов. Бирохлу зәнф
ферромагнитләрдә ашгар зонасының бирчисели резонанса тәсіри

Жарымкечиричиләр физикасы

Н. Б. Абдуллаев, Ч. М. Чуварлы, Б. Н. Тагиев, П. В. Леонов,
И. А. Қосынов, К. М. Ниғтиев, Б. А. Үүсөйнов. Дәйшән електрик
саһәснәдә CaSe монокристалында һәчми јүклөрни яраимасы
И. Ш. Векилов, Р. Р. Үүсөйнов. Анизотропик назик тәбәгәләрдә јер-
ләрни кулон гарышылышты тәсіри

Техники кибернетика

Ж. Б. Гәдимов, А. И. Мәммәдов, Б. А. Эскәрзадә, Р. М. Элиев.
Макистрал нефт мәңсуллары кәмәрнәдә нефт мәңсулларының ардычыл вурул-
масы заманы баш верән кечид процессләренниң әдәи һесблама үсүл

Техники механика

Ш. Т. Бабаев, Н. Н. Долгополов, И. М. Юсуфов, Г. К. Михайлов,
А. А. Старков. Бетонун қеңижиётинә пәзарәтдә диэлектрик өлчәмләрдән
истифадә едилмәси һагында

Физики кимја

Ф. М. Мустафаев, А. С. Аббасов, И. Я. Элиев. Cu₂Se—Ag₂Se
системинин термодинамик тәдгиги

Жарымкечиричиләр кимјасы

В. Н. Гулијева, Б. Ч. Абдуллаев, Н. М. Аракелова. Мономер
мүнитинде литиумполизопрен зәницирләрнин бөймә механизми вә процессин
кинетик модели

Үзви кимја

С. И. Садыхзадә, Р. М. Мустафаев, Л. Г. Гулијева. Тәрки-
бинде һидрокспил группу сахлајан Si—H рабитәли силициум үзви дисиләр

Киолокија

Ч. Ч. Мазанов. Бејүк Гафгазын чәнуб жамачларының металлокеник хәри-
тасыннан тәртиб едилмәси методикасы вә бу саңәдә јени филиз формасијаларының
тапылмасының перспективләре

Кеоморфологија

Г. А. Қәримов. Гобустан оразисинде морфоструктор типләринин яյылма
гаунаујгулуглары вә онларын сыйхылы

Мелиорасија

Ә. К. Гулиев. Наҳчыван мулдасында торпагларын дузлулуг дәрәчесинин
вә грунт суларының минераллашмасы дәрәчесинин дәйшәмәси һагында

Физиология

Р. М. Мәһмудов. Нафталанын вә тәркибинде нафтала олан препарат-
ларның ганим морфологи тәркибинә харичдән истифадә стәсә ѡола тә'сир

Ботаника

М. Э. Гасымов. Ади соған габығы—ALLIUM SEPAL jyn вә ишк сап-
ларын бојанмасы үчүн гијметли хаммалдыр
Н. А. Үүсөйнова. Кичик Гафгазда яйылыш сәндем иев сајланноврүз-
күлү биткисинин диши гаметофитинин инкишафы

Тарих

Ә. Б. Шүкүрзадә. Гарабаг ханлыгының Шәчәрә чәдвәли

Ичәсәнәт

Күлсүм Элијева. Хараба килен сәрдабәси вә опун тикмәләри

СОДЕРЖАНИЕ

Математика

Ф. Г. Максудов, М. Байрамоглы. Функция Грина операторного
уравнения Шредингера

М. А. Велиев. Устойчивость метода Бубнова—Галеркина для линейных
уравнений второго порядка с переменными коэффициентами

А. А. Нерсисян. Неравенства типа С. Н. Мергеляна и В. К. Дзядыка
в метрике

Астрофизика

З. Ф. Сейдов. Обобщенная модель Роша

Физика магнитных явлений

Ю. М. Сейдов, Н. Г. Гусейнов, Р. А. Мамедов. Влияние примесной
зоны на однородный резонанс в одноосных слабых ферромагнетиках

Физика полупроводников

Г. Б. Абдуллаев, Ч. М. Джуварлы, Б. Г. Тагиев, П. В. Леонов,
И. А. Гасанов, Г. М. Ниғтиев, Б. А. Гусейнов. Формирование объем-
ного заряда в монокристаллах GaSe в переменном электрическом поле

Н. Ш. Векилов, Р. Р. Гусейнов. Кулоновское взаимодействие зарядов
в анизотропной пленке

Техническая кибернетика

Я. Б. Кадымов, А. И. Мамедов, Б. А. Аскерзаде, Р. М. Алиев.
Численный метод расчета нестационарных процессов в магистральных продукто-
проводах при последовательной перекачке нефтепродуктов

Техническая механика

Ш. Т. Бабаев, Н. Н. Долгополов, И. М. Юсуфов, Г. К. Михайлов,
А. А. Старков. Об использовании диэлектрических измерений для конт-
роля качества бетона

Физическая химия

Ф. М. Мустафаев, А. С. Аббасов, И. Я. Алиев. Термодинамическое
исследование системы Cu₂Se—Ag₂Se

Химия полимеров

В. Г. Кулесова, Б. Д. Абдуллаев, Н. М. Аракелова. Механизм ро-
ста лигиполициропреновых цепей в среде мономера и кинетическая модель процесса

Органическая химия

С. И. Садыхзаде, Р. М. Мустафаев, Л. Г. Кулесова. Гидрохимико-держасие кремнийорганические дисны со связью Si—Н	51
Геология	
Д. Д. Мазанов. К вопросу о методике составления металлогенической карты южного склона Большого Кавказа и перспективах обнаружения в пределах восточного Кавказа новых рудных формаций	56
Геоморфология	
Г. А. Керимов. Закономерности пространственного размещения типов морфоструктур и их плотность на территории Кызылтана	61
Мелиорация	
А. Г. Кулесов. Динамика засоления почвогрунтов и минерализация групповых вод в условиях Нахичеванской мульды	65
Физиология	
Р. М. Махмудов. Использование нафталина и влияние нафталиноводержащих препаратов при их наружном применении на морфологический состав крови	69
Ботаника	
М. А. Касумов. Шелуха репчатого лука — <i>Allium sativum L.</i> — ценнейшее сырье для окрашивания шерстяной и шелковой пряжи	75
Н. А. Гусейнов. Исследование женского гаметофита подснежника каспийского в связи с вопросом о степени реликтовости	79
История	
Э. Б. Шукюрзаде. Генеалогическая таблица Карабахских ханов	83
Искусство	
Гюльсум Алиев. Хараба-гилянские вышивки	86

Сдано в набор 23/IV 1981 г. Подписано к печати 16/VII 1981 г. ФГ 32794.
Формат бумаги 70×100^{1/16}. Бумага типографская № 1. Гарнитура шрифта литерат.
Печать высокая. Печ. лист. 8,05-1 вкл. Уч.-изд. лист. 7,37. Тираж 655. Заказ 214.
Цена 40 коп.

Издательство «Эдм»

370143 Баку-143, проспект Нариманова, 31, Академгородок. Главное здание Типография „Красный Восток“ Государственного комитета Азербайджанской ССР по делам издательств, полиграфии и книжной торговли.
Баку, ул. Ази Асланова, 80.

9. Текст статьи печатается на белой бумаге через два интервала на одной странице по 58–60 знаков в строке). В тексте нельзя делать рукописные вставки и вклейки.

Статьи, напечатанные на портативной машинке, не принимаются.

10. Текст статьи должен быть изложен кратко, тщательно отредактирован и подписан авторами в печать. В математических статьях желательно избегать доказательств теорем, лемм и т. п. При использовании в тексте сокращенных названий (кроме общепринятых) необходимо давать их расшифровку.

11. Математические и химические формулы и символы в тексте должны быть вписаны четко. Следует избегать громоздких обозначений, применения, например, дробные показатели степени вместо радикалов, а также \exp . Занумерованные формулы обязательно выключаются в красную строку, номер формулы ставится у правого края страницы. Желательно нумеровать лишь те формулы, на которые имеются ссылки. Подстрочные и надстрочные индексы и степени следует отмечать карандашом, дугами сверху и снизу:

$$R^n, r_n$$

Греческие буквы нужно обводить (в кружок) красным карандашом. Буквы готического шрифта и рукописные в рукописях не использовать, векторные величины — подчеркивать черным, буквы латинского рукописного шрифта следует отметить на полях (например, Н рукоп.).

Во избежание ошибок следует четко обозначать прописные (заглавные) и строчные буквы латинского алфавита, имеющие сходное написание. (См. Ил. 8, 9).

ные буквы латинского алфавита, имеющие сходное начергание (Cc; Кк; Рр; Оо; Ss; Uu; Vv; и т. д.), буквы I(i) и J(j), букву I и римскую единицу I, а также араб. скую цифру I и римскую I, (вертикальная черта), 1 и штрих в индексах, I (латин- ское эль) и e. Прописные буквы подчёркивают карандашом двумя черточками снизу (С), а строчные — свеоху (с.).

Следует избегать знаков типа \sim (волна), \odot , \oplus , \otimes ; \square , \blacksquare , \diamond , \vee и \wedge (капышики) над и под буквами, а также знаков:

h **X** **E**, **ff**, **f**, **E**

Латинские названия вписываются на машинке.

Слова «теорема», «лемма», «следствие», «определение», «замечание» и т. п. следует подчеркивать штриховой чертой, а текст утверждений типа теорем—волнистой чертой (исключая математические символы).

При выборе единиц измерения рекомендуется придерживаться международной системы единиц СИ.

12. При описании методики исследования следует ограничиваться оригинальной частью. При элементном анализе приводить только усредненные данные.

13. Необходимо тщательно проверить написание местных географических названий.
14. Цитированная литература приводится общим списком на отдельной странице; ссылки в тексте даются порядковым номером в круглых скобках над строкой (например,). Список литературы оформляется следующим образом:

для книг: инициалы и фамилии авторов, полное название книги, место и год издания;

для журнальных статей: инициалы и фамилии авторов, название журнала, номер тома, номер выпуска, страница и год издания.

Ссылки на неопубликованные работы не допускаются.
15. Все статьи должны иметь рецензию на английском языке, кроме того статьи написанные на русском и азербайджанском языках должны иметь рецензию на азербайджанском и на русском соответственно.

Публикация статьи в «Докладах» не препятствует напечатанию расширенного ее варианта в другом периодическом издании.

40 гәп.
коң.

Индекс
76355

and the author's name is given as "John C. H. Smith".

Journal of the American Mathematical Society, Volume 12, Number 3, May 1999
ISSN 0894-0347 • S0894-0347(99)03920-1 • 0894-0347(99)03920-1
© 1999 American Mathematical Society • 0894-0347/99/030001-26\$15.00
AMS, 201 Charles Street, Providence, RI 02904-2294, USA
http://www.ams.org/jams

A VILLAGE IN THE HILLS

BRUNSWICK, GEORGIA, 1973-1974, 1975-1976, 1977-1978

2000-10000 m.s.m. - 10000-15000 m.s.m.

ESTADOS UNIDOS DE AMÉRICA

1. 1920-1921
BETTY GALT, MARY LOUISE, MARY ETHEL, MARY
ELLEN, BETH, BETTY, BETHANY, BETTY

TO CLOSING MESSAGES FROM LEADERSHIP TEAMISTS

**Индекс
76355**

1. दो वर्षों की उम्र से ही यह अपनी
2. जाति का लिंग निर्णय करने की चाही
3. आवश्यकता नहीं थी। इसका लिंग
4. निर्णय करने की चाही थी। इसका लिंग
5. निर्णय करने की चाही थी। इसका लिंग
6. निर्णय करने की चाही थी। इसका लिंग
7. निर्णय करने की चाही थी। इसका लिंग
8. निर्णय करने की चाही थी। इसका लिंग
9. निर्णय करने की चाही थी। इसका लिंग
10. निर्णय करने की चाही थी। इसका लिंग

BEING A HISTORY OF THE
PROTESTANT CHURCH IN
THE STATE OF NEW YORK

41.2%^a

и в гравированной форме, с теми же самыми
широкими листами, как и в первом
изображении, и с теми же самими
длинными, изогнутыми, изогнутыми
и изогнутыми листами, как и в первом

— 77 —

1. *Leucanthemum vulgare* L. (L.)

在這裏我們可以說，這就是我們所要找的那樣的一個問題。

1950年1月1日，蘇聯人民委員會頒布了《蘇聯社會主義農業合作化法》。

1936年1月25日，毛泽东在延安与美国记者斯诺的谈话中说：“中国革命的中心问题就是农民问题。过去，由于没有解决好这个问题，所以革命的领导权就落到了资产阶级手里。现在，由于解决了这个问题，所以领导权就落到了无产阶级手里。”